#### Masterarbeit

# DYNAMISCHE KONDITIONIERANLAGE FÜR REAL-DRIVING-SIMULATION AM PRÜFSTAND

ausgeführt am



Fachhochschul-Masterstudiengang Automatisierungstechnik-Wirtschaft

von

Ing. Oliver Probst, BSc.

1510322019

betreut und begutachtet von Ass.Prof. Dipl.-Ing. Dr.techn. Jörg Edler

Graz, im Oktober 2016

Unterschrift

# EHRENWÖRTLICHE ERKLÄRUNG

Ich erkläre ehrenwörtlich, dass ich die vorliegende Arbeit selbstständig und ohne fremde Hilfe verfasst, andere als die angegebenen Quellen nicht benützt und die benutzten Quellen wörtlich zitiert sowie inhaltlich entnommene Stellen als solche kenntlich gemacht habe.

Unterschrift

#### **DANKSAGUNG**

Ein großer Dank gilt der Firma **qpunkt GmbH**, welche mir die Möglichkeit gab, diese Masterarbeit zu realisieren und für die hervorragende Unterstützung bei der Bereitstellung und Finanzierung der nötigen Mittel zur realen Umsetzung des Prototyps.

Für die tatkräftige und kompetente Unterstützung bei der Erstellung und Umsetzung dieser Arbeit möchte ich mich des Weiteren bei folgenden Personen recht herzlich bedanken:

Bei meinem Betreuer seitens des Campus02, Herrn Ass. Prof. Dipl.-Ing. Dr. techn. Jörg EDLER, der mir mit Rat zur Seite stand und sehr schnell Zeit für konstruktive Feedbacks sowie Fachwissen aufgebracht hat und mich somit sehr rasch, Stück für Stück näher zur Fertigstellung dieser Arbeit begleitete.

Bei meinem Betreuer im Unternehmen, **Herrn Dr.-Ing. Christoph BAUMHAKL**, Leiter der Entwicklung, der es mir ermöglicht hat, meine Arbeit über dieses interessante Thema zu schreiben.

Ebenso gilt ein großes Dankeschön Herrn Dr. Gregor GREGORIC, Univ. Dipl.-Ing., Herrn Ing. SCHADLER, Herrn FESSEL, Herrn SCHELCH sowie dem gesamten Team des Prototypenbaus für die professionelle Unterstützung bei der praktischen Umsetzung der Konditionieranlage in den Bereichen Regelungstechnik, Konstruktion, Anlagenbau und Elektrotechnik.

Meiner Familie und vor allem meiner Freundin, Frau **Fabienne REITER, MA** möchte ich für die moralische Unterstützung bei der Umsetzung dieser Arbeit und für die Geduld besonders danken.

#### **KURZFASSUNG**

Durch immer strengere Regulierungen von Schadstoffemissionen, vor allem unter realen Betriebsbedingungen von Fahrzeugen, wird die Abbildung von realen Fahrzyklen auf verschiedensten Motorenund Fahrzeugprüfständen immer essentieller. Reale Fahrzyklen bedingen jedoch eine dynamische Anpassung der Parameter und Testgrößen. Dabei ist die Temperatur des Motors ein wesentlicher Parameter, welcher mit konventionellen, am Markt verfügbaren Anlagen, nicht dynamisch geregelt werden kann und somit keine realitätsnahen Bedingungen bereitet werden können.

Ziel der vorliegenden Arbeit war die Entwicklung eines Konditioniersystems, welches eine dynamische Regelung der Testtemperatur ermöglicht, wodurch realitätsnahe Betriebszustände geschaffen werden können. Dieses soll so ausgelegt sein, dass verschiedene Leistungsstufen skalierbar sind, ohne große Änderungen an der Konstruktion vornehmen zu müssen. Ein weiteres Ziel war es, durch einen Prototyp, wesentliche Parameter erfassen zu können, welche in weiterer Folge als Grundlage für ein Regelungsmodell herangezogen werden können.

Im ersten Schritt wurden die wichtigsten Grundlagen erarbeitet, gefolgt von der Entwicklung möglicher Konzepte. Nach der Definition von Bewertungskriterien wurde ein Konzept weiterverfolgt. Um einen Prototyp realisieren zu können, wurden mögliche Komponenten analysiert und berechnet, ein 3D Model konstruiert und anschließend gefertigt.

Das Ergebnis der Arbeit ist das Konzept einer dynamischen, kostengünstigen und skalierbaren Konditionieranlage, woraus in weiterer Folge ein Prototyp entstanden ist.

Dieser Prototyp dient den Regelungsexperten als reales Modell, um optimale Regelungsstrategien und eine Auto-Tune Funktion erproben zu können sowie als Basis für die Weiterentwicklung zur Kleinserie.

#### **ABSTRACT**

As regulations for exhaust emissions, especially in real operating conditions of vehicles, are currently getting ever stricter, the emulation of real driving- simulation on engine and vehicles test benches becomes more essential. Real driving cycles require a dynamic adjustment of parameters and test statistics. An essential parameter is the temperature of the engine coolant, which cannot be controlled dynamically by available systems on the market. Therefore, real conditions are not possible.

The aim of this master thesis was the development of such a conditioning system, which allows a dynamic control of the test temperature with the result of creating realistic operating states. This conditioning system should be able to scale different performance levels without major changes of the construction. Another aim was to record essential parameters by developing a prototype, which is subsequently used as a basis for a regulatory model.

The first step was to work out the technical principles. Then suitable concepts were developed. After defining the evaluation criteria, one concept was pursued. To build a prototype, possible components were analyzed and calculated. A 3D model was designed and manufactured.

The result of this study was the development of a dynamic, cost-efficient and scalable conditioning plant from which a prototype was developed.

This prototype serves as a real model for the controller specialists, to test optimal control strategies and an auto- tune function and creates a basis for further development of small series production.

# **INHALTSVERZEICHNIS**

1	Einleitur	ng	1
	1.1 Au	sgangssituation	1
	1.2 Au	fgabenstellung	1
	1.3 Zie	ıl	1
2	Grundla	gen	2
	2.1 All	gemeine Einführung zur Hydraulik	2
	2.1.1	Hydrostatik	2
	2.1.2	Hydrodynamik	3
	2.1.3	Druck verluste	5
	2.1.4	Strömungswiderstände	6
	2.1.4.	1 Gerade Rohrleitungen	6
	2.1.4.	2 Ventile und Drosseln	8
	2.1.4.	3 Knieelemente	8
	2.1.5	Druckerzeugung	9
	2.1.5.	1 Arten von Pumpen	9
	2.2 All	gemeine Einführung in die Wärmeübertragung	11
	2.2.1	Wärmeleitung	11
	2.2.2	Konvektion	12
	2.2.3	Wärmestrahlung	15
	2.3 Ap	parate zur Wärmeübertragung	16
	2.3.1	Gleichstromprinzip	17
	2.3.2	Gegenstrom	17
	2.3.3	Gleichstrom vs. Gegenstrom	18
	2.3.4	Bauarten von Wärmetauschern	19
	2.3.4.	1 Rohrbündelwärmetauscher	20
	2.3.4.	2 Doppelrohrwärmetauscher	20
	2.3.4.	3 Spiralwärmetauscher	21
	2.3.4.	4 Plattenwärmetauscher	21
	2.4 Re	gelungsstrategien für dynamische Regelung von Flüssigkeitskreisläufen	22
	2.4.1	Was bedeutet Regeln / Steuern	23
	2.4.2	Typisierung von Reglern	24
	2.4.2.	1 Unstetige Regler	25
	2.4.2.	2 Stetige Regler	26
	2.4.3	Regelparameter	27
	2.4.4	Arten von Temperaturregelung	29
3	Konzept	e für den Fluidkreislauf	31
	3.1 Ko	nzept 1	36
	3.2 Ko	nzept 2	37

# Inhaltsverzeichnis

	3.3	Konzept 3	.38
	3.3.1	Konzept 3.1	.39
	3.3.2	Konzept 3.1.1	.40
	3.3.3	Konzept 3.2	.41
	3.3.4	Konzept 3.3	.42
	3.4	Konzept 4	.43
	3.5	Konzept 5	.44
	3.6	Konzept 6	.45
	3.7	Konzept 6.1	.46
	3.8	Bewertung und Auswahl eines geeigneten Konzeptes	.47
	3.9	Detailliertes Konzept	.47
4	Kons	struktion eines Prototyps	.50
	4.1	Anforderungen	.50
	4.2	Komponenten und rechnerische Auslegung	.51
	4.2.1	Heizelemente	.52
	4.2.2	Leitungen	.53
	4.2.3	Verbindungselemente und Schmutzfänger	.55
	4.2.4	Wärmetauscher	.56
	4.2.5	Mischventile	.57
	4.2.6	Sensoren	.58
	4.2.7	Förderelemente	.60
	4.2.8	B Durchgangs ventil	.62
	4.2.9	Betriebsluftversorgung	.63
	4.3	Konstruktion des Prototyps	.64
	4.3.1	Bedienerfront blech	.65
	4.3.2	Heizelement	.66
	4.3.3	Ausgleichsbehälter	.67
	4.3.4	Messstellen	.69
	4.4	Steuerung und Hardware	.70
5	Reali	sierung Prototyp	.71
	5.1	Schaltschrank	.71
	5.2	Software	.72
	5.3	Realer Aufbau	.74
	5.4	Regelung	.75
	5.4.1	Sprungantwort	.75
	5.4.2	Ventilkennlinie	.77
	5.5	Praxisorientierte Verifizierung	.79
	5.5.1	Rampenfahrt	.79
	5.5.2	Sprünge	.81
	5.5.3	Ohne Zirkulationsleitung	.82
	5.5.4	-	

#### Inhaltsverzeichnis

6 Zu	sammenfassung und Ausblick	84			
6.1	Zusammenfassung der Ergebnisse	84			
6.2	Ausblick	85			
6.3	Persönliches Resümee	87			
	urverz eichnis				
Abbildu	ungs verzeichnis	91			
Tabelle	enverzeichnis	94			
Anhang	g 1: Datenblätter Glykosol	96			
Anhand	nhang 2: Systemkoponenten				

#### 1 EINLEITUNG

# 1.1 Ausgangssituation

Die vorliegende Arbeit wurde in Zusammenarbeit mit dem Unternehmen qpunkt GmbH umgesetzt. Das Unternehmen ist ein innovativer Engineering-Dienstleister mit Hauptsitz in Hart bei Graz. Das Portfolio reicht von der Vorentwicklung bis hin zur Serienbetreuung. Das Unternehmen ist auf Engineering, Simulation, Komponententests und den Prüfstandbau im Automotive-Bereich spezialisiert.

Durch immer strengere Regulierungen von Schadstoffemissionen, vor allem unter realen Betriebsbedingungen von Fahrzeugen, wird die Abbildung von realen Fahrzyklen auf verschiedensten Motorenund Fahrzeugprüfständen immer essentieller. Reale Fahrzyklen bedingen jedoch eine dynamische Anpassung der Parameter und Testgrößen. Dabei ist die Temperatur der Motorkühlung ein wesentlicher Parameter, welcher mit konventionellen, am Markt verfügbaren Anlagen, nur bedingt dynamisch geregelt werden kann und somit keine realitätsnahen Bedingungen bereitet werden können.

# 1.2 Aufgabenstellung

Im Zuge dieser Arbeit werden daher wesentliche Schritte zur Entwicklung einer dynamischen Konditionieranlage durchgeführt.

Untersuchungsinteresse ist die Entwicklung eines Konditioniersystems, welches eine dynamische Regelung der Testtemperatur ermöglicht, wodurch realitätsnahe Betriebszustände geschaffen werden können. Die Schritte in der Entwicklung, welche im Zuge dieser Arbeit erfolgen sind:

- Analyse der Anforderungen, Definition der Dynamikanforderungen anhand von realen Lastzyklen.
- Erarbeitung von Konzepten/Layouts für einen dynamischen Regelbetrieb in Abstimmung mit den Spezialisten für Regelungsentwicklung.
- Auswahl von möglichen Bauteilen und Konstruktion eines Prototyps.
- Inbetriebnahme und Test eines Prototyps inkl. Weiterentwicklung der Regelung.

#### 1.3 **Ziel**

Ziel der Arbeit ist die Erarbeitung eines Konzepts für den Aufbau einer dynamischen Konditionieranlage.

Dieses Konzept soll anhand eines Prototyps validiert werden. Ein weiteres Ziel ist es, wesentliche Parameter vom Prototyp zu erfassen, welche als Grundlage für ein Regelungsmodell herangezogen werden kann.

#### 2 GRUNDLAGEN

In folgendem Kapitel werden die wichtigsten Grundlagen, welche für die weitere Arbeit benötigt werden, erarbeitet. Hier werden grundlegende Hydraulikkenntnisse, welche zur Auslegung eines Fluidkreislaufes benötigt werden, erworben. Des Weiteren werden Grundlagen zur Wärmeübertragung sowie zur Regelungstechnik ausgearbeitet.

# 2.1 Allgemeine Einführung zur Hydraulik

Hydraulik vom griechischen "hydro" für Wasser und "aulus" für Rohr, ist die Lehre der Flüssigkeiten und befasst sich mit deren Energie- und Signalübertragung in Rohren und Kanälen. Diese wird in die Hydrostatik - die Energieübertragung durch ruhende Flüssigkeiten und in die Hydrodynamik - die Energieübertragung durch strömende Flüssigkeiten, eingeteilt.<sup>1</sup>

Die Hauptaufgabe einer Hydraulikflüssigkeit ist es, die hydraulische Energie zu übertragen. Weitere Funktionen sind beispielsweise der Wärmetransport in Kühl- oder Heizungsanlagen, der Korrosionsschutz sowie die Schmierung von Bauteilen. Die Viskosität oder auch Zähflüssigkeit einer Flüssigkeit ist ein wichtiges Maß für die innere Reibung von der die Dynamik und der Wirkungsgrad eines Systems abhängig sind. Die Viskosität nimmt mit zunehmender Temperatur ab vice versa nimmt die Viskosität mit zunehmendem Druck zu. Bei einem Temperaturanstieg kommt es ebenso zu einer Vergrößerung des Fluidvolumens. Bei einem Temperaturanstieg von 10 °K nimmt das Volumen um ca. 0,65 % zu, welches in einem geschlossenen System zu einer Druckerhöhung führt. Ebenso führt eine Druckerhöhung in einem geschlossenen System zu einer Reduktion des Fluidvolumens.<sup>2</sup>

Daraus resultierend muss in einem geschlossenen System ein Ausgleichsgefäß installiert sein, um ein Schwanken des Volumens durch Druck- und Temperaturunterschiede kompensieren zu können.

#### 2.1.1 Hydrostatik

Wirkt eine Kraft F normal auf eine Fläche A, so entsteht ein Druck p, welcher laut dem Gesetz von Pascal im gesamten System gleich ist.

		Größe	Einheit	Bezeichnung
$p = \frac{F}{I}$	Formel 2.1	p	Pa	Druck
P A	. 5	F	N	Kraft
		A	m <sup>2</sup>	Fläche

Wird die Schwerkraft in einem System berücksichtigt, so wird vom hydrostatischen Druck gesprochen, welcher von der Flüssigkeitshöhe und der Dichte der Flüssigkeit abhängt. Diese Berücksichtigung ist besonders wichtig, wenn in einem System sehr große Höhenunterschiede herrschen. <sup>3</sup>

\_

<sup>&</sup>lt;sup>1</sup> Vgl. HAWE Hydraulik SE (2016), Online-Quelle [29.08.2016].

<sup>&</sup>lt;sup>2</sup> Vgl. Schmid (2009), S.155.

<sup>&</sup>lt;sup>3</sup> Vgl. Will/Gebhardt (Hrsg.) (2008), S. 40.

	Größe	Einheit	Bezeichnung
Formel 2.2	ρ	kg/m³	Dichte
	g	m/s <sup>2</sup>	Erdbeschleunigung
	h	m	Höhe
	Formel 2.2	Formel 2.2 $\rho$	Formel 2.2 $\rho$ $kg/m^3$ $g$ $m/s^2$

# 2.1.2 Hydrodynamik

Bei einer strömenden Flüssigkeit geschieht immer ein Massentransport. Wird ein Querschnitt A einer Leitung in einem Zeitabschnitt dt durch die Masse dm durchströmt, so gilt Folgendes: <sup>4</sup>

	Größe	Einheit	Bezeichnung
	ṁ	kg/s	Massenstrom
Formel 2.3	m	kg	Masse
	V	$m^3$	Volumen
	t	S	Zeit
	Formel 2.3	$\dot{m}$ Formel 2.3 $m$	Formel 2.3 $\frac{\dot{m}}{m}$ kg/s $V$ m <sup>3</sup>

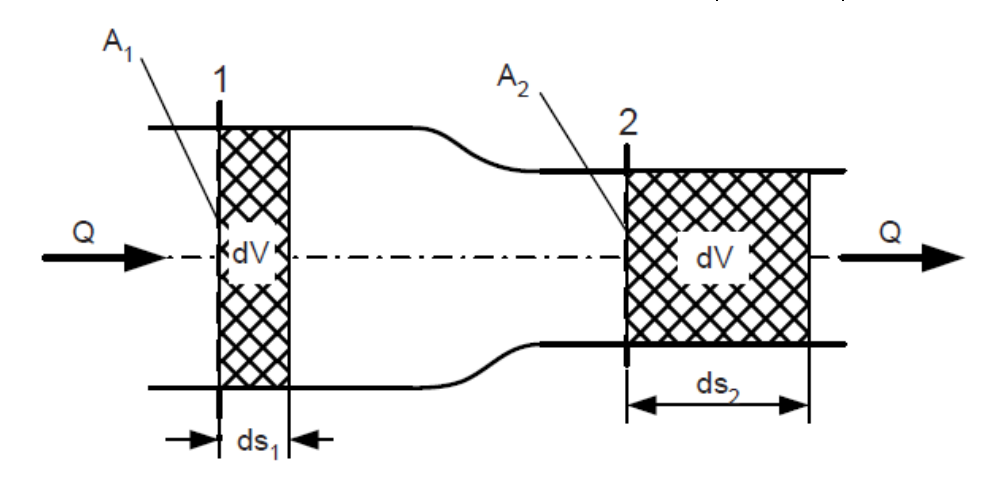


Abb. 1: Strömung durch eine Leitung mit veränderlichem Querschnitt, Quelle: Will/Gebhardt (Hrsg.) (2008), S. 44.

Wird angenommen, dass eine Hydraulikflüssigkeit annähernd ein inkompressibles Medium ist und sich somit die Dichte nicht verändert, so gilt: <sup>5</sup>

		Größe	Einheit	Bezeichnung
$\dot{V} = Q = \frac{\mathrm{d}V}{\mathrm{d}t} = \frac{A \cdot \Delta l}{\Delta t} = A \cdot v$	Formel 2.4	Ϋ́, Q	m³/s	Volumenstrom
$\mathrm{d}t$ $\Delta t$		1	m	Länge
		ν	m/s	Geschwindigkeit

<sup>&</sup>lt;sup>4</sup> Vgl. Will/Gebhardt (Hrsg.) (2008), S.44.

<sup>&</sup>lt;sup>5</sup> Vgl. Will/Gebhardt (Hrsg.) (2008), S.45.

Der Volumenstrom  $\dot{V}$  ergibt sich somit aus der Querschnittsfläche A und der Strömungsgeschwindigkeit v. Ebenso ist aus der Formel 2.4 abzuleiten, dass bei einer Verkleinerung des Querschnittes A die Strömungsgeschwindigkeit v steigt und umgekehrt.

Laut Bernoulli gilt, dass die Summe aus dem dynamischen (Staudruck) und statischen Druck konstant ist.6

$$\frac{1}{2}\,\rho\cdot v^2 + p + \rho\cdot g\cdot h = \text{konstant} \qquad \text{Formel 2.5} \qquad \frac{1}{2}\,\rho\cdot v^2 \qquad \text{Staudruck} \\ p + \rho\cdot g\cdot h \qquad \text{statischer Druck}$$

Hat ein Fluidkreislauf nur einen geringen Höhenunterschied, so kann der Schweredruck vernachlässigt werden. Für eine reibungsfreie Strömung, wie in Abb. 2 dargestellt, ergibt die Bernoulli Gleichung für die Querschnitte 1 und 2 folgende Gleichung: <sup>7</sup>

$$\frac{1}{2} \rho \cdot {v_1}^2 + p_1 = \frac{1}{2} \rho \cdot {v_2}^2 + p_2$$
 Formel 2.6

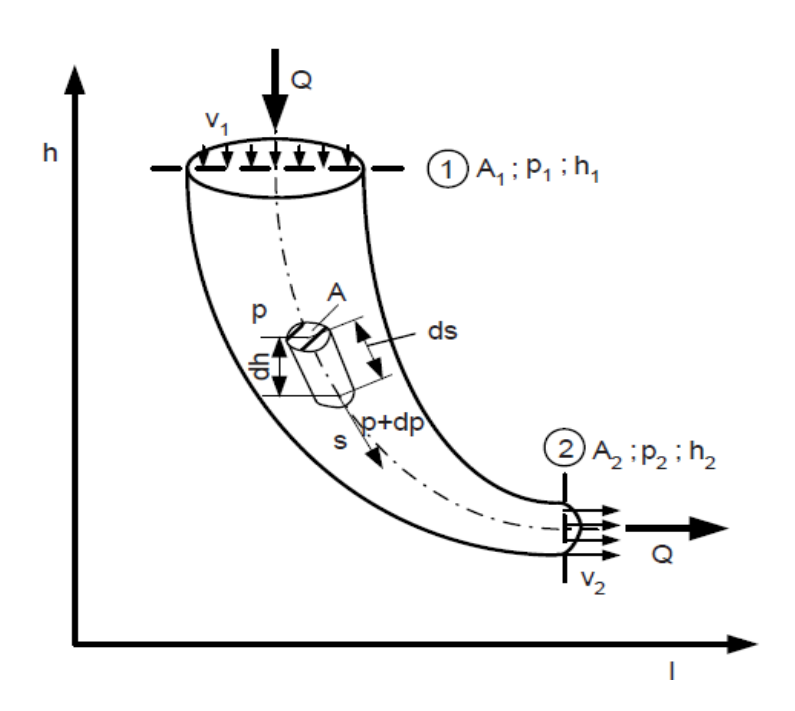


Abb. 2: Stationäre reibungsfreie Strömung bei veränderlichem Querschnitt, Quelle: Will/Gebhardt (Hrsg.) (2008), S. 46.

Mit Formel 2.6 kann der statische Druck in hydraulischen Bauteilen, welche eine Querschnittsveränderung haben, berechnet werden. Für den Druck im Querschnitt 2 gilt:

$$p_2 = p_1 - \frac{1}{2} \; \rho \cdot \dot{V}^2 \left( \frac{1}{{A_2}^2} - \frac{1}{{A_1}^2} \right) \qquad \qquad \text{Formel 2.7}$$

<sup>&</sup>lt;sup>6</sup> Vgl. Will/Gebhardt (Hrsg.) (2008), S.47.

<sup>&</sup>lt;sup>7</sup> Vgl. Will/Gebhardt (Hrsg.) (2008), S.48.

Dies bedeutet, dass bei Erhöhung des Volumenstroms  $\dot{V}$ , der statische Druck  $p_2$  sinkt. Wird in einem Hydrauliksystem die Reibung berücksichtigt, so wird die Bernoulli Gleichung durch Addition des Druckverlustes, welcher zwischen den Punkten 1 und 2 in Abb. 2 auftritt, erweitert und es gilt Folgendes: <sup>8</sup>

$$\frac{1}{2} \rho \cdot v_1^2 + p_1 = \frac{1}{2} \rho \cdot v_2^2 + p_2 + \Delta p$$
 Formel 2.8

#### 2.1.3 Druckverluste

Ändert sich der Strömungsquerschnitt nicht oder ist der Eintrittsquerschnitt gleich groß wie dieser am Austritt, so sind die Strömungsgeschwindigkeiten  $v_1$  und  $v_2$  gleich groß. Laut der Formel 2.8 ist die Druckänderung zwischen  $p_1$  und  $p_2$  somit gleich wie der Druckverlust und es gilt:

$$\Delta p = \frac{1}{2} \ \rho \cdot v^2 \cdot \zeta = \frac{1}{2} \ \rho \cdot \frac{\dot{V}^2}{A^2} \cdot \zeta \qquad \qquad \text{Formel 2.9} \qquad \frac{\text{Größe}}{\zeta} \qquad \qquad \text{Einheit} \qquad \text{Bezeichnung}$$

Ändert sich jedoch der Strömungsquerschnitt auf unterschiedliche Größen, so ist der Druckverlust nicht gleich groß wie die Druckänderung zwischen  $p_1$  und  $p_2$ . Dies ergibt sich aus der sich ändernden mittleren Strömungsgeschwindigkeit und der Änderung des Staudrucks. Wird der Querschnitt A in Strömungsrichtung kleiner, so steigt die Strömungsgeschwindigkeit und der Staudruck steigt. Es gilt Folgendes:  $^9$ 

$$\Delta p = \frac{1}{2} \rho \cdot v_{1,2}^2 \cdot \zeta_{1,2} = \frac{1}{2} \rho \cdot v_{1,2}^2 \cdot \frac{\dot{V}^2}{A_{1,2}^2}$$
 Formel 2.10

Der Zetawert ist eine variable Größe und hängt von dem Volumenstrom  $\dot{V}$  respektive der mittleren Strömungsgeschwindigkeit und der Viskosität des Fluides ab und wird als Funktion der Reynoldszahl Re dargestellt. <sup>10</sup>

<sup>9</sup> Vgl. Will/Gebhardt (Hrsg.) (2008), S. 54 - 55.

\_

<sup>8</sup> Vgl. Will/Gebhardt (Hrsg.) (2008), S. 49.

<sup>&</sup>lt;sup>10</sup> Vgl. Will/Gebhardt (Hrsg.) (2008), S. 55.

Die Funktion  $\zeta = f(Re)$  wird Widerstandscharakteristik genannt. Diese wird als Diagramm oder Gleichung dargestellt. Für Strömungswiderstände mit einem komplexen Verlauf, wie zum Beispiel Wegeventile oder Drosselventile, muss der Zetawert durch Experimente bestimmt und als Funktion der Reynoldszahl abgebildet werden. Dabei gilt:  $^{11}$ 

$$\zeta = \Delta p \, \frac{2}{\rho} \cdot \frac{A^2}{\dot{V}^2} \qquad \qquad \text{Formel 2.12}$$

# 2.1.4 Strömungswiderstände

Im Fall eines Hydraulikkreislaufes für eine Konditionieranlage gibt es drei Hauptwiderstände im System, die es näher zu betrachten gilt:

- gerade Rohre
- Ventile und Drosseln
- Rohrkrümmungen

#### 2.1.4.1 Gerade Rohrleitungen

Gerade Rohrleitungen sind Widerstände, die ihren Durchmesser nicht ändern und deren Fläche meist eine Kreisform aufweist. Die Wiederstände ergeben sich aus der Wandrauhigkeit und der Viskosität des Fluides. Der Zetawert wird daher mit der Länge des Rohres und dessen Durchmesser berechnet. Es gilt: 12

Der Rohrreibungsbeiwert hängt von der Reynoldszahl und zwei Konstanten ab, welche durch die Querschnittsform und den Strömungswiderstand bestimmt werden und es gilt: 13

$$\lambda = \frac{c_1}{Re^{c_2}}$$
 Formel 2.14

<sup>&</sup>lt;sup>11</sup> Vgl. Will/Gebhardt (Hrsg.) (2008), S. 56.

<sup>&</sup>lt;sup>12</sup> Vgl. Will/Gebhardt (Hrsg.) (2008), S. 57.

<sup>&</sup>lt;sup>13</sup> Vgl. Will/Gebhardt (Hrsg.) (2008), S. 57.

Wie in Abb. 3 dargestellt, kann bei der Fließgeschwindigkeit von einem Fluid zwischen zwei Strömungsarten unterschieden werden. 14

- Laminare Strömung: langsame Fließgeschwindigkeit und glatte Rohre → Re < 2320
  - o c1 = 64
  - o C2 = 1
- Turbulente Strömung: hohe Fließgeschwindigkeit und größerer Druckabfall → Re ≥ 2320
  - $\circ$  c<sub>1</sub> = 0,3164
  - $\circ$  C2 = 0,25

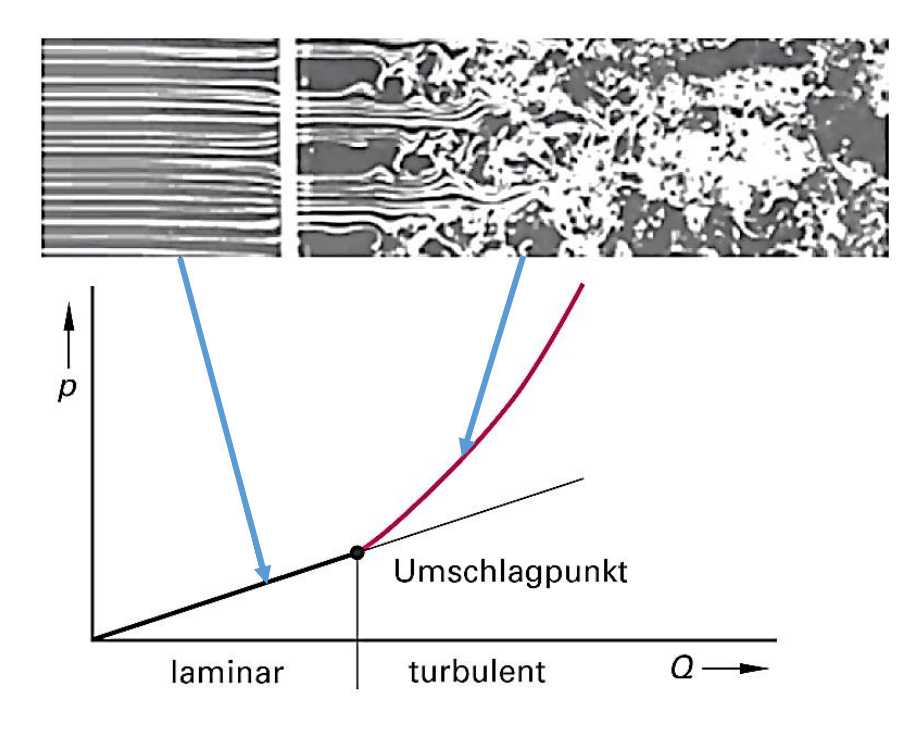


Abb. 3: Laminare und turbulente Strömung, Quelle: Schmid (2010), S. 154 (leicht modifiziert).

lst die Strömungsgeschwindigkeit, zum Beispiel durch eine Querschnittsverengung, hoch, so sinkt der statische Druck und die Druckdifferenz wird so groß, dass die Flüssigkeit aufreißt und sich kleine Dampfblasen bilden, welche so schnell wachsen, bis diese instabil werden und zusammenstürzen. Dadurch können Zerstörungen an den angrenzenden Wänden entstehen, welche Kavitation genannt werden. Dies gilt es zu verhindern, da die Lebensdauer einer Anlage dadurch eklatant minimiert werden kann.<sup>15</sup>

<sup>&</sup>lt;sup>14</sup> Vgl. Will/Gebhardt (Hrsg.) (2008), S. 57.

<sup>&</sup>lt;sup>15</sup> Vgl. Schmid (2009), S.154.

#### 2.1.4.2 Ventile und Drosseln

Ventile und Drosseln sind Widerstände in einem Hydrauliksystem, in welchen der Eingangs- und der Ausgangsdurchmesser meist ident sind. Diese können mit der Formel 2.9 und dem Zetawert  $\zeta$ , oder dem  $K_{V^-}$  Wert, welche aus den Herstellerdatenblättern entnommen werden können, berechnet werden. Bei nicht metrischen Systemen wird ein  $C_{V^-}$  Wert angegeben welcher das 1,16- fache des  $K_{V^-}$  Wertes ist. <sup>16</sup>

Der  $K_V$ - Wert dient der Dimensionierung und Auslegung von Ventilen und ist ein Maß für den Durchsatz eines Gases oder einer Flüssigkeit, welcher durch ein Ventil strömt. Dieser entspricht dem Wasserdurchfluss durch ein Ventil, bei einer Druckdifferenz von 1 bar. Die Wassertemperatur hat dabei 5 °C bis 30 °C. Anhand des  $K_V$ - Wertes kann der Druckverlust von einem Ventil ermittelt werden. <sup>17</sup>

Da bei Ventilen der  $K_{\nu}$  Wert angegeben ist, muss der Druckverlust über folgende Formel berechnet werden.

$$K_{v} = Q \cdot \sqrt{\frac{100000 \, \mathrm{Pa} \cdot \rho}{\Delta p \cdot 1000 \, \mathrm{kg} \cdot \mathrm{m}^{3}}}$$
 Formel 2.15 Größe Einheit Bezeichnung 
$$K_{v} = \frac{100000 \, \mathrm{Pa} \cdot \rho}{K_{v}} = \frac{100000 \, \mathrm{Pa} \cdot \rho}{\mathrm{Mass}^{3} / \mathrm{h}}$$
 Durchflussfaktor

#### 2.1.4.3 Knieelemente

Knieelemente sind Krümmungen mit einem Winkel von 90°, welche einen Umlenkverlust durch Querströmungen und Strahlablösungen hervorrufen. Der Zetawert  $\zeta$  kann aus der Abb. 4 entnommen werden. 18

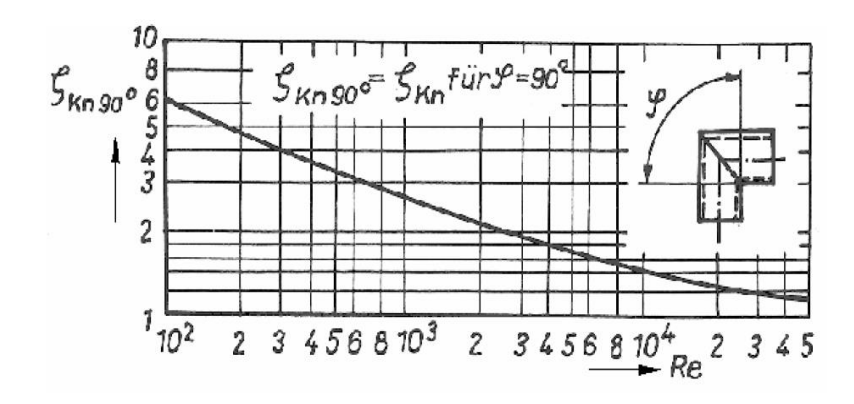


Abb. 4: Wilderstandscharakteristik von Knieelementen, Quelle: Will/Gebhardt (Hrsg.) (2008), S. 65.

<sup>17</sup> Vgl. Schw eizer (2016), Online-Quelle [20.11.2016]

<sup>&</sup>lt;sup>16</sup> Vgl. Matthies/Renius (2008). S. 53.

<sup>&</sup>lt;sup>18</sup> Vgl. Will/Gebhardt (Hrsg.) (2008), S. 64.

#### 2.1.5 Druckerzeugung

Um die mechanische Energie in Hydraulikflüssigkeiten zu übertragen, muss diese durch ständiges Verdrängen des Fluides aus der Saugseite in die Druckleitung gebracht werden. 19

#### 2.1.5.1 Arten von Pumpen

Es werden zwei Grundprinzipien von Pumpen unterschieden: 20

- Verdrängerpumpe
- Strömungspumpe (Kreiselpumpe)

Bei Verdrängerpumpen wird das Medium mittels eines Kolbens oder einer Membran aus dem Arbeitsraum verdrängt. Da Flüssigkeiten im Gegensatz zu Gasen nahezu inkompressibel sind, kann davon ausgegangen werden, dass das geförderte Volumen direkt dem Volumen des Verdränger- Arbeitsraums entspricht. Verdrängerpumpen arbeiten nicht pulsationsfrei, was bedeutet, dass es einen oszillierenden Saug- und Druckarbeitszyklus gibt. Rotierende Verdrängerpumpen arbeiten aufgrund der Bauweise weitgehend pulsationsfrei. Es besteht ein direkter Zusammenhang zwischen der Drehzahl und dem Förderstrom Q.21

Wie in Abb. 5 dargestellt, werden die Kennlinien dreier Arten von Pumpen unterschieden. Linie 1 stellt eine Kreiselpumpe dar. Mit zunehmendem Volumenstrom sinkt die Förderhöhe H. Bei der Drehkolbenpumpe, repräsentiert durch die Linie 2 und der Hubkolbenpumpe, gezeigt durch die Linie 3, ist deutlich zu erkennen, dass der Förderstrom fast völlig unabhängig von der Förderhöhe, konstant bleibt.<sup>22</sup>

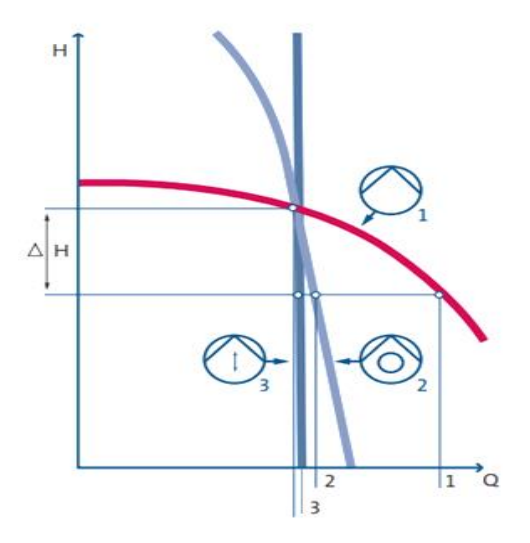


Abb. 5: Typische Verhältnisse zwischen Förderstrom und Förderhöhe bei drei Pumpentypen, Quelle: Grundfos (2016), Online-Quelle [01.09.2016] (leicht modifiziert).

<sup>&</sup>lt;sup>19</sup> Vgl. Schmid (2010), S. 120.

<sup>&</sup>lt;sup>20</sup> Vgl. Grundfos (2016), Online-Quelle [01.09.2016], S. 24.

<sup>&</sup>lt;sup>21</sup> Vgl. Grundfos (2016), Online-Quelle [01.09.2016], S. 24.

<sup>&</sup>lt;sup>22</sup> Vgl. Grundfos (2016), Online-Quelle [01.09.2016]

Die Kreiselpumpe ist heutzutage die am häufigsten verwendete Pumpenart. Das Medium wird hierbei zur Laufradnarbe geführt. Durch die Fliehkraft entstehen Strömungen im Pumpengehäuse, welche nach außen drücken und dadurch eine Druckerhöhung bewirken. Ein Beispiel aus dem täglichen Leben wäre der morgendliche Kaffee. Wird dieser in einer Tasse mit einem Löffel zum Rotieren gebracht, so wird die Flüssigkeit am Rand nach oben steigen. Es besteht ein direkter Zusammenhang zwischen Drehzahl, Laufraddurchmesser und Förderhöhe. <sup>23</sup>

Die Drehzahl eines Asynchronmotors hängt in erster Linie von der Versorgungsspannung, der Netzfrequenz und der Polpaarzahl ab. Um die Drehzahl zu ändern, muss zumindest eine dieser Komponenten verändert werden. Während des Betriebs die Polpaarzahl des Motors zu ändern, ist nur bedingt möglich. Daher kann eine Beeinflussung nur durch die Größen Frequenz und Spannung geschehen. Wird in der heutigen Zeit eine einstellbare Fördermenge benötigt, so geschieht dies meist durch den Einsatz sogenannter Frequenzumformer. Diese werden in die elektrische Zuleitung des Motors für die Pumpe eingebaut und beeinflussen diese zwei Parameter, wodurch es möglich ist, Motoren in einem breiten Bereich drehzahlgeregelt an die aktuell benötigte Antriebsleistung der Pumpe anzupassen. 24

Durch Änderung der Drehzahl des Pumpenmotors kann die Kennlinie und somit der Arbeitspunkt der Pumpe, auf einfache Art und Weise, verschoben werden. Somit ist es möglich, den Förderstrom variabel zu beeinflussen. In der Abb. 6 ist der Verschub der Kennlinie bei einer Reduktion der Frequenz und Spannung von 100 % auf bis zu 25 % dargestellt. Ebenso ist ersichtlich, dass die Leistung des Motors durch die Reduktion kleiner wird.<sup>25</sup>

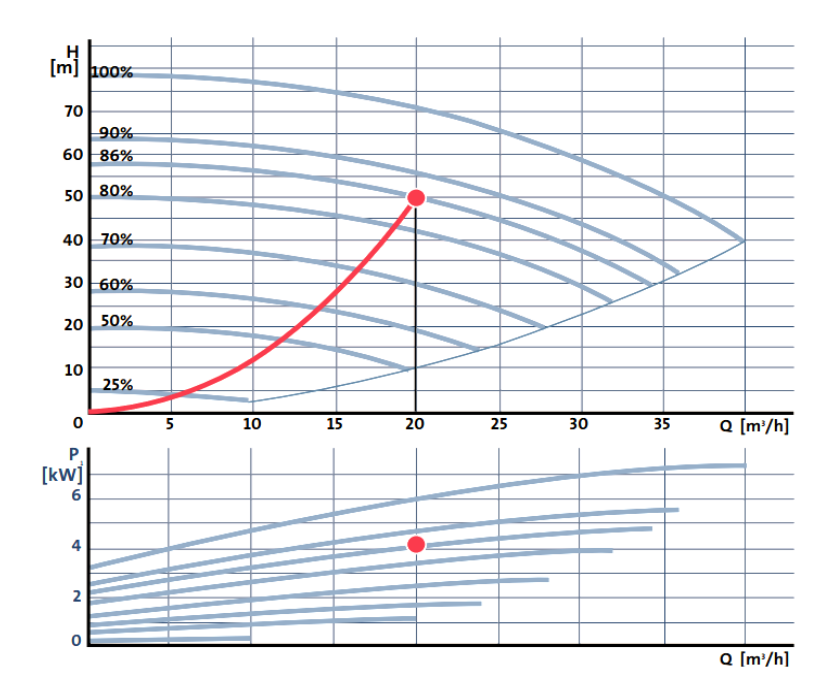


Abb. 6: Kennlinie einer drehzahlgeregelten Pumpe, Quelle: Grundfos (2016), Online-Quelle [01.09.2016] (leicht modifiziert).

<sup>&</sup>lt;sup>23</sup> Vgl. PTK Pumpen (2016), Online-Quelle [01.09.2016]

<sup>&</sup>lt;sup>24</sup> Vgl. Schmid (2010), S. 58.

<sup>&</sup>lt;sup>25</sup> Vgl. Grundfos (2016), Online-Quelle [01.09.2016], S. 119.

# 2.2 Allgemeine Einführung in die Wärmeübertragung

Die Wärmeübertragung erfolgt im Allgemeinen immer bei einem Temperaturunterschied von einem Körper mit höherer Temperatur auf einen Körper mit einer niedrigeren Temperatur und kann in folgende Kategorien eingeteilt werden, wobei in der Technik meist alle drei Kategorien zusammenwirken:<sup>26</sup>

- Wärmeleitung in festen oder in unbewegten gasförmigen und flüssigen Körpern, wobei kinetische Energie von einem Molekül oder Elementarteilchen auf seine Nachbarn übertragen wird
- Konvektion in bewegten gasförmigen oder flüssigen Körpern
- Wärmestrahlung ohne materielle Träger, durch elektromagnetische Wellen

# 2.2.1 Wärmeleitung

Unter Wärmeleitung wird das Ausbreiten der Wärme innerhalb eines Körpers verstanden. Die Energie wird durch das Schwingen und Aneinanderstoßen der Moleküle von Teilchen zu Teilchen weitergegeben.<sup>27</sup>

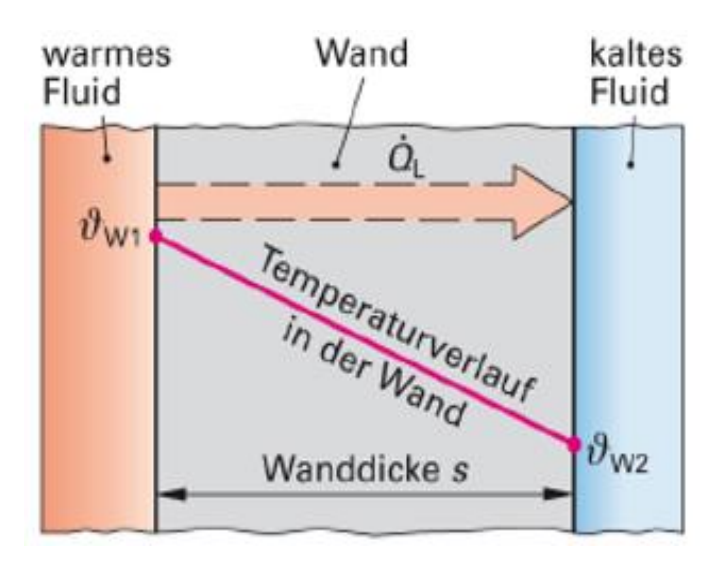


Abb. 7: Temperaturverlauf in einer Wand, Quelle: Gamse (Hrsg.) (2014), S. 27.

Der Wärmestrom  $\dot{Q}$ , welcher durch eine Wand fließt, berechnet sich wie folgt:

		Größe	Einheit	Bezeichnung
$\dot{Q} = \frac{\lambda}{s} \cdot A \cdot \Delta T$	Formel 2.16	Q	W	Wärmestrom
S = S		S	m	Wanddicke
		λ	W/m·K	Wärmeleitfähigkeit

Wie aus der Formel 2.16 abzuleiten, hängt der Wärmestrom  $\dot{Q}$  von der Größe der Fläche A, der Wanddicke s, von der Temperaturdifferenz  $\Delta T^{28}$  und der Wärmeleitfähigkeit  $\lambda$  des Materials ab.

<sup>27</sup> Vgl. Labuhn/Romberg (2007), S. 146.

vgi. Labunn/Romberg (2007), S. 146.

<sup>&</sup>lt;sup>26</sup> Vgl. Grote/Feldhusen (2011), S. D 28.

<sup>&</sup>lt;sup>28</sup> Die Celsius Temperatur ist äquivalent zur thermodynamischen Temperatur:  $\theta \equiv T$  es gilt:  $\{\theta\}_{\mathcal{K}} = \{T\}_{\mathcal{K}} - 273,15$ 

Um mit der Formel 2.16 rechnen zu können, muss die Wärmeleitfähigkeit  $\lambda$  des Materials aus Tabellen abgelesen werden. In Tabelle 2.1 ist die Leitfähigkeit von verschiedenen Materialien bei 20 °C angegeben.<sup>29</sup>

Stoff	Kupfer	Aluminium	Edelstahl	Wasser	Dämmstoffe	Vakuum	Luft	Glaswolle
$\lambda / W m^{-1} K$	401	237	15	0,6	0,04	~ 0,0	0,024	0,05

Tabelle 2.1: Wärmeleitfähigkeit von diversen Materialien bei 20 °C, Quelle: Eigene Darstellung.

Wie aus der Tabelle 2.1 ersichtlich, haben Luft und Vakuum eine sehr schlechte Wärmeleitfähigkeit und können daher als Isolator verwendet werden. Materialien wie Kupfer hingegen, haben eine gute Wärmeleitfähigkeit und sind daher hervorragend für den Wärmetransport geeignet.

#### 2.2.2 Konvektion

Bei der Konvektion passiert der Wärmeaustausch in Flüssigkeiten, Dämpfen oder Gasen durch die Bewegung dieser Teilmengen. Eine Konvektion in festen Stoffen ist somit nicht möglich. Es wird zwischen einer freien und einer erzwungenen Konvektion unterschieden.<sup>30</sup>

- Freie Konvektion Bewegung der Flüssigkeiten, Dämpfe oder Gase aufgrund unterschiedlicher Dichte
- Erzwungene Konvektion Bewegung des Mediums erfolgt zum Beispiel durch eine Pumpe

Als Wärmeübergang wird die Wärmeübertragung zwischen zwei Phasen, wie beispielsweise in Abb. 8 dargestellt, von einem Fluid auf einen festen Körper, zum Beispiel eine Wand, verstanden.

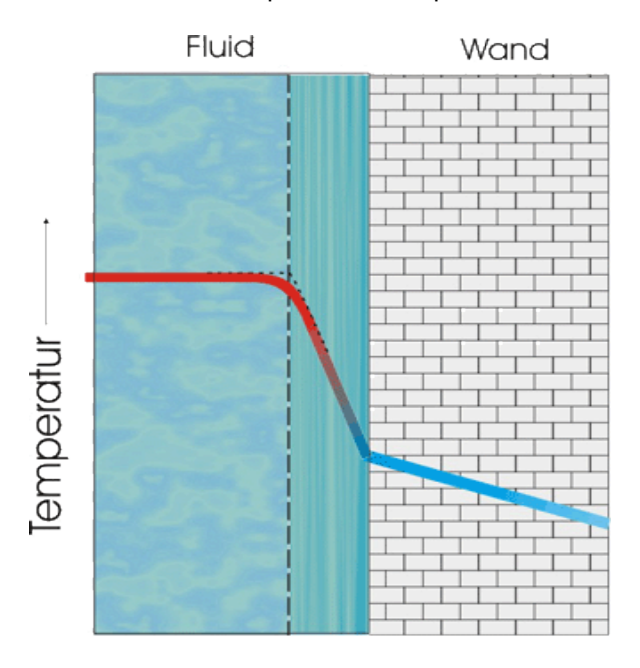


Abb. 8: Wärmeübergang, Quelle: Chemgaroo (2016), Online-Quelle [05.09.2016] (leicht modifiziert).

-

<sup>&</sup>lt;sup>29</sup> Vgl. Chemie.de (2016), Online-Quelle [05.09.2016]

<sup>&</sup>lt;sup>30</sup> Vgl. Hemming (1999), S. 131.

Der Wärmestrom  $\dot{Q}$  ist proportional der Wärmeübergangszahl  $\alpha$  und es gilt:31

Ó A A.T.	Formel 2.17	Größe	Einheit	Bezeichnung
$Q = \alpha \cdot A \cdot \Delta T$	10111012.17	α	W/m <sup>2</sup> K	Wärmeübergangszahl

Die Wärmeübergangszahl  $\alpha$  gibt an, welche Wärmemenge je Sekunde und je Quadratmeter Fläche bei einer Temperaturdifferenz von einem Kelvin übertragen werden kann und ist von mehreren Faktoren abhängig: $^{32}$ 

- Strömungsart (turbulent oder laminar)
- Stoffeigenschaften des Fluides (Dichte, Viskosität, Wärmeleitfähigkeit)
- Wärmeleitung der Grenzschicht zwischen Fluid und festem Körper

Die Wärmeübergangszahl  $\alpha$  kann aus diversen Tabellen entnommen werden. In Tabelle 2.2 sind einige Wärmeübergangszahlen aufgelistet.<sup>33</sup>

Medium	Wärmeübergangszahl α/W m <sup>-2</sup> K <sup>-1</sup>
Luft an ebener Wand	8 - 80
Luft außen an Rohrbündel	20 – 1000
Wasser an ebener Wand	100 – 1000
Wasser in Rohren (turbulent)	2000 -15000

Tabelle 2.2: Wärmeübergangszahlen von diversen Medien, Quelle: Eigene Darstellung.

Geschieht die Wärmeübertragung wie in Abb. 9 gezeigt, von einem Fluid durch eine Wand auf ein weiteres Fluid, so wird dieser Vorgang Wärmedurchgang genannt und besteht aus folgenden Teilschritten:<sup>34</sup>

- Wärmeübergang von dem ersten Fluid auf die Wand
- Wärmeleitung durch die Wand
- Wärmeübergang von der Wand auf das zweite Fluid

<sup>33</sup> Vgl. Anton Schw eizer (2016), Online-Quelle [05.09.2016].

<sup>&</sup>lt;sup>31</sup> Vgl. Labuhn/Romberg (2007), S. 148.

<sup>&</sup>lt;sup>32</sup> Vgl. Hemming (1999), S. 131.

<sup>&</sup>lt;sup>34</sup> Vgl. Hemming (1999), S. 134.

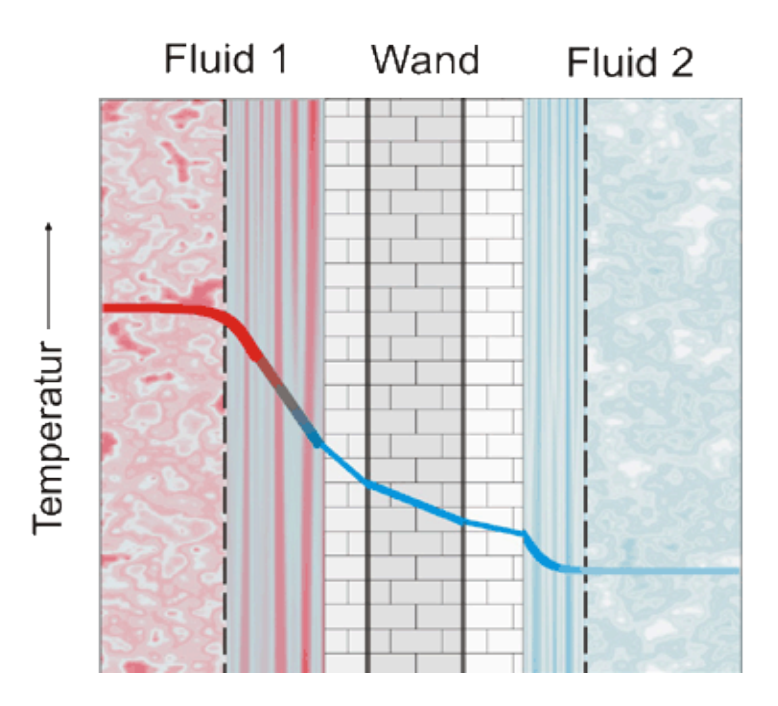


Abb. 9: Wärmedurchgang, Quelle: Chemgaroo (2016), Online-Quelle [05.09.2016] (leicht modifiziert).

Der Wärmestrom  $\dot{Q}$  bei Wärmedurchgang, berücksichtigt die zuvor genannten einzelnen Teilschritte und wird mit der Wärmedurchgangszahl kwie folgt berechnet:<sup>35</sup>

$$\dot{Q} = k \cdot A \cdot \Delta T$$
 Formel 2.18  $\dfrac{\text{Gr\"oße}}{k}$  Einheit Bezeichnung  $k = \frac{1}{2} \left( \frac{1}{2} \right) \left( \frac{1}{2} \left( \frac{1}{2} \right) \left( \frac$ 

Die Wärmedurchgangszahl k gibt an, welche Wärmemenge je Sekunde und je Quadratmeter Fläche bei einer Temperaturdifferenz von einem Kelvin übertragen werden kann und ergibt sich aus der Wärmeübergangszahl  $\alpha$  der Fluide sowie der Wärmeleitfähigkeit  $\lambda$  und der Wanddicke s.

$$\frac{1}{k} = \frac{1}{\alpha_1} + \frac{s}{\lambda} + \frac{1}{\alpha_2}$$
 Formel 2.19

Für Rohrwände:

 $\frac{1}{k} = \frac{1}{\alpha_1} + \frac{d_a}{\alpha_2 \cdot d_i} + \frac{d_a}{2 \cdot \lambda} \cdot \ln \frac{d_a}{d_i}$  Formel 2.20 Größe Einheit Bezeichnung  $\frac{1}{d_a} = \frac{1}{m}$  Außendurchmesser  $\frac{1}{m} = \frac{1}{m}$  Innendurchmesser

<sup>&</sup>lt;sup>35</sup> Vgl. Hering/Martin/Stohrer (2007), S. 264.

<sup>&</sup>lt;sup>36</sup> Vgl. Hemming (1999), S. 134.

Die Wärmedurchgangszahl k, für Wärmetauscher, wird häufig aus Tabellen entnommen. In der folgenden Tabelle 2.3 werden einige Richtwerte genannt:<sup>37</sup>

Wärmetauscher	Medium	Wärmedurchgangszahl  k/W m <sup>-2</sup> K <sup>-1</sup>
Rohrbündel	Gas ca. 1 bar innerhalb und außerhalb der Rohre	5 - 35
	Gas innerhalb (außerhalb) und Flüssigkeit außerhalb (innerhalb) der Rohre	15 - 70
	Flüssigkeit innerhalb und außerhalb der Rohre	150 - 1200
Platten	Ebene Kanäle, Gas an Wasser	20 - 60
	Ebene Kanäle, Flüssigkeit an Wasser	350 - 1200
	Profilplatten, Flüssigkeit an Flüssigkeit	1000 - 4000

Tabelle 2.3: Wärmedurchgangszahlen von diversen Wärmetauschem, Quelle: Eigene Darstellung.

#### 2.2.3 Wärmestrahlung

Bei der Wärmestrahlung wird kein Material wie bei der Konvektion oder Wärmeleitung als Transportweg, zur Übertragung der Wärmemenge zwischen zwei Körpern, benötigt. Diese ist eine elektromagnetische Strahlung. Ein Beispiel ist die Wärmestrahlung im leeren Weltraum von der Sonne zur Erde.<sup>38</sup>

Da die Wärmestrahlung in der Technik erst ab Temperaturen, welche größer als 500 °C sind, einen bedeutenden Einfluss auf die Wärmeübertragung nimmt, wird in dieser Arbeit nicht näher darauf eingegangen.

\_

<sup>&</sup>lt;sup>37</sup> Vgl. Anton Schw eizer (2016), Online-Quelle [05.09.2016].

<sup>&</sup>lt;sup>38</sup> Vgl. Labuhn/Romberg (2007), S. 149.

# 2.3 Apparate zur Wärmeübertragung

Apparate zur Wärmeübertragung können nach unterschiedlichen technologischen Zwecken wie Öfen, Kühlern, Verdampfern oder Trocknern eingeordnet werden. Ein weiteres Einteilungskriterium ist das Arbeitsprinzip. Hier werden drei Apparatetypen unterschieden:<sup>39</sup>

- **Rekuperator:** heißes und kaltes Medium sind während des Wärmeübertragungsvorganges durch eine Wand räumlich getrennt (z.B. durch Platten bei einem Plattenwärmetauscher)
- Regenerator: heißes und kaltes Medium sind zeitlich getrennt und durchströmen nacheinander im Wechsel denselben Apparateraum (z.B. Winderhitzer an Hochofenanlagen)
- Mischwärmeübertrager: heißes und kaltes Medium werden direkt miteinander vermischt (z.B. heißes und kaltes Wasser, das gleichzeitig über ein Ventil fließt)

Regeneratoren und Rekuperatoren werden ebenso als indirekter Wärmeübertrager bezeichnet, Mischwärmeübertrager vice versa als direkter Wärmeübertrager. In der Technik sind Rekuperatoren am verbreitetsten. Diese werden Wärmetauscher genannt. Je nach Einsatzzweck werden verschiedene Bauarten, wie zum Beispiel Doppelrohr-, Rohrbündel-, Spiral- und Plattenwärmetauscher, unterschieden.<sup>40</sup>

Wie aus der Formel 2.18 herzuleiten, spielt die Temperaturdifferenz zwischen den beiden Seiten der Trennwand eine eklatante Rolle für den Wärmedurchgang. Diese ist unter anderem von der Stoffführung im Wärmetauscher abhängig und kann in folgende zwei Prinzipien eingeteilt werden.<sup>41</sup>

- **Gleichstrom:** Hier strömen, wie in Abb. 10 links dargestellt, die Stoffe auf beiden Seiten der Wärmetauscherwand in dieselbe Richtung.
- **Gegenstrom:** Hier strömen, wie in Abb. 10 rechts dargestellt, die Stoffe auf beiden Seiten der Wärmetauscherwand in die entgegengesetzte Richtung.

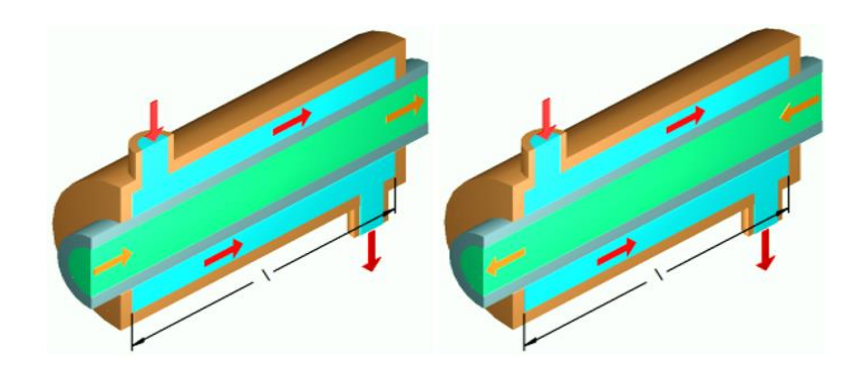


Abb. 10: Gleichstrom- und Gegenstromprinzip, Quelle: Anton Schweizer (2016), Online-Quelle [05.09.2016] (leicht modifiziert).

<sup>&</sup>lt;sup>39</sup> Vgl. Chemgaroo (2016), Online-Quelle [06.09.2016].

<sup>&</sup>lt;sup>40</sup> Vgl. Hemming (1999), S. 136

<sup>&</sup>lt;sup>41</sup> Vgl. Grote/Feldhusen (2011), S. K46.

## 2.3.1 Gleichstromprinzip

Die Temperaturdifferenz ist am Einlauf am größten. Es trifft der Wärme abgebende Stoff auf den Wärme aufnehmenden Stoff. Während diese den Wärmetauscher durchströmen, geht die Wärme des wärmeren Stoffes auf den kälteren über und die Temperaturdifferenz nimmt zum Auslauf hin ab, wo diese dann, wie in Abb. 11 dargestellt, am kleinsten ist.<sup>42</sup>

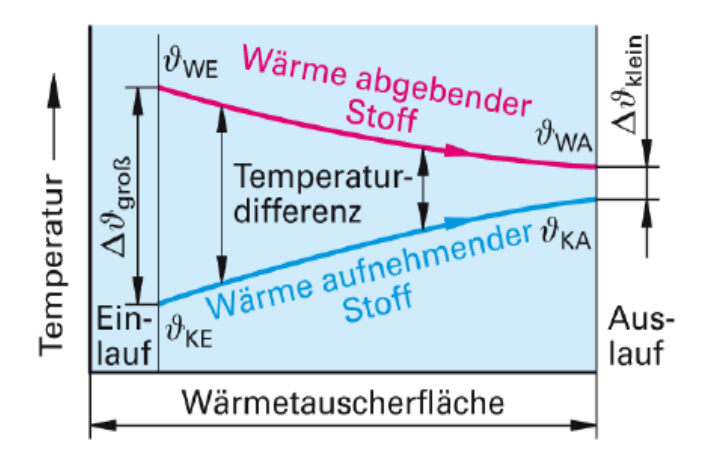


Abb. 11: Gleichstromprinzip, Quelle: Gamse (Hrsg.) (2014), S. 35 (leicht modifiziert).

#### 2.3.2 Gegenstrom

Der Wärme abgebende Stoff strömt in den Wärmetauscher ein und steht dort im Wärmeaustausch mit dem Auslauf des bereits erwärmten Wärme aufzunehmenden Stoff. Hier ist die kleinste Temperaturdifferenz. Nach Durchströmen des Wärmetauschers trifft der abgekühlte Wärme abgebende Stoff auf den einströmenden, noch völlig kalten Wärme aufnehmenden Stoff. Hier ist die Temperaturdifferenz, wie in Abb. 12 dargestellt, am größten.<sup>43</sup>

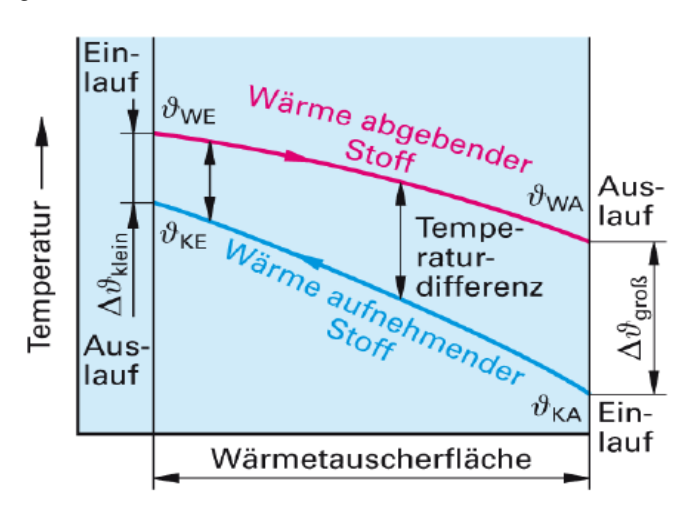


Abb. 12: Gegenstromprinzip, Quelle: Gamse (Hrsg.) (2014), S. 36 (leicht modifiziert).

-

<sup>&</sup>lt;sup>42</sup> Vgl. Anton Schw eizer (2016), Online-Quelle [05.09.2016].

<sup>&</sup>lt;sup>43</sup> Vgl. Anton Schw eizer (2016), Online-Quelle [05.09.2016].

Die benötigte Wärmetauscherfläche berechnet sich aus der Formel 2.18, wobei die mittlere Temperaturdifferenz  $\Delta T_{\rm m}$  verwendet wird, welche wie folgt berechnet wird:<sup>44</sup>

$$\Delta T_{\rm m} = \frac{\Delta T_{\rm groß} - \Delta T_{\rm klein}}{\ln \frac{\Delta T_{\rm groß}}{\Delta T_{\rm klein}}}$$
 Formel 2.21

#### 2.3.3 Gleichstrom vs. Gegenstrom

Wie in Abb. 13 ersichtlich, kann sich bei gleicher Eintrittstemperatur, gleicher Wärmedurchgangszahl und gleich großer Wärmetauscherfläche der Wärme aufnehmende Stoff im Gegenstromprinzip mehr erwärmen ( $\Delta T^*$ ), als im Gleichstromprinzip ( $\Delta T$ ). Bei dem Gegenstromprinzip gibt der wärmere Stoff einen größeren Teil seines Wärmeinhaltes an den kälteren Stoff ab, als beim Gleichstromprinzip. Ebenso ist es möglich, dass der Wärme aufnehmende Stoff eine höhere Temperatur erreichen kann, als der Wärme abgebende Stoff am Auslauf hat. Beim Gleichstromprinzip ist maximal die gleiche Temperatur möglich.  $^{45}$ 

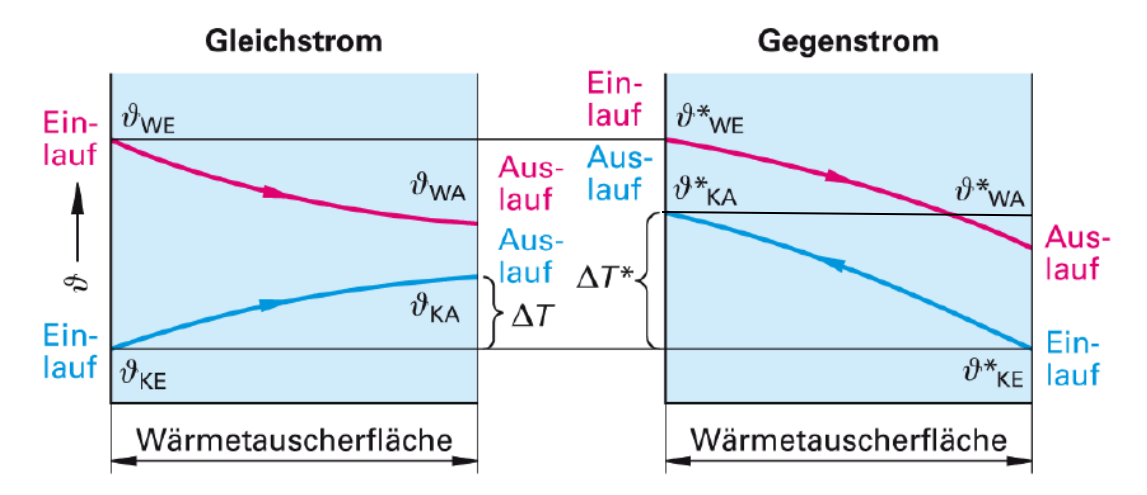


Abb. 13: Vergleich Gleichstromprinzip vs. Gegenstromprinzip, Quelle: Gamse (Hrsg.) (2014), S. 36 (leicht modifiziert).

Um die gleiche Wärmemenge zu übertragen, wird deshalb bei einem Gegenstromprinzip eine kleinere Fläche benötigt, als bei dem Gleichstromprinzip, weshalb Gleichstromwärmetauscher kleiner und günstiger gebaut werden können.

\_

<sup>&</sup>lt;sup>44</sup> Vgl. Grote/Feldhusen (2011), S. K49.

<sup>&</sup>lt;sup>45</sup> Vgl. Bibliographisches Institut (2016), Online-Quelle [08.09.2016]

Die benötigte Wärmeleistung, also der Wärmestrom  $\dot{Q}$  für einen Wärmetauscher, ist jene Leistung, die benötigt wird, um ein Medium mit der spezifischen Wärmekapazität  $c_p$  um die Temperaturdifferenz  $\Delta T$  mit dem Massenstrom  $\dot{m}$  zu erwärmen bzw. zu kühlen.

$$\dot{Q}=\dot{m}\cdot c_p\cdot \Delta T$$
 Formel 2.22  $\dfrac{\rm Gr\ddot{o}\&e}{c_p}$  Einheit Bezeichnung  $c_p$  J/ kg K Spez. Wärmekapazität

In folgender Tabelle sind spezifische Wärmekapazitäten von üblichen Medien angegeben.

Medium	Medium Temperatur ୫ / °C	Spezifische Wärmekapazität $c_p I$ J kg $^{ extsf{-1}}$ K $^{ extsf{-1}}$		
Diesel	20	1926		
Ethanol	25	2540		
Benzin	-	2020		
Wasser	20	4180		
Luft	20	1000		
Wasser/Glykol 50/50	20	3300		
Wasser/Glykol 80/20	20	3900		
Aluminium	-	896		
Stahl	-	477		
Kupfer	-	381		

Tabelle 2.4: Spezifische Wärmekapazität üblicher Medien, Quelle: Eigene Darstellung.

#### 2.3.4 Bauarten von Wärmetauschern

Wie in diesem Kapitel anfangs bereits erwähnt, ist die Wärmedurchgangszahl k unter anderem von der Stoffführung abhängig, das heißt, ob der Wärmetauscher im Gleichstromprinzip oder im Gegenstromprinzip, betrieben wird. Eine weitere Abhängigkeit ist die Bauart, welche in den folgenden Unterkapiteln erörtert wird und der verwendete Werkstoff. $^{47}$ 

<sup>47</sup> Vgl. Hemming (1999), S. 138.

<sup>&</sup>lt;sup>46</sup> Vgl. Hemming (1999), S. 136.

#### 2.3.4.1 Rohrbündelwärmetauscher

Rohrbündelwärmetauscher sind die am häufigsten eingesetzten Wärmeübertrager, da diese einen sehr einfachen Aufbau haben. 48 Diese bestehen im Wesentlichen, wie in Abb. 14 dargestellt, aus einem Zylinder, dem sogenannten Mantel, in dem ein Bündel mit einzelnen, parallel angeordneten Rohren eingetaucht ist. Der eine Stoff strömt durch das Rohrbündel und der andere Stoff durch den Mantelraum. Diverse Bleche im Mantelraum dienen hierbei einerseits zur Fixierung des Rohrbündels und andererseits als Leitblech für den umlaufenden Stoff im Mantelraum. Dadurch wird der Wärmeaustausch verbessert. 49

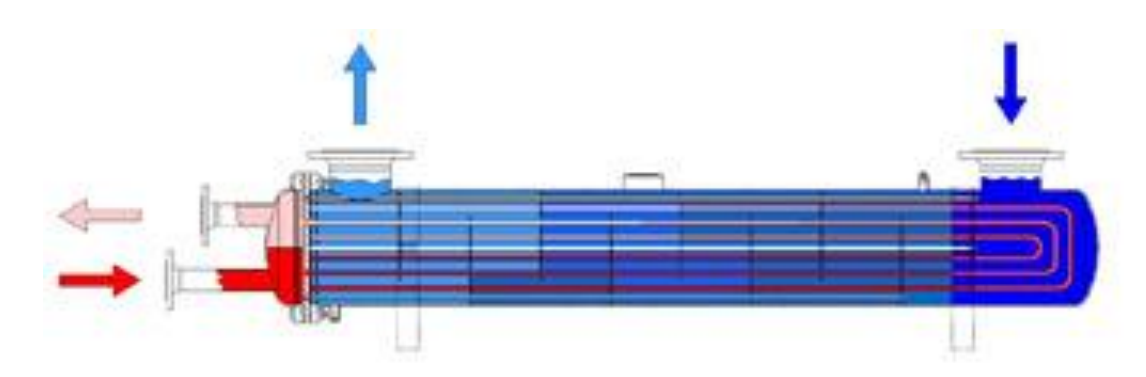


Abb. 14: Rohrbündelw ärmetauscher, Quelle: Apparate- und Anlagentechnik Nürnberg (2016), Online-Quelle [08.09.2016].

#### 2.3.4.2 Doppelrohrwärmetauscher

Doppelrohrwärmetauscher bestehen im Wesentlichen, wie in Abb. 15 gezeigt, aus einem Außen- und einem Innenrohr, welche in mehreren Reihen zu einem Paket übereinander angeordnet werden können.<sup>50</sup>

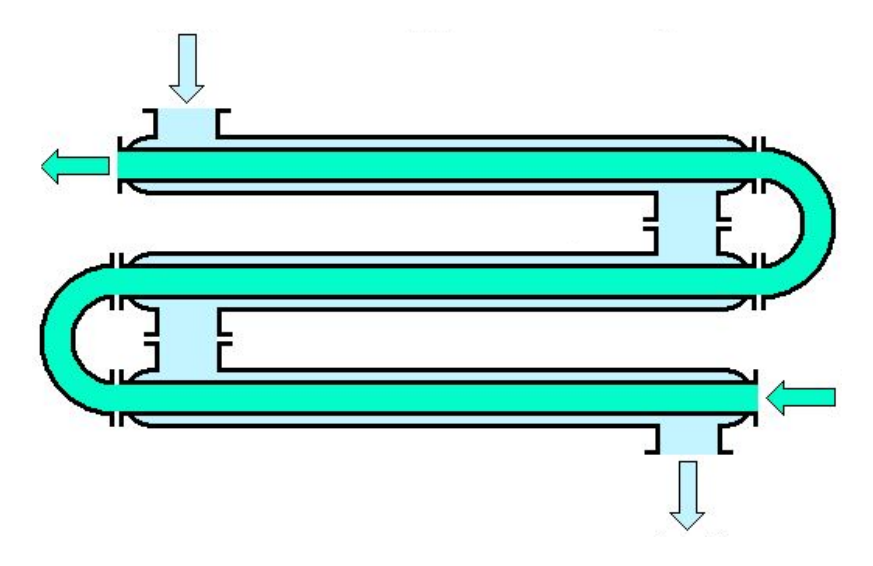


Abb. 15: Doppelrohrw ärmetauscher, Quelle: Sunrise Process Equipments (2016), Online-Quelle [08.09.2016] (leicht modifiziert).

<sup>&</sup>lt;sup>48</sup> Vgl. Hemming (1999), S. 136.

<sup>&</sup>lt;sup>49</sup> Vgl. Apparate- und Anlagentechnik Nürnberg (2016), Online-Quelle [08.09.2016].

<sup>&</sup>lt;sup>50</sup> Vgl. Hemming (1999), S. 136.

#### 2.3.4.3 Spiralwärmetauscher

Spiralwärmetauscher bestehen, wie in Abb. 16 dargestellt, aus zwei Blechen, welche wie eine Spirale aufgewickelt sind. Die Stoffe strömen axial ein bzw. aus vice versa radial aus bzw. ein. Die Breite der Kammern kann für die Stoffe unterschiedlich gestaltet werden und so an den Durchsatz angepasst werden. Sie werden im reinen Gegenstromprinzip verwendet.<sup>51</sup>

#### 2.3.4.4 Plattenwärmetauscher

Plattenwärmetauscher bestehen, wie in Abb. 17 gezeigt, aus mehreren Platten, welche immer paarweise zu einem Paket zusammengebracht werden, zwischen denen die Stoffe strömen. Die Zwischenräume inmitten der einzelnen Platten sind mit Durchführungen versehen und so miteinander verbunden, dass jeweils ein Wärme abgebender Stoff zwischen den Hohlräumen der Platten und ein Wärme aufnehmender Stoff strömen können.<sup>52</sup> Die Platten können entweder fix miteinander verlötet oder verschweißt werden beziehungsweise können die Platten miteinander verschraubt werden, um diese im Reinigungsfall wieder zerlegen zu können. Plattenwärmetauscher haben trotz kompakter Baugröße eine sehr hohe Wärmeübertragungsleistung.<sup>53</sup>

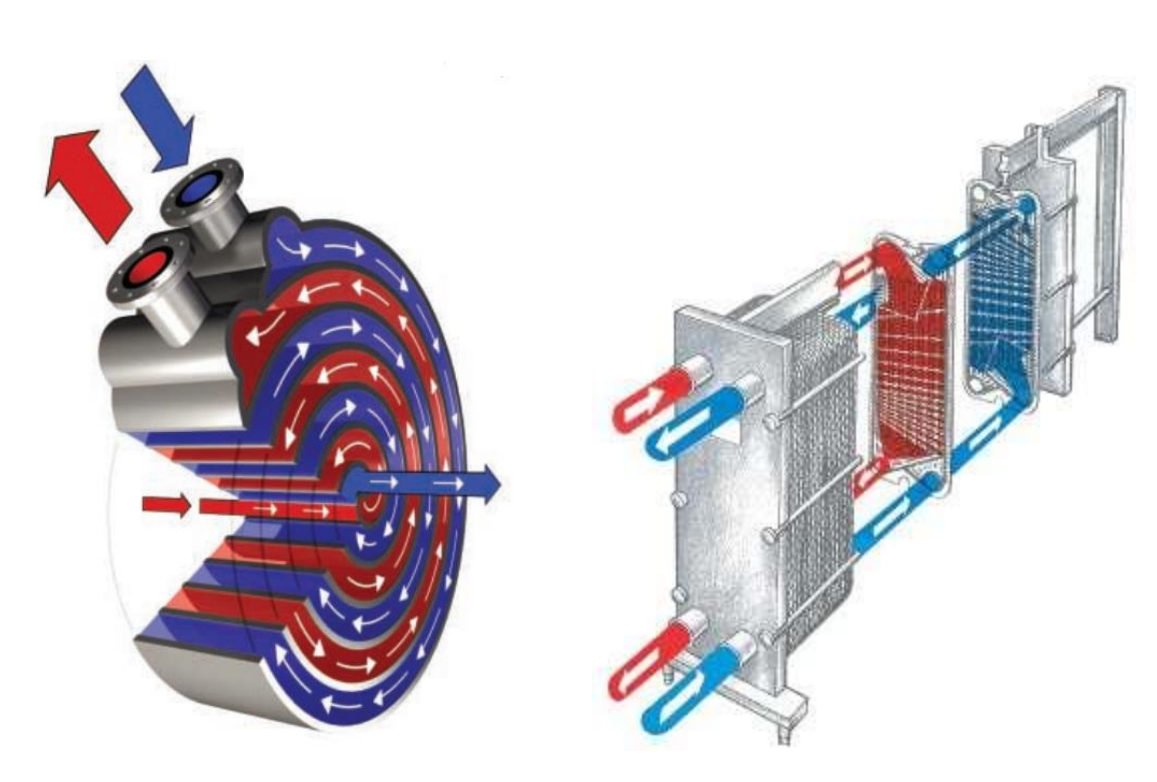


Abb. 16: Spiralw ärmetauscher, Quelle: Alfa Laval (Hrsg.) (2016).

Abb. 17: Plattenw ärmetauscher, Quelle: Therminox (2008), Online-Quelle [08.09.2016].

<sup>&</sup>lt;sup>51</sup> Vgl. Hemming (1999), S. 137.

<sup>&</sup>lt;sup>52</sup> Vgl. Hemming (1999), S. 136.

<sup>&</sup>lt;sup>53</sup> Vgl. Cutler/Marczyk/Paw elek (2013), Online-Quelle [08.09.2016].

# 2.4 Regelungsstrategien für dynamische Regelung von Flüssigkeitskreisläufen

Da die aktuellen Konditionieranlagen in der Regel nur durch eine einfache Temperatursteuerung betrieben werden, welche nur für einen stationären Betrieb ausgelegt sind, das Ziel dieser Arbeit aber ist, eine dynamische Konditionieranlage zu realisieren, wird das Thema Regeln und Steuern näher betrachtet.

Die Aufgabe der Regelungstechnik ist das Einhalten oder das Erreichen von gewünschten Werten beziehungsweise Werten zu folgen.<sup>54</sup> In technischen Bereichen kann das zum Beispiel Druck, Temperatur Drehzahl, Durchfluss, Spannung und so weiter sein.

Regelungstechnik muss nicht immer nur in technischen Bereichen, wie in komplexen automatisierten Maschinen, stattfinden. Auch im täglichen Leben kommt die Regelungstechnik häufig vor. Bei Erwärmung eines Raumes durch die Sonne hat das Raumthermostat die Aufgabe, eine vorher festgelegte Temperatur konstant zu halten.<sup>55</sup>

Das Thema Regelungstechnik setzt somit das Grundwissen von folgenden Begriffen aus der Literatur voraus: <sup>56</sup>

#### • Sollwert (Führungsgröße)

Die Führungsgröße ist jener Wert in der Regelung, welcher von außen vorgegeben wird. Dies kann in Form der zuvor genannten Beispiele, mit einem gewünschten Durchfluss, Druck, beziehungsweise der vorgegebenen Raumtemperatur, verglichen werden.

#### Istwert (Regelgröße)

Der Istwert ist die Größe, die es zu regeln gilt. Im Fall der Sonne würde dieser die Raumtemperatur der Luft repräsentieren.

#### Regelabweichung

Regelabweichung ist die Differenz zwischen dem Ist- und Sollwert. Aus den oben genannten Beispielen ist es die Differenz zwischen der aktuellen Raumtemperatur und der bevorzugten Wohlfühltemperatur des Menschen, beziehungsweise der Vorgabetemperatur des Raumes.

#### Stellgröße

Die Stellgröße ist jene Größe, die der Regelabweichung entgegenwirkt. Bei der Raumtemperatur bedeutet dies, wie stark ein Regelventil geöffnet oder geschlossen werden muss, um die Raumtemperatur zu verändern.

#### Störgröße

Die Störgröße ist jener negative Einfluss auf die Regelung, welcher die Regelgröße von der Führungsgröße abbringt. Diese ist bei einer Temperaturregelung zum Beispiel eine offene Türe oder ein offenes Fenster, welche den Raum wieder abkühlt.

<sup>56</sup> Vgl. Schmid (2010), S. 10-11.

<sup>&</sup>lt;sup>54</sup> Vgl. Schmid (2010), S. 231.

<sup>&</sup>lt;sup>55</sup> Vgl. Lunze (2008), S. 1.

#### 2.4.1 Was bedeutet Regeln / Steuern

Der Unterschied zwischen dem Begriff Regelung und dem Begriff Steuerung wird oft verwechselt oder nicht richtig angewandt. Sowohl Regelung als auch Steuerung haben die Aufgabe, einen bestimmten Prozess auszuführen. Bei einer Steuerung für die Raumtemperatur, wie in Abb. 18 abgebildet, wird zum Beispiel die Außentemperatur mit Hilfe eines Außentemperaturfühlers gemessen. Dieser Wert wird von einem Steuergerät bearbeitet, welches bei einer Änderung der Außentemperatur die Stellung eines Ventils für den Wärmefluss  $\dot{Q}$  eines Heizkörpers in einem Raum reguliert. Durch eine Kennlinie, welche im Steuergerät hinterlegt ist, wird die Ventilstellung beeinflusst. Wird nun ein Fenster oder eine Türe geöffnet oder befinden sich mehr oder weniger Personen in diesem Raum, hat dies keine Auswirkung auf die Stellung des Ventils. Da nun durch das offene Fenster der Raum abgekühlt wird oder durch mehrere Menschen eine Temperaturerhöhung oder vice versa, durch weniger Personen eine Senkung der Raumtemperatur erfolgt, haben derartige Störgrößen eine Einwirkung auf die Temperatur. Das Steuergerät hat durch die fix gespeicherte Kennlinie jedoch keinen Einfluss auf diese Störgrößen und kann somit nicht auf diese unvorherges ehenen Ereignisse reagieren. Durch die Kennlinie kann lediglich eine Beeinflussung der Außentemperatur berücksichtigt werden.<sup>57</sup>

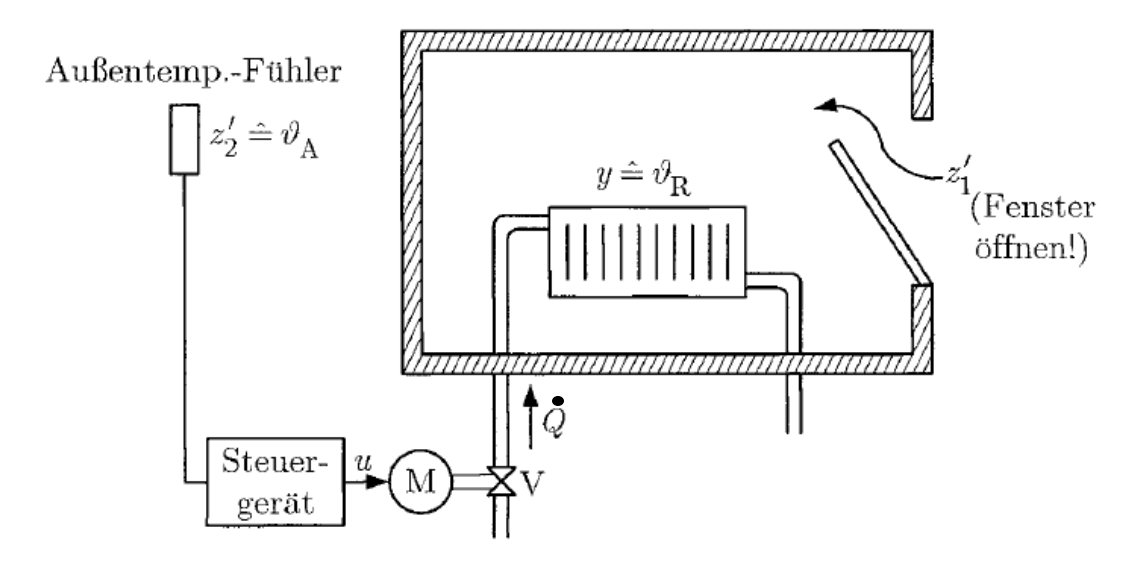


Abb. 18: Steuerung der Raumtemperatur, Quelle: Unbehauen (2008), S. 5.

Wird nun, wie in Abb. 19, im Inneren des Raumes ein Raumtemperaturfühler anstelle des Außentemperaturfühlers und ein Regler an Stelle des Steuergerätes verwendet, kann die sich ändernde Personenanzahl oder geöffnete Fenster berücksichtigt werden. Bei einer Regelung wird eine gewünschte Sollvorgabe der Temperatur an den Regler übergeben. Über den Fühler im Raum, kann der aktuelle Raumtemperatur Istwert gemessen werden. Diese zwei Werte werden durch den Regler verglichen. Weicht der Istwert vom gewünschten Sollwert ab, verarbeitet der Regler die Abweichung.<sup>58</sup>

<sup>&</sup>lt;sup>57</sup> Vgl. Unbehauen (2008), S. 5.

<sup>&</sup>lt;sup>58</sup> Vgl. Unbehauen (2008), S. 6.

Dieser veranlasst eine Änderung der Ventilstellung und somit des Wärmeflusses  $\dot{Q}$  und kann daraus resultierend die Störeinflüsse kompensieren.<sup>59</sup>

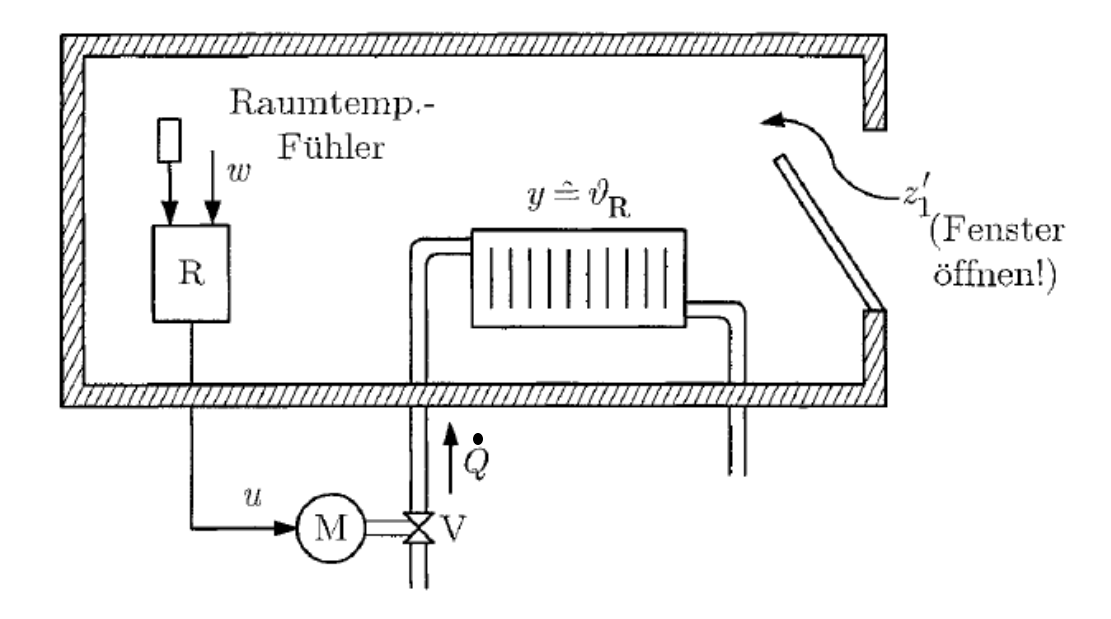


Abb. 19: Regelung der Raumtemperatur, Quelle: Unbehauen (2008), S. 6.

Steuern ist somit die Beeinflussung eines Prozesses, ohne neuerlich nachzumessen, ob die gewünschte Vorgabe wirklich erfüllt wurde. Bei einer Regelung wird vice versa durch fortwährendes nachmessen des aktuellen Istwertes, die Regelgröße immer wieder nachjustiert.

#### 2.4.2 Typisierung von Reglern

Aufgaben in der Regelung können auf verschiedene Art und Weise realisiert werden. Die Stellgrößen können entweder mechanisch oder elektrisch sein. Diese können sowohl digital als auch analog sein. Weiteres können Regelungen mit oder ohne Hilfsenergie erzeugt werden. Hilfsenergien können sowohl elektrisch wie auch hydraulisch oder pneumatisch sein und von einer externen Quelle bereitgestellt werden.<sup>60</sup>

Eine weitere Einteilung ist der Stellbereich. Hat eine Regelung einen kontinuierlichen Stellbereich, was bedeutet, dass die Stellgröße jeden beliebigen Wert wie zum Beispiel (4-20) mA, (0-10) V oder (0-100) % annehmen kann, kommen stetige Regler, wie in Abb. 20 aufgezählt, zum Einsatz. <sup>61</sup>

Bei einem diskreten Stellbereich, wobei die Stellgröße nur gewisse Zustände wie Heizen, Kühlen oder Nichtstun annehmen kann, kommen unstetige Regler, wie in Abb. 20 dargestellt, zum Einsatz.<sup>62</sup>

<sup>&</sup>lt;sup>59</sup> Vgl. Unbehauen (2008), S. 6.

<sup>&</sup>lt;sup>60</sup> Vgl. Schmid (2009), S. 119.

<sup>&</sup>lt;sup>61</sup> Vgl. Schmid (2009), S. 120.

<sup>62</sup> Vgl. Reuter/Zacher (2008), S. 100.

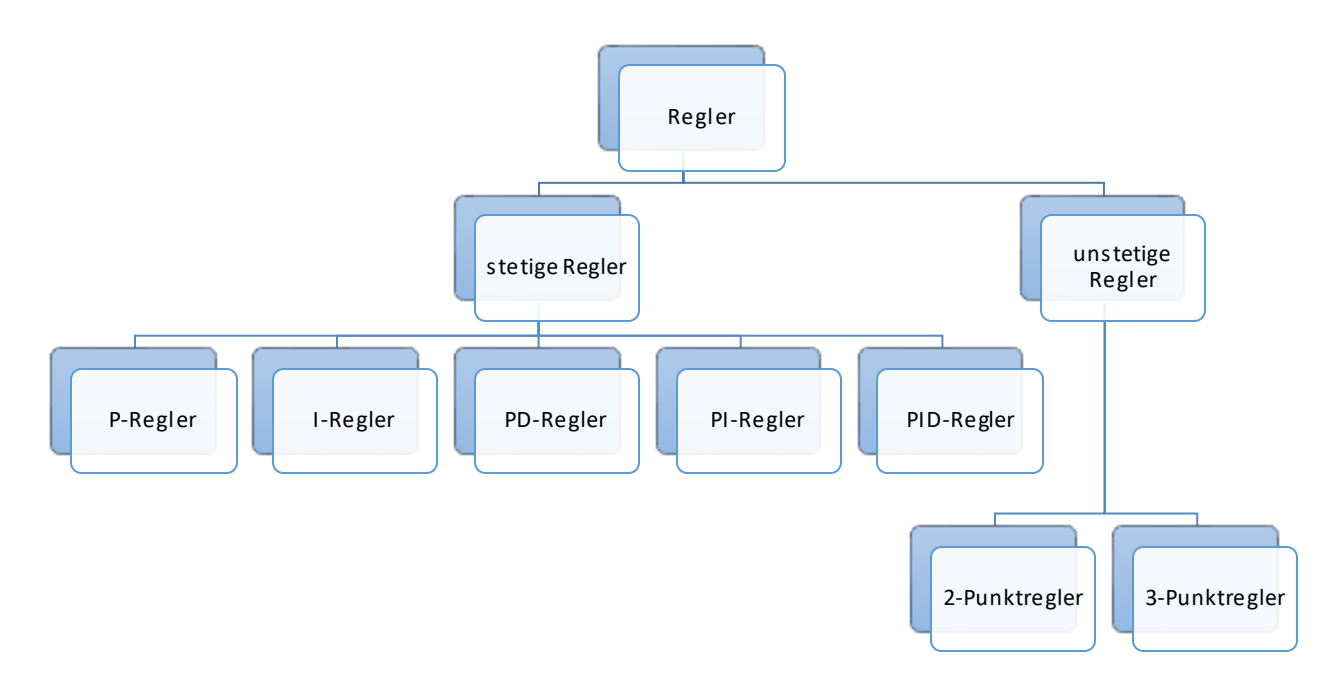


Abb. 20: Einteilung von Reglern, Quelle: Eigendarstellung.

#### 2.4.2.1 Unstetige Regler

#### 2-Punktregler

Der 2-Punktregler ist die einfachste Form einer Regelung, da dieser nur zwei verschiedene Schaltstellungen, wie zum Beispiel Ventil AUF oder Ventil ZU, hat. Meist werden diese zur Temperaturregelung in Räumen verwendet. Ist die Solltemperatur niedriger als eine definierte Untergrenze, wird das Heizen aktiviert. Ist die Solltemperatur höher als eine vorgegebene Obergrenze wird, wie in Abb. 21 dargestellt, das Heizen deaktiviert. <sup>63</sup>

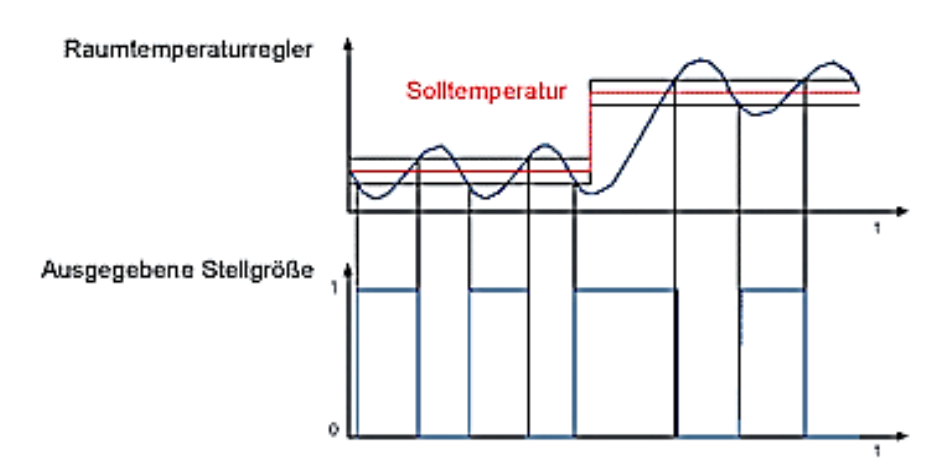


Abb. 21: 2-Punktregelung, Quelle: Sperlich (2000), Online-Quelle [14.09.2016] (leicht modifiziert).

-

<sup>&</sup>lt;sup>63</sup> Vgl. Schmid (2010), S. 243.

#### 3-Punktregler

Der 3-Punktregler ist eine Erweiterung des 2-Punktreglers und hat drei verschiedene Schaltstellungen. Meist werden diese ebenso zur Temperaturregelung in Räumen mit einer Klimaanlage benutzt. Ist die Solltemperatur niedriger als eine definierte Untergrenze, so wird das Heizen aktiviert. Ist die Solltemperatur höher als eine vorgegebene Obergrenze, so wird das Kühlen aktiviert. Zwischen diesen beiden Grenzen erfolgt keine Aktivität. Daraus resultiert immer eine leichte Abweichung vom Sollwert.<sup>64</sup>

#### 2.4.2.2 Stetige Regler

#### P-Regler (Proportionalregler)

Bei einem P-Regler wird die Regeldifferenz verstärkt und zurückgegeben. Es besteht ein linearer Zusammenhang zwischen Eingangsgröße und Ausgangsgröße. Somit ist der P-Regler der einfachste Regler, da dieser nur einen einstellbaren Parameter hat, welcher in der Praxis meist mit Hilfe einer Versuchsreihe eingestellt wird.<sup>65</sup>

Ein großer Nachteil ist jedoch die bleibende Regeldifferenz. Daher kann der Sollwert nur annäherungsweise erreicht werden. Ein weiterer Nachteil ist, dass der Regler sehr leicht instabil werden kann, das heißt, bei bereits sehr kleinen Regeldifferenzen und einem großen Verstärkungsfaktor, kann der Reglerausgang übersteuern respektive zu schwingen beginnen.<sup>66</sup>

#### I-Regler (Integralregler)

Bei einem I-Regler ist der Ausgleich der Regeldifferenz zu Null vollständig möglich. Dieser arbeitet so lange die Regelabweichung ungleich Null ist.<sup>67</sup>

Ein Nachteil ist die Integration der Regeldifferenz. Diese führt zu Regelkreisen mit langen Ausregelzeiten. Somit ist der I-Regler ein sehr langsamer, aber genauer Regler.<sup>68</sup>

#### D-Regler (Differentialregler)

Ein idealer D-Regler ist technisch nicht realisierbar, da die theoretische Sprungantwort eines Differentialelementes einem Dirac-Impuls (Einheitsimpuls) entspricht. Dies bedeutet, dass die Sprungantwort unendlich groß wäre. Aus diesem Grund gibt es keinen idealen D-Regler und dieser alleine kann somit nicht umgesetzt werden.<sup>69</sup> Der D-Regler kann nur in Verbindung mit einem Proportionalelement zur Verbesserung der Stabilität eingesetzt werden.<sup>70</sup>

<sup>66</sup> Val. Wellenreuther/Zastrow (2009), S. 604.

<sup>&</sup>lt;sup>64</sup> Vgl. Recknagel/Sprenger/Schramek (2012), S. 445 DVD.

<sup>&</sup>lt;sup>65</sup> Vgl. Schmid (2010), S. 244.

<sup>&</sup>lt;sup>67</sup> Vgl. Wellenreuther/Zastrow (2009), S. 604.

<sup>&</sup>lt;sup>68</sup> Vgl. Wellenreuther/Zastrow (2009), S. 605.

<sup>&</sup>lt;sup>69</sup> Vgl. Lutz/Wendt (2014), S. 154.

<sup>&</sup>lt;sup>70</sup> Vgl. Lutz/Wendt (2014), S. 157.

#### PI-Regler

Bei einem PI-Regler wird der Nachteil des I-Reglers, welcher sehr langsam ist, durch Vorschalten eines Proportionalanteils, welcher den Vorteil hat sehr schnell reagieren zu können, kompensiert. Der Nachteil des P-Reglers, welcher immer eine bleibende Regelabweichung hat, kann somit durch den I-Regler ebenso ausgeglichen werden.<sup>71</sup>

#### PD-Regler

Der PD-Regler ist eine Kombination eines einfachen P-Reglers und einem D-Regler. Daraus resultierend ist der PD-Regler ein sehr schneller Regler. Wird dem Regelkreis eine sprunghafte Funktion aufgeschaltet, würde ein normaler P-Regler im Gegensatz zu einem PD-Regler eine bestimmte Vorhaltezeit benötigen, um denselben Wert an die Stellgröße weitergeben zu können. Mit dem D-Anteil lässt sich dadurch die Zeitverzögerung der Regelstrecke kompensieren und es wird eine schnellere und stabilere Regelung erreicht. Nachteilig können aber Störsignale, wie zum Beispiel das Rauschen von Sensoren sein, welche durch die differenzierende Wirkung verstärkt werden und eine starke Änderung der Stellgröße zur Folge haben. Ein weiterer Nachteil ist eine verbleibende Regelabweichung. Der PD- Regler kann somit seinen Sollwert nicht vollständig erreichen.<sup>72</sup>

#### PID-Regler

Der PID-Regler ist eine Kombination der oben genannten Grundfunktionen- proportional, integral und differenzial in einem Regler. Somit sind sämtliche Eigenschaften der Funktionen vereint.

Nachteilig ist, dass für die Reglereinstellung drei Parameter einzustellen sind. Das würde bedeuten, dass zur Erprobung eines jeden Parameters mit fünf verschiedenen Werten, fünf mal fünf mal fünf, also 125 Erprobungen durchgeführt werden müssten. Daher werden in den meisten Fällen nur P- Regler oder PI-Regler verwendet.<sup>73</sup>

#### 2.4.3 Regelparameter

Um ein zufriedenstellendes Reglerergebnis zu erhalten, ist die Auswahl eines geeigneten, der zuvor genannten Reglertypen, ein wesentlicher Faktor. Jedoch noch wichtiger ist es, die passenden Parameter P, I und D, zu finden. Meist ist hierbei ein Kompromiss zwischen einer sehr stabilen, aber auch langsamen Regelung oder einem sehr schnellen, eher unruhigeren Regelverhalten einzugehen, welches unter Umständen zu schwingen neigt und instabil werden kann. In der Praxis werden Regler zumeist anhand von Erfahrungswerten von langjährigen Versuchen parametriert. Liegen jedoch diese nicht vor, muss das Streckenverhalten genauer analysiert werden, um anschließend mit Hilfe verschiedenster Auslegungsverfahren geeignete Reglerparameter festlegen zu können. <sup>74</sup>

<sup>&</sup>lt;sup>71</sup> Vgl. Schmid (2010), S. 245.

<sup>72</sup> Vgl. Wellenreuther/Zastrow (2009), S. 608.

<sup>&</sup>lt;sup>73</sup> Vgl. Schmid (2010), S. 245.

<sup>&</sup>lt;sup>74</sup> Vgl. Unbehauen (2014), S. 206.

Viele Prozesse aus der Industrie verhalten sich rein aperiodisch und können dadurch mathematisch vereinfacht, durch folgende Gleichung, beschrieben werden.<sup>75</sup>

		Größe	Einheit	Bezeichnung
$G(s) = \frac{K_s}{T_a s + 1} e^{-T_{\mathbf{u}} s}$	Formel 2.23	G Ks		Übertragungsfunktion stationäre Verstärkung
asir		$T_{ m a}$ $T_{ m u}$	S S	Verzögerungszeitkonstante Totzeit

Die Formel 2.23 stellt ein Verzögerungsglied 1. Ordnung mit einem Totzeitglied dar. Die Totzeit ist jene Zeit, welche vergeht, bis eine Reaktion auf eine Änderung eintritt.  $^{76}$  Ein PT<sub>n</sub>-Glied, wie in Abb. 22 gezeigt, kann ausreichend gut als ein PT<sub>1</sub> Glied mit einem Totzeitglied  $T_a$  approximiert werden, um die erforderlichen Parameter für eine Regelung berechnen zu können.  $^{77}$ 

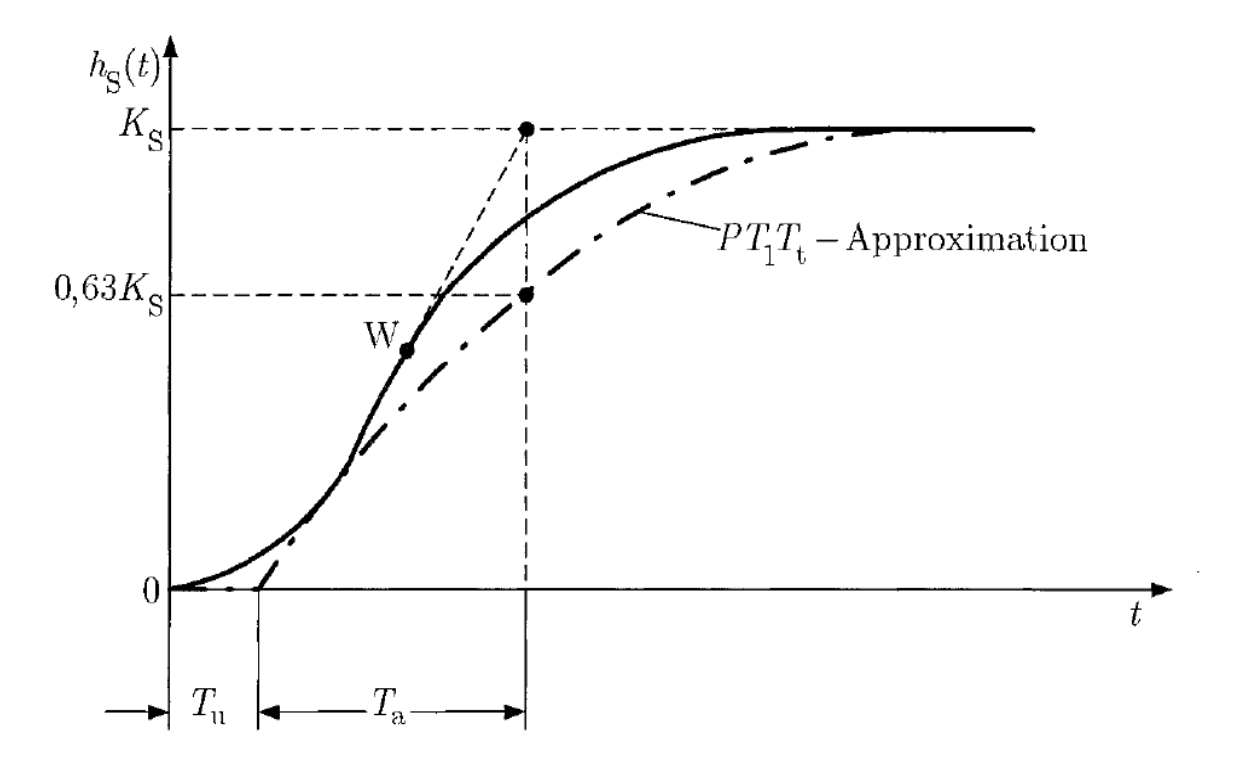


Abb. 22: Sprungantw ort eines Systems, Quelle: Unbehauen (2008), S. 207.

Um die Konditionieranlage für die Regelungstechnikabteilung analysieren zu können, muss eine Sprungantwort vorliegen. Der gemessene Wert der Totzeit, der Verzögerungszeitkonstante und der stationären Verstärkung, dienen den Regelungsexperten dazu, die passenden Parameter finden zu können. Dazu werden die nötigen Versuche an einem Prototyp durchgeführt.

<sup>76</sup> Vgl. Wellenreuther/Zastrow (2009), S. 599.

<sup>&</sup>lt;sup>75</sup> Vgl. Unbehauen (2008), S. 206.

<sup>&</sup>lt;sup>77</sup> Vgl. Unbehauen (2008), S. 206.

#### 2.4.4 Arten von Temperaturregelung

Laut Literatur kann die Temperatur durch Änderung des Volumenstroms (Mengenregelung), durch Mischung oder durch Verteilung eines Fluides geregelt werden. Eine andere Möglichkeit der Temperaturbeeinflussung, ist die Regelung durch Änderung der elektrisch zugeführten Leistung in einem Heiz- oder Kühlelement. <sup>78</sup>

Der Volumenstrom kann entweder durch ein Durchgangsventil oder durch Änderung der Pumpenförderleistung, zum Beispiel durch Änderung der Drehzahl, wie in Kapitel 2.1.5.1 beschrieben, beeinflusst werden.

Ventile können, wie in Abb. 23 gezeigt, entweder im Vorlauf oder im Rücklauf eingebaut werden.

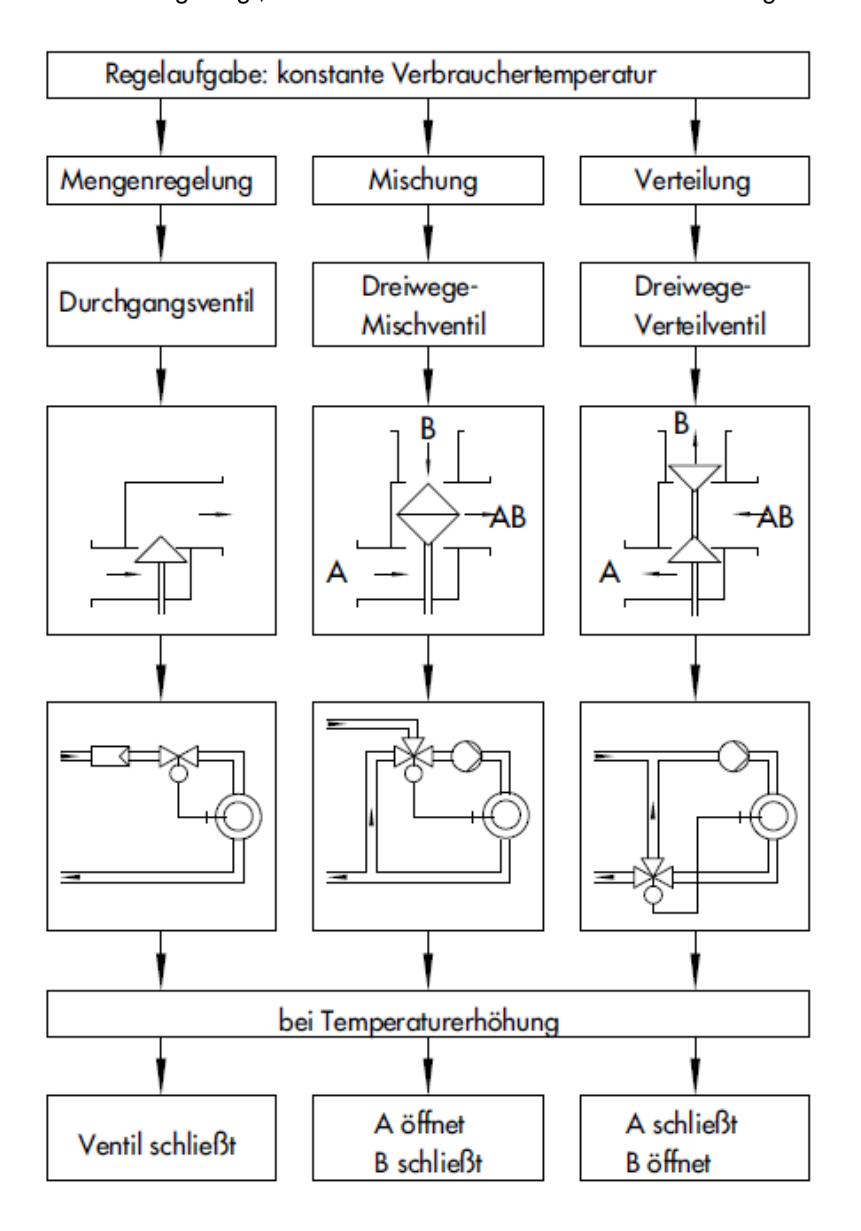


Abb. 23: Möglichkeiten der Temperaturbeeinflussung durch Ventile, Quelle: Samson (2007) S. 26.

<sup>&</sup>lt;sup>78</sup> Vgl. Samson (2007), S. 24.

### Grundlagen

Bei der Mischung strömt der gesamte Volumenstrom durch den Eingang B, wie in Abb. 24 dargestellt, über einen Kegelsitz zum Ausgang AB. Der Eingang A ist hier vollkommen geschlossen. Wirkt eine Antriebskraft auf die Kegelstange, so fährt der Kegelsitz wie durch den Regler vorgegeben, in Richtung Endlage und drosselt den Eingang A vice versa öffnet kontinuierlich der Eingang B.<sup>79</sup>

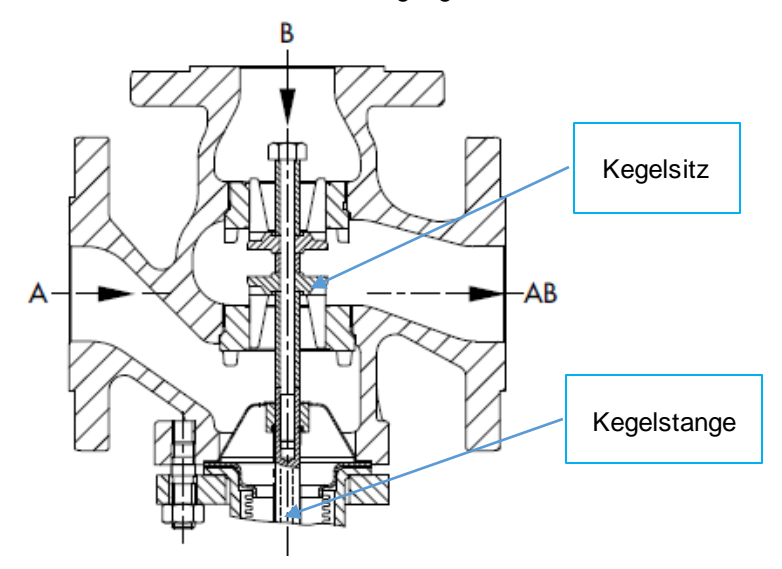


Abb. 24: Mischventil, Quelle: Samson (2007) S. 24 (leicht modifiziert).

Bei einer Verteilung strömt der gesamte Volumenstrom, wie in Abb. 25 abgebildet, in den Anschluss AB und verteilt sich auf die Ausgänge A oder B, je nach Stellung des Kegelsitzes.<sup>80</sup>

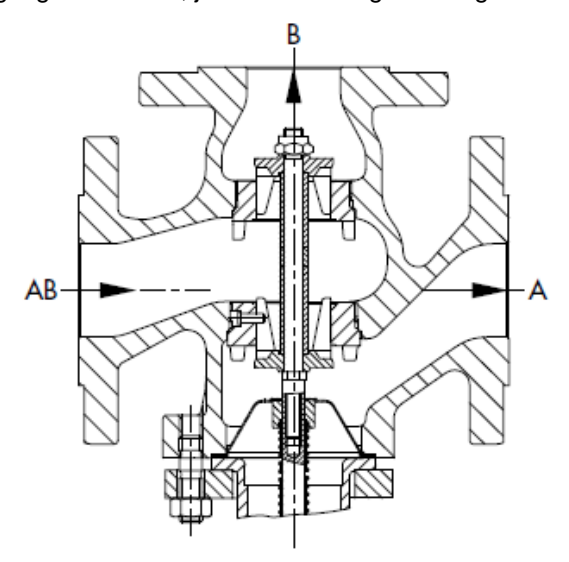


Abb. 25: Verteilventil, Quelle: Samson (2007) S. 25.

Ein Durchgangsventil ist ähnlich wie ein Misch- oder Verteilventil, welche auch 3-Wegeventile genannt werden, aufgebaut. Es wird der Eingang B entweder verschlossen oder überhaupt nicht gefertigt.

80 Vgl. Samson (2007), S. 24.

30

<sup>&</sup>lt;sup>79</sup> Vgl. Samson (2007), S. 24.

# 3 KONZEPTE FÜR DEN FLUIDKREISLAUF

In diesem Kapitel werden verschiedene Konzepte für eine dynamische Konditionieranlage erarbeitet und durch ein Team nach definierten Kriterien bewertet, um anschließend ein Konzept weiter zu verfolgen, einen Prototyp zu konstruieren sowie fertigen zu können.

Das Grundkonzept einer Konditionieranlage besteht im Wesentlichen aus einem Heizelement – um die Wärme bereitzustellen, einem Kühlelement – um die Wärme abzuführen, einem Mischelement – um die gewünschte Temperatur mischen zu können sowie einem Prüfling, dem diese Temperatur zugeführt wird.

In Abb. 26 ist der Grundaufbau einer Konditionieranlage schematisch dargestellt. Blau dargestellt ist die Leitung des kalten Mediums, rot ist die Leitung des heißen Mediums dargestellt und violett die Leitung des gemischten Mediums. Das Problem bei diesem Aufbau ist jedoch, dass sich die Konditionieranlage meist im Keller oder in einem separaten Geräteraum befindet und somit sehr weit vom Prüfling entfernt ist. Daraus resultiert eine sehr lange Leitung bis zum Prüfling, wodurch eine gewisse Zeit vergeht, bis das gemischte Medium bei dem Prüfling angekommen ist. Diese Zeit wird Totzeit genannt. Bei stationärem Betrieb verursacht diese Totzeit keine wesentlichen Probleme bei der Regelung. Wird jedoch vice versa eine dynamische Änderung der Temperatur gefordert, wirkt sich die Totzeit negativ auf die Regelung aus. Die eingeregelte Temperatur nach dem Mischelement, gelangt zeitverzögert zum Prüfling. Somit können keine realen Bedingungen nachgestellt werden.

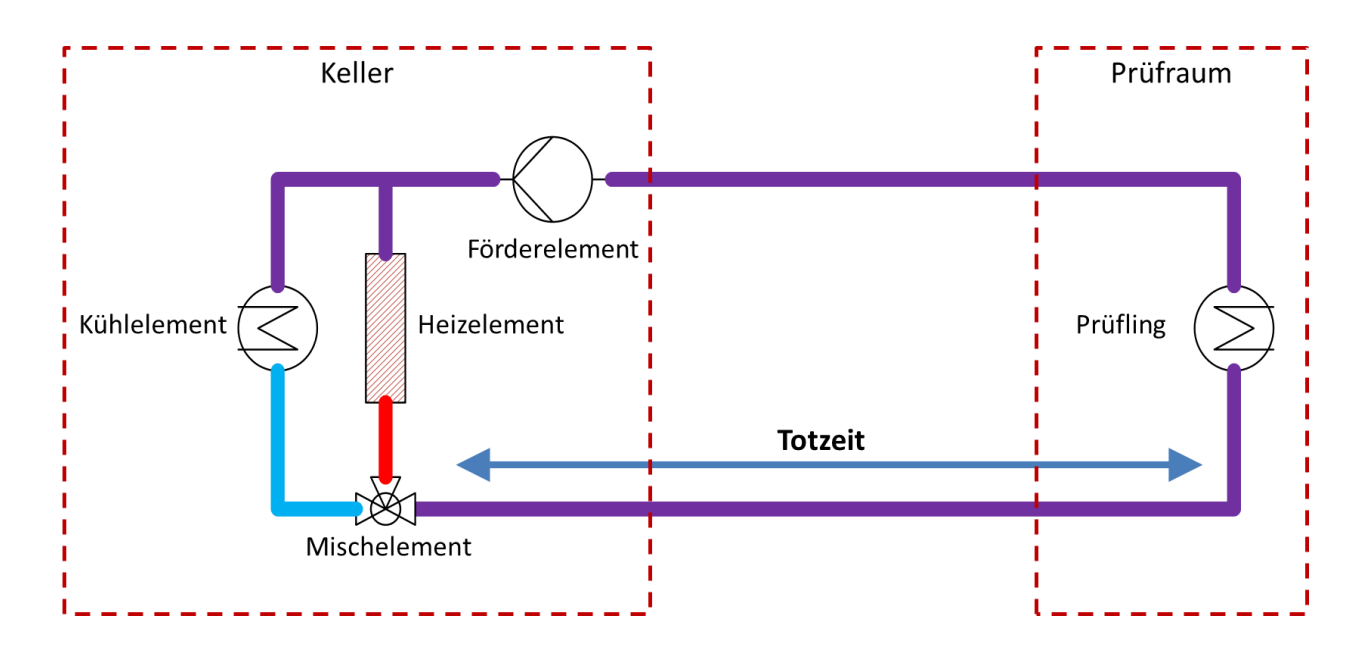


Abb. 26: Grundschema einer einfachen Konditionieranlage, Quelle: Eigene Darstellung.

In Abb. 27 ist ein realer Aufbau eines Prüfraumes dargestellt. Hier befindet sich die Konditionieranlage, wie zuvor beschrieben, im Keller. Die grün eingezeichnete Verbindung, welche die Vor- und Rücklaufleitung zum Prüfling darstellt, hat eine Länge von 15 m, wodurch sich laut Formel 2.4 bei einem Volumenstrom von 30 l/min und einem Rohrinnendurchmesser von 18 mm, eine Verzögerung von 7,63 Sekunden ergibt.

$$\Delta t = \frac{d^2 \cdot \pi \cdot \Delta l}{4 \cdot \dot{V}} = \frac{\pi \cdot (18 \cdot 10^{-3} \text{ m})^2 \cdot 15 \text{ m}}{4 \cdot 30 \cdot 10^{-3} \text{ m}^3 \cdot (60 \text{ s})^{-1}} = 7,63 \text{ s}$$

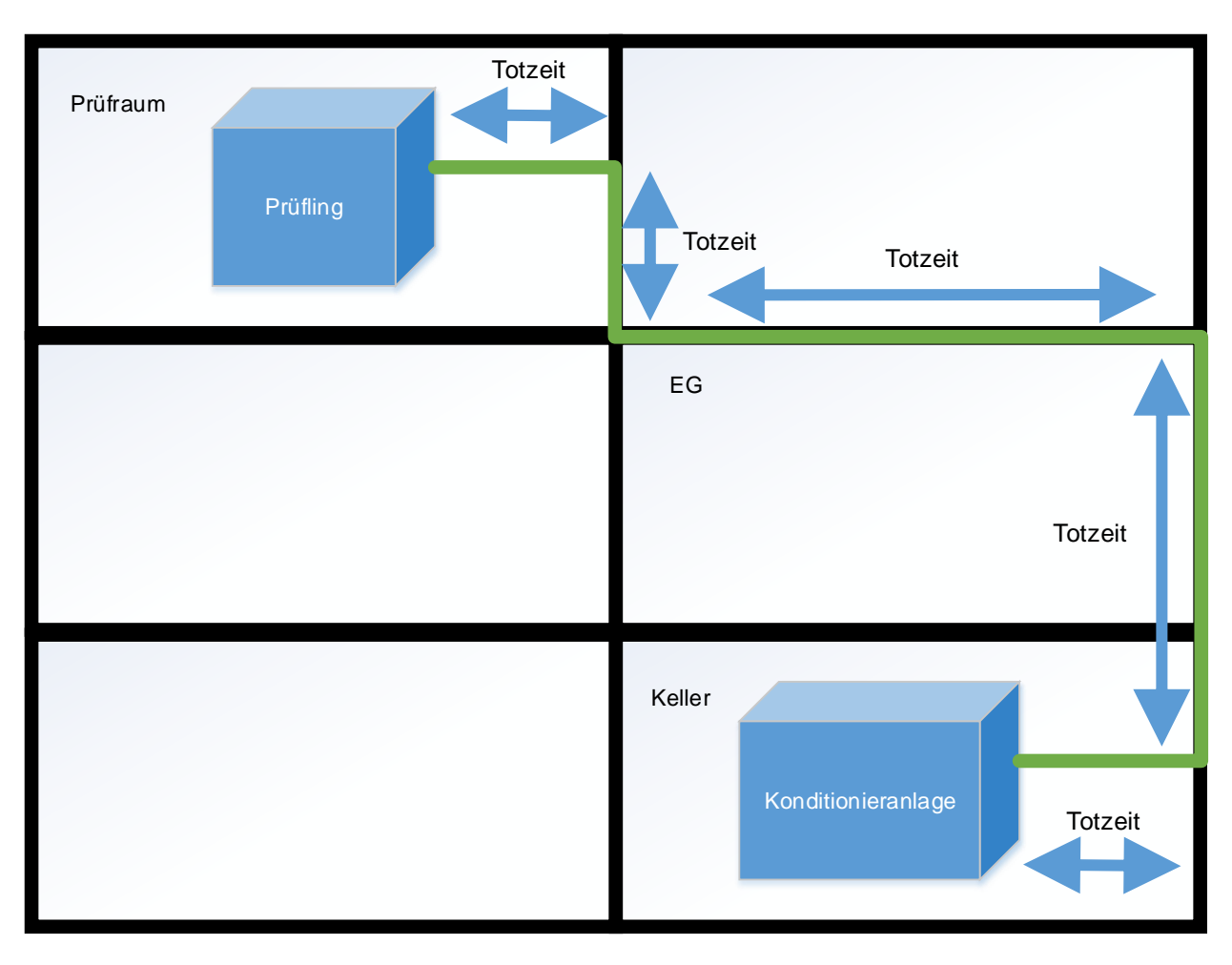


Abb. 27: Modell eines realen Prüfaufbaus, Quelle: Eigene Darstellung.

### Konzepte für den Fluidkreislauf

Um die Totzeit zu minimieren, ist es somit unumgänglich, das Mischelement, wie in Abb. 28 dargestellt, so nahe wie möglich am Prüfling zu platzieren. Hierbei entsteht allerdings ein neues Problem. Bei längerer Nichtbenutzung des warmen oder kalten Mediums, verliert die lange Leitung bis hin zum Prüfraum an Temperatur. Es entsteht wiederum eine neue Totzeit zwischen dem Heiz- oder Kühlelement und dem Mischelement und somit wieder eine zeitliche Verzögerung bis zum Prüfling.

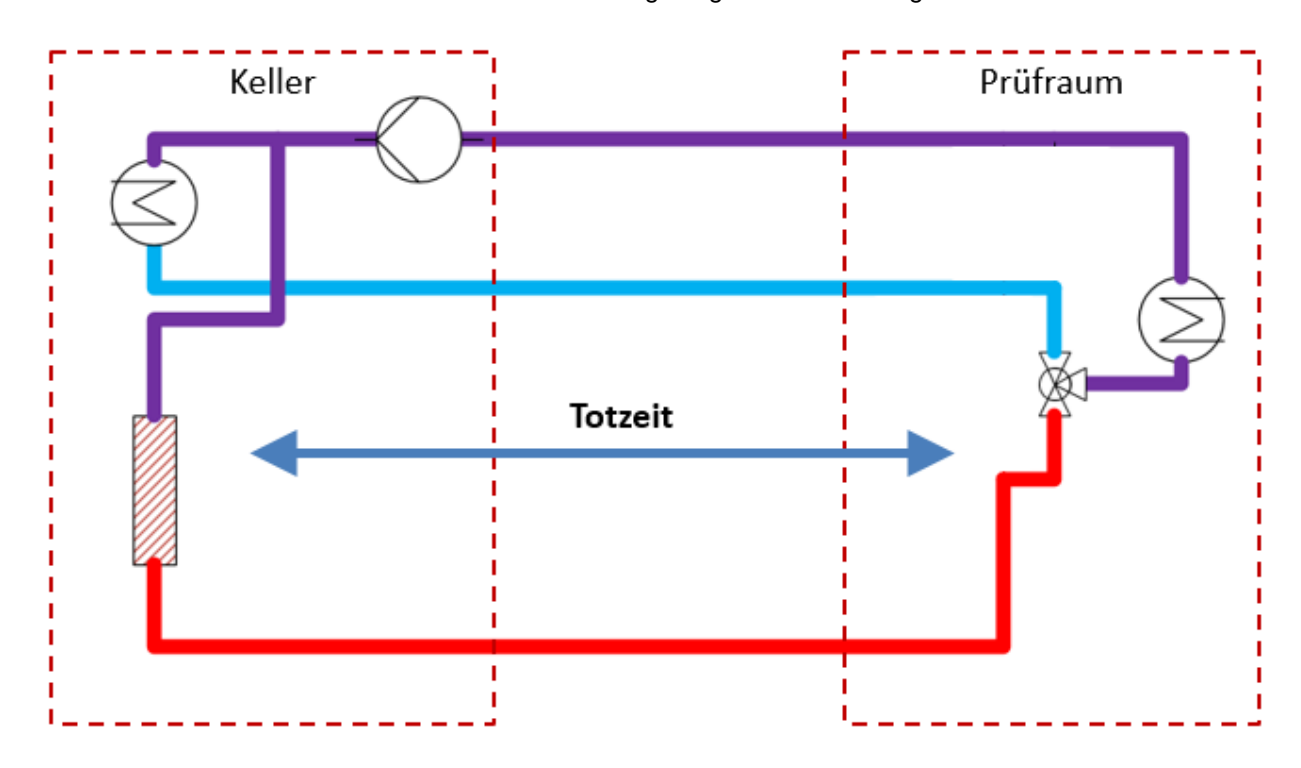


Abb. 28: Grundschema einer einfachen Konditionieranlage – Mischelement am Prüfling, Quelle: Eigene Darstellung.

Angenommen, eine nicht isolierte Leitung würde 2 Stunden nicht benötigt werden, das heißt, das Medium würde in der Rohrleitung stagnieren und somit nach einer bestimmten Zeit, laut folgender Gleichung, abkühlen.

$$\dot{Q} = -\frac{dQ}{dt}$$
 ==>  $k \cdot A \cdot (T - T_u) = -\frac{m \cdot c \cdot dT}{dt}$ 

$$dt = -\frac{m \cdot c \cdot dT}{k \cdot A \cdot (T - T_u)} \qquad ==> \quad \int_{t_0}^t dt = -\frac{m \cdot c}{k \cdot A} \cdot \int_{t_0}^t \frac{dT}{(T - T_u)} \cdot dt$$

$$t = -\frac{m \cdot c}{k \cdot A} \cdot \ln|T - T_u| + c_k$$

Um das unbestimmte Integral lösen zu können, muss die Integrationskonstante  $c_k$ , durch Einsetzen bekannter Werte bestimmt werden. Als Randbedingung gilt:  $t=0 \Rightarrow T=T_A$ 

Konzepte für den Fluidkreislauf

Durch Umformen der Gleichung folgt:

$$c_k = \frac{m \cdot c}{k \cdot A} \cdot \ln|T_A - T_u|$$

Nun kann die bestimmte Integrationskonstante  $c_k$ in die Ausgangsgleichung eingesetzt werden.

$$t = -\frac{m \cdot c}{k \cdot A} \cdot \ln|T - T_u| + \frac{m \cdot c}{k \cdot A} \cdot \ln|T_A - T_u|$$

$$t = \frac{m \cdot c}{k \cdot A} \cdot (\ln|T_A - T_u| - \ln|T - T_u|) = \frac{m \cdot c}{k \cdot A} \cdot \ln\left|\frac{T_A - T_u}{T - T_u}\right|$$

Um die Temperatur Tnach einer bestimmten Zeit berechnen zu können, muss die Gleichung wie folgt umgeformt werden:

$$t\frac{k \cdot A}{m \cdot c} = \ln \left| \frac{T_A - T_u}{T - T_u} \right| \quad ==> \quad e^{-t\frac{k \cdot A}{m \cdot c}} = \frac{T - T_u}{T_A - T_u}$$

$$T_t = e^{-t\frac{k \cdot A}{m \cdot c}} \cdot (T_A - T_u) + T_u$$

Um den Wert für k berechnen zu können, werden die Werte für  $\alpha_I$ ,  $\alpha_2$  Tabelle 2.2 und  $\lambda$  aus Tabelle 2.1 entnommen und in die Formel 2.20 eingesetzt.

$$k = \frac{1}{\frac{1}{\alpha_1} + \frac{d_a}{\alpha_2 \cdot d_i} + \frac{d_a}{2 \cdot \lambda} \cdot \ln \frac{d_a}{d_i}}$$

$$k = \frac{1}{\frac{1}{700 \text{ W} \cdot \text{m}^{-2} \cdot \text{K}^{-1}} + \frac{22 \cdot 10^{-3} \text{m}}{15 \text{W} \cdot \text{m}^{-2} \cdot \text{K}^{-1} \cdot 18 \cdot 10^{-3} \text{m}} + \frac{22 \cdot 10^{-3} \text{m}}{2 \cdot 15 \text{W} \cdot \text{m}^{-1} \cdot \text{K}^{-1}} \cdot \ln \frac{22 \cdot 10^{-3} \text{m}}{18 \cdot 10^{-3} \text{m}}}$$

$$k = 12 \, \text{I} \cdot \text{s}^{-1} \cdot \text{m}^{-1} \cdot \text{K}^{-1}$$

Wird nun für die Ausgangstemperatur  $T_A$ = 383,15 K, das entspricht einer Temperatur von 110 °C und für die Umgebungstemperatur  $T_U$ = 293,15 K, das entspricht einer Temperatur von 20 °C, eingesetzt, so ergibt sich aus der Gleichung nach einer Zeit von 20 Minuten, eine Temperatur von 324,75 K, das entspricht einer Temperatur von 51 °C.

$$e^{-x} = e^{-t\frac{k\cdot A}{m\cdot c}}$$

$$x = t \frac{k \cdot A}{m \cdot c} = 20 \cdot 60 \text{ s} \frac{12 \text{ J} \cdot \text{s}^{-1} \cdot \text{m}^{-2} \cdot \text{K}^{-1} \cdot 22 \cdot 10^{-3} \text{ m} \cdot \pi \cdot 30 \text{ m}}{(9 \cdot 10^{-3} \text{m})^2 \cdot \pi \cdot 30 \text{ m} \cdot 1097 \text{ kg} \cdot \text{m}^{-3} \cdot 3400 \text{ J} \cdot \text{kg}^{-1} \text{K}^{-1}} = 1,044$$

$$T_{20min} = e^{-x} \cdot (T_A - T_u) + T_u = e^{-1,044} \cdot (383,15 \text{K} - 293,15 \text{K}) + 293,15 \text{K} = 324,75 \text{ K}$$

In Abb. 29 ist die Temperaturänderung über der Zeit dargestellt. Wie bei einer negativen e- Funktion üblich, ist der am Anfang starke Abfall der Temperatur deutlich zu erkennen, welcher sich jedoch mit der Zeit langsam an die Umgebungstemperatur annähert.

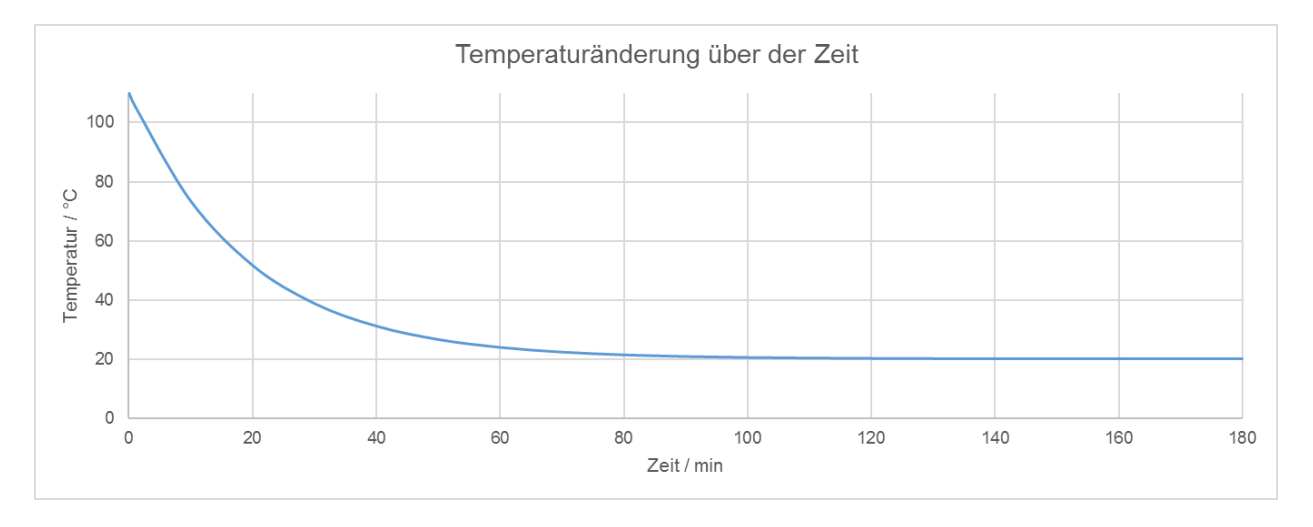
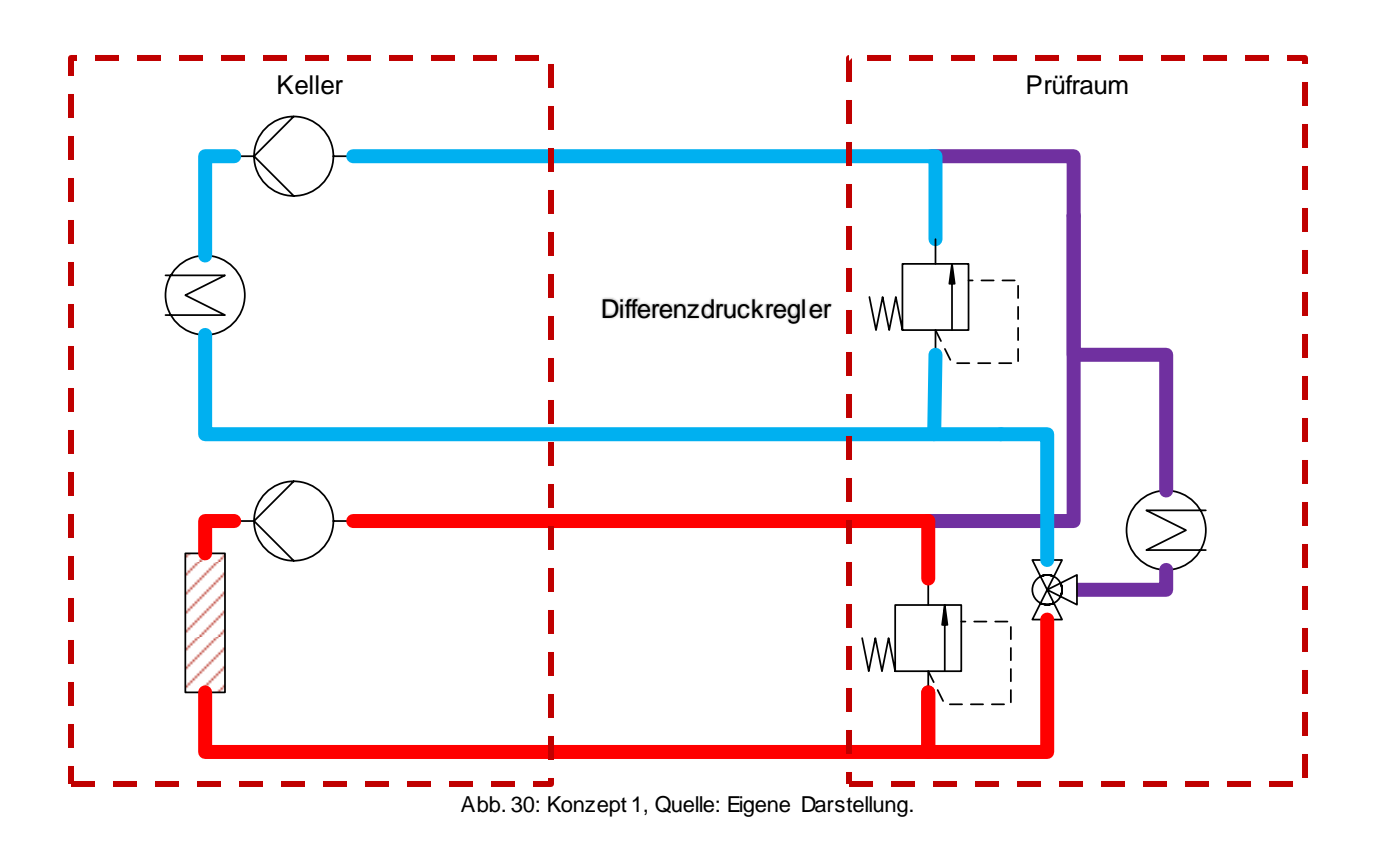


Abb. 29: Wärmeverlust einer Rohrleitung, Quelle: Eigene Darstellung.

Um das Problem der Totzeit sowie des Temperaturverlustes in den Leitungen lösen zu können, werden in den folgenden Unterpunkten mögliche Konzepte erarbeitet, bewertet und anschließend ein Konzept für eine dynamische Konditionieranlage weiterverfolgt.

# 3.1 Konzept1

Für das erste Konzept werden, wie in Abb. 30 dargestellt, zwei Förderelemente eingesetzt, welche das Medium ebenso bei Nichtverwendung bis zum Mischelement im Kreis, über einen Bypass, zirkulieren lassen. Um einen konstanten Volumenstrom im Zirkulationskreislauf zu generieren, wird je ein Differenzdruckregler nahe am Mischelement verbaut. Dieser wird so eingestellt, dass der Verlust der Temperatur bei Nichtverwendung des Mediums, durch einen kleinen Volumenstrom, kompensiert wird. Daraus resultierend ist das Konzept sehr energieeffizient. Nachteilig sind jedoch der erhöhte Installationsaufwand von vier Hauptleitungen sowie die Notwendigkeit von zwei Hauptförderelementen.



Vorteile	Nachteile				
Dynamische Regelung möglich	Erhöhter Installationsaufwand				
Geringer Energieverbrauch	<ul><li>Zwei Förderelemente</li><li>Vier Leitungen</li></ul>				

Tabelle 3.1: Vor- und Nachteile Konzept 1, Quelle: Eigene Darstellung.

# 3.2 Konzept 2

Das zweite Konzept besitzt zwei kleine Förderelemente, welche eine Zirkulation der zwei Kreisläufe gewährleisten und nur ein Hauptförderelement. Die zwei kleinen Förderelemente können mit einer sehr niedrigen Leistung dimensioniert sein, da nur eine geringe Zirkulation benötigt wird, um den Temperaturverlust über die Leitungen zu kompensieren. Das Hauptförderelement ist für den gesamten Kreislauf ausgelegt. Die Vorteile an diesem Konzept sind ein ebenso geringer Energieverbrauch und die Notwendigkeit von nur einem Element im Prüfraum. Außerdem werden nur drei Hauptleitungen und ein Hauptförderelement benötigt. Nachteilig ist der erhöhte Installationsaufwand von insgesamt fünf Leitungen. Für die Zirkulationsrückleitung werden zusätzlich zwei, jedoch kleinere Leitungen sowie zwei weitere kleine Förderelemente benötigt, wodurch hohe Kosten entstehen.

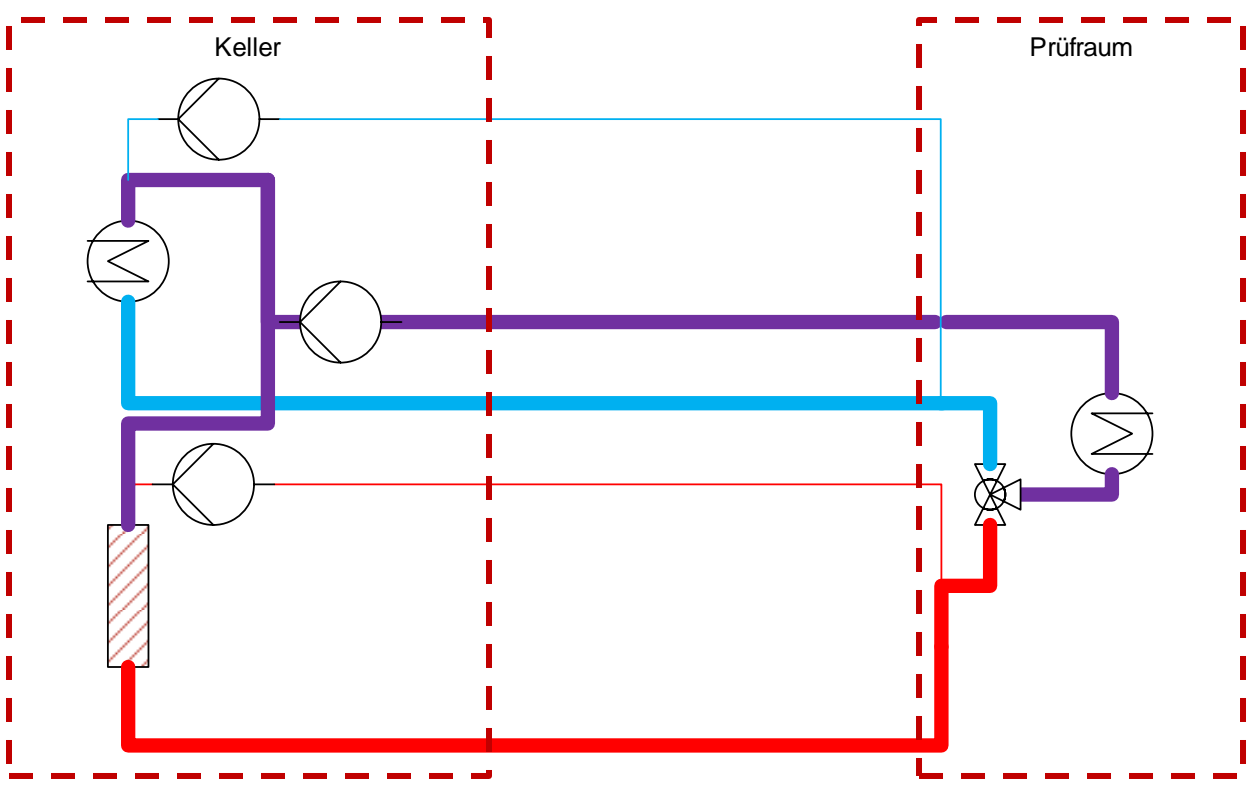


Abb. 31: Konzept 2, Quelle: Eigene Darstellung.

Vorteile	Nachteile		
Dynamische Regelung möglich	Drei Förderelemente		
Geringer Energieverbrauch	Fünf Leitungen		
Nur ein Element im Prüfraum	Erhöhter Installationsaufwand		
	Hohe Kosten		

Tabelle 3.2: Vor- und Nachteile Konzept 2, Quelle: Eigene Darstellung.

# 3.3 Konzept3

Im dritten Konzept muss nur ein Förderelement zum Einsatz kommen. Durch die Erweiterung um zwei kostengünstige Drosselelemente, kann ein kleiner Zirkulationskreislauf gewährleistet werden. Zudem kann eine gemeinsame Rückleitung genutzt werden. Nachteilig ist der erhöhte Energieverbrauch durch die gemeinsame Rückleitung. Im Zirkulationskreis muss dann nicht nur der Temperaturverlust über die Leitungen kompensiert werden, ebenso muss zusätzliche Energie aufgewendet werden, um die vermischte Rücklauftemperatur wieder auf den gewünschten Sollwert des jeweiligen Kreislaufes zu bekommen.

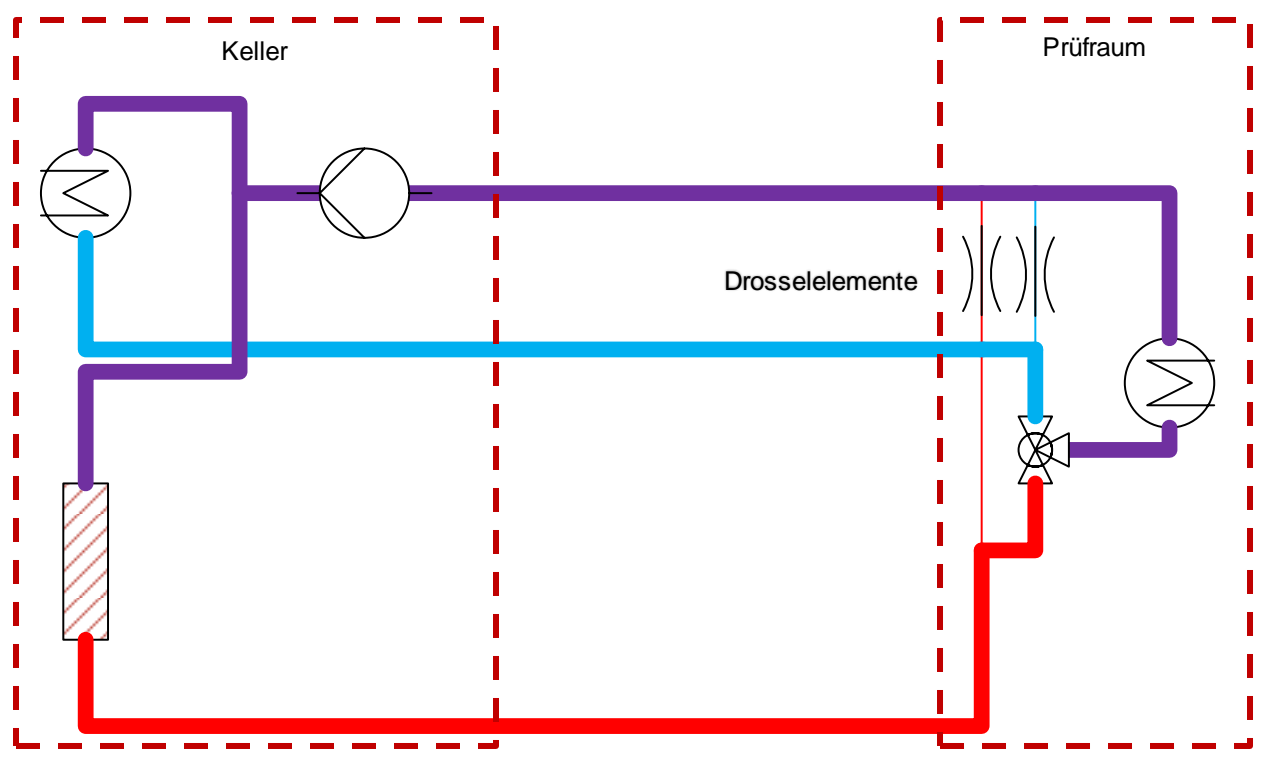


Abb. 32: Konzept 3, Quelle: Eigene Darstellung.

Vorteile	Nachteile				
Dynamische Regelung möglich	Erhöhter Energieverbrauch durch				
Drei Leitungen	gemeinsame Rückleitung				
Kostengünstige Elemente					

Tabelle 3.3: Vor- und Nachteile Konzept 3, Quelle: Eigene Darstellung.

# 3.3.1 Konzept 3.1

Um die Energieeffizienz zu steigern, wird das Konzept 3 um zwei Absperrelemente erweitert. Sobald eine Mischtemperatur benötigt wird, können die Zirkulationskreisläufe über diese geschlossen werden. Das warme und das kalte Medium in den Leitungen zum Mischelement zirkulieren über den Hauptkreis, wodurch kein Temperaturverlust vor dem Mischelement kompensiert werden muss.

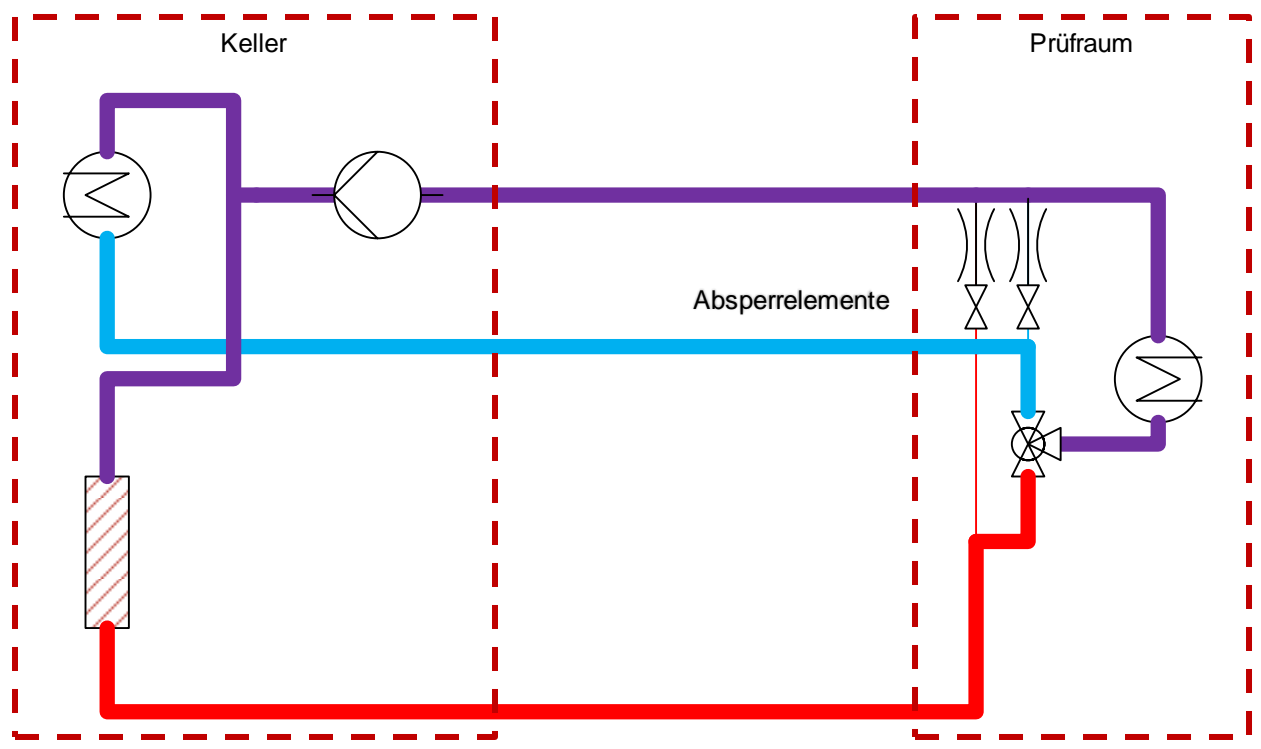


Abb. 33: Konzept 3.1, Quelle: Eigene Darstellung.

Vorteile	Nachteile					
Dynamische Regelung möglich	Erhöhter Energieverbrauch durch					
Drei Leitungen	gemeinsame Rückleitung					
Kostengünstige Elemente						
Energieersparnis durch Abschaltelemente						

Tabelle 3.4: Vor- und Nachteile Konzept 3.1, Quelle: Eigene Darstellung.

### 3.3.2 Konzept 3.1.1

Zur weiteren Steigerung der Energieeffizienz, wird das Konzept 3.1 durch ein kleines Förderelement nahe dem Prüfling erweitert. Das Mischelement wird durch zwei Durchgangselemente ersetzt. Somit wird immer nur die benötigte Temperatur des jeweiligen Zirkulationskreislaufes hinzugegeben. Nachteilig jedoch ist, dass für ein weiteres Förderelement sowie zwei Durchgangselemente, viel Platz im Prüfraum benötigt wird.

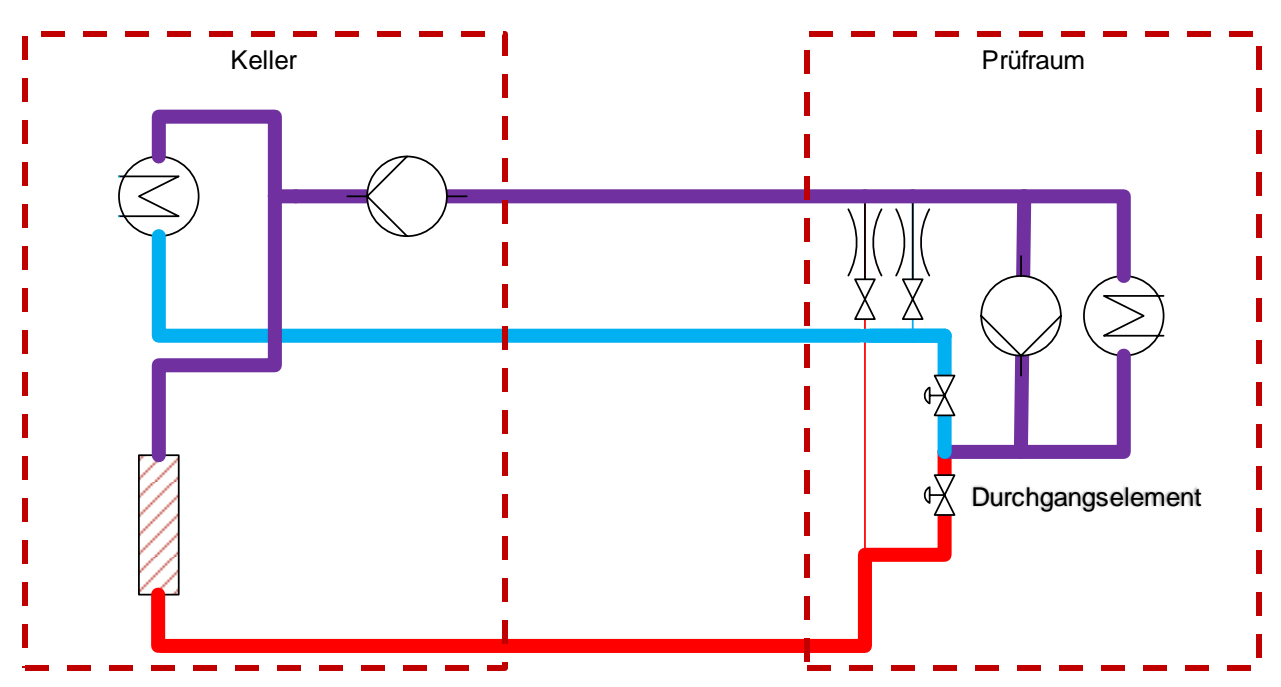


Abb. 34: Konzept 3.1.1, Quelle: Eigene Darstellung.

Vorteile	Nachteile			
Dynamische Regelung möglich	Viele Komponenten im Prüfraum			
Drei Leitungen	Zwei Förderelemente			
Energieeffizient	Zwei Durchgangselemente			
	Hohe Kosten			

Tabelle 3.5: Vor- und Nachteile Konzept 3.1.1, Quelle: Eigene Darstellung.

### 3.3.3 Konzept 3.2

Dieses Konzept beinhaltet, wie in Konzept 2 erläutert, zwei kleine Förderelemente. Das Hauptförderelement befindet sich im Prüfraum. Die Energieeffizienz wird, wie in Konzept 3.1.1 beschrieben, gesteigert. Es wird immer nur die benötigte Temperatur des jeweiligen Zirkulationskreislaufes hinzugegeben. Die zwei Durchgangselemente werden durch ein Mischelement und zwei Absperrventile substituiert. Der Nachteil an diesem Konzept ist ebenso der benötigte Platz des Hauptförderelementes im Prüfraum sowie die schwierige Reglung durch große Unterschiede der Druckabfälle im kleinen Kreis zwischen Mischelement und Prüfling sowie im Hauptkreis zwischen Prüfling und Keller.

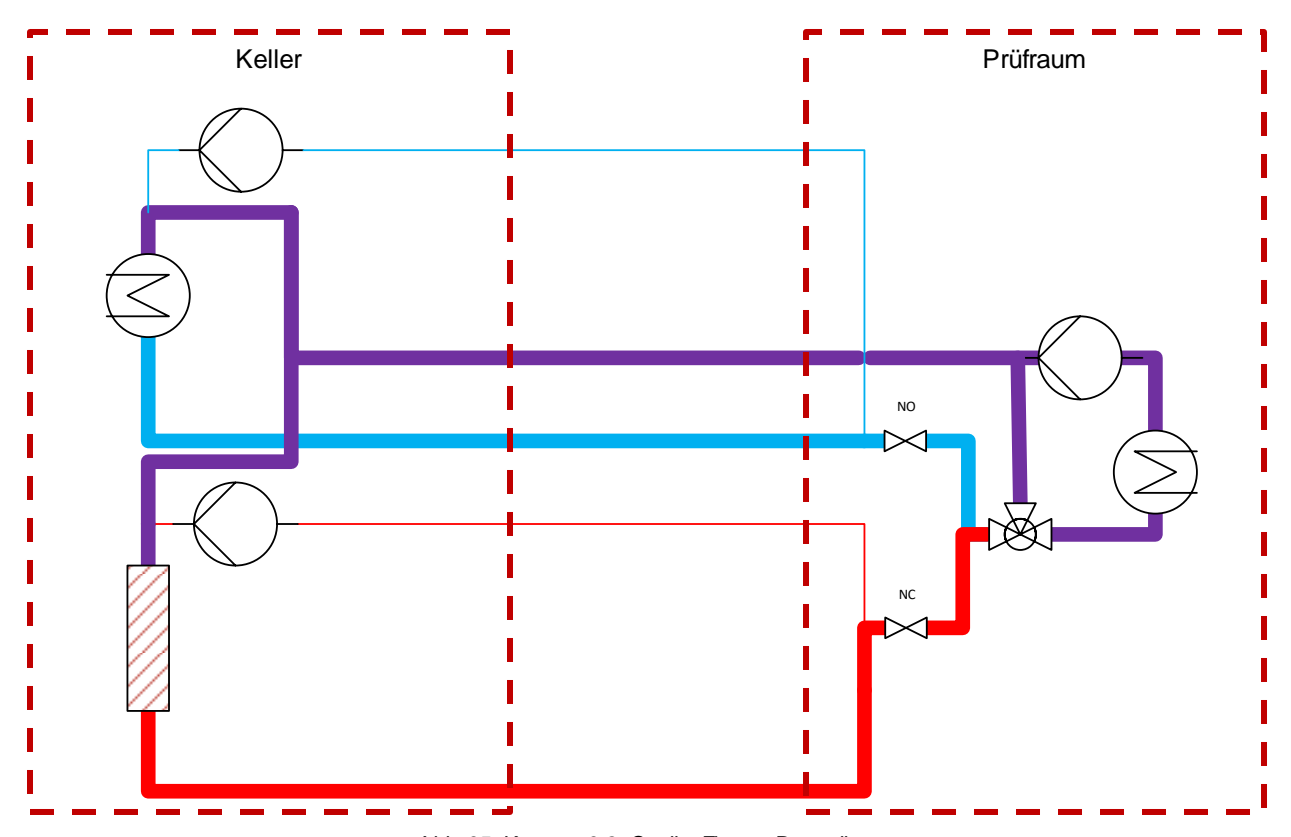


Abb. 35: Konzept 3.2, Quelle: Eigene Darstellung.

Vorteile	Nachteile		
Dynamische Regelung möglich	Erhöhter Installationsaufwand		
Energieeffizient	<ul> <li>Großes Förderelement im Prüfraum</li> </ul>		
	Drei Förderelemente		
	Hohe Kosten		
	Schwer zu Regeln		

Tabelle 3.6: Vor- und Nachteile Konzept 3.2, Quelle: Eigene Darstellung.

# 3.3.4 Konzept 3.3

Das Konzept 3.3 ergänzt das Konzept 3.1 durch zwei weitere Absperrventile. Des Weiteren wird ein kleines Förderelement nahe dem Prüfling, wie in Konzept 3.2 beschrieben, benötigt. Der Nachteil dieses Konzeptes liegt ebenso an dem benötigten Platz im Prüfraum sowie bei der schwierigen Regelung wie in Konzept 3.2 beschrieben.

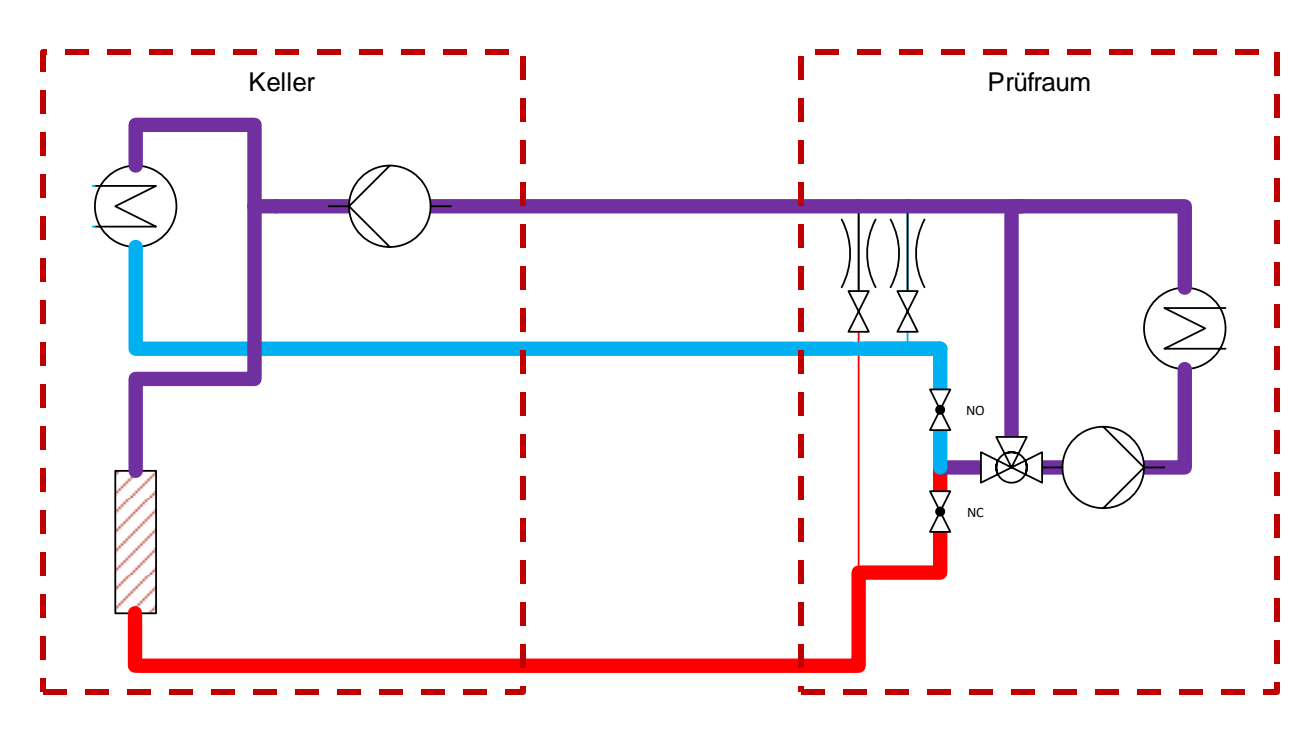


Abb. 36: Konzept 3.3, Quelle: Eigene Darstellung.

Vorteile	Nachteile
Dynamische Regelung möglich	Erhöhter Installationsaufwand
Energieeffizient	<ul> <li>Großes Förderelement im Prüfraum</li> </ul>
	Drei Förderelemente
	Hohe Kosten
	Schwer zu Regeln

Tabelle 3.7: Vor- und Nachteile Konzept 3.3, Quelle: Eigene Darstellung.

# 3.4 Konzept 4

Eine völlig andere Möglichkeit die Temperatur zu Mischen ist das Konzept 4. Vier Förderelemente ersetzen die zuvor verwendeten Mischelemente. Um die Temperatur mischen zu können, werden die beiden grünen und orangen Förderelemente gegengleich gesteuert. Laufen die beiden grünen Förderelemente zum Beispiel mit 90% ihrer Leistung und die beiden orangen Förderelemente mit 10% ihrer Leistung, entsteht ein Mischverhältnis von 80 zu 20 von kalt zu warm. Die Förderelemente im Zirkulationskreis haben ebenso nur die Aufgabe, wie in Konzept 2 beschrieben, den Temperaturverlust zu kompensieren. Um ein Rückwärtsströmen des Mediums zu verhindern, müssen die beiden Hauptförderelemente so geregelt werden, dass immer ein Gegendruck entsteht. Zudem müssen die beiden kleineren Zirkulationselemente so angesteuert werden, dass immer nur der Temperaturverlust über die Leitungen kompensiert wird. Daraus resultiert eine sehr komplexe Reglung und es entstehen hohe Kosten durch vier Förderelemente und den zugehörigen Komponenten zur Regelung des Volumenstroms.

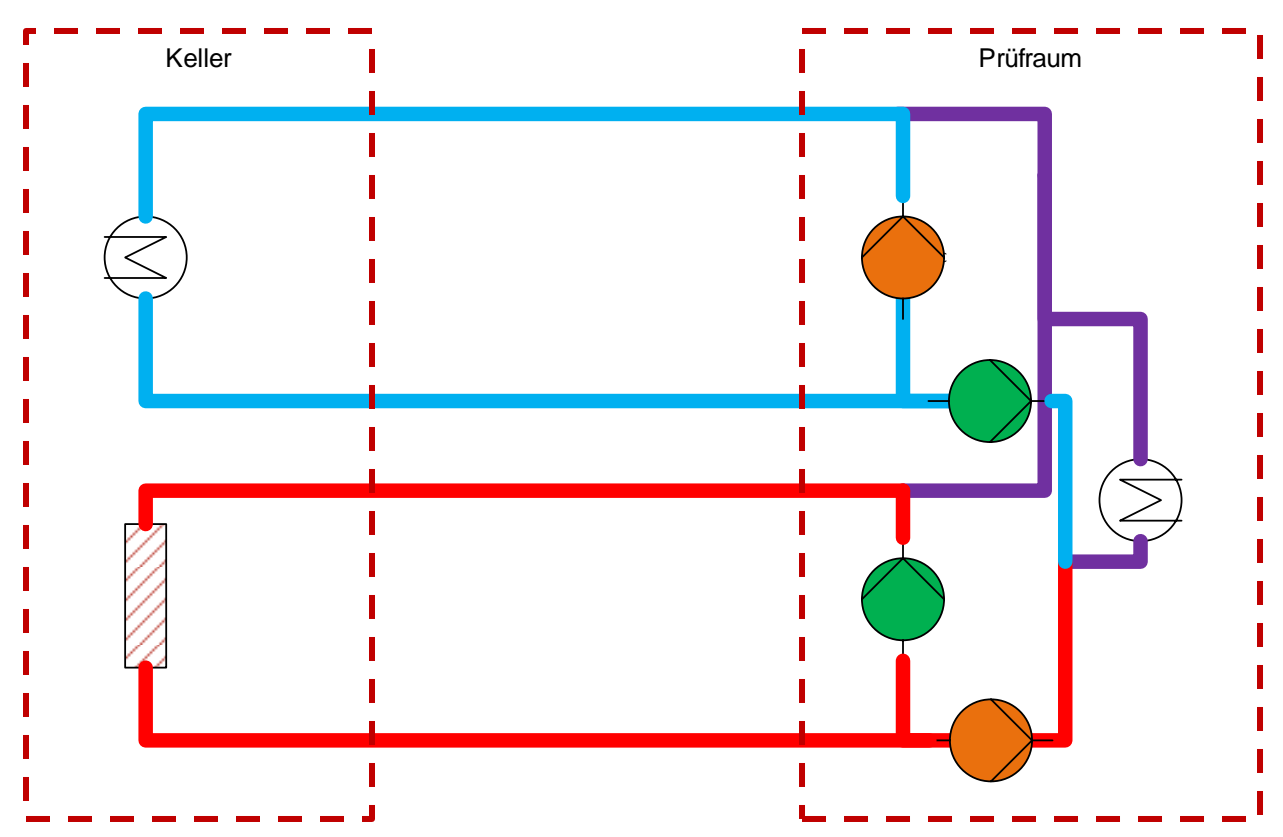


Abb. 37: Konzept 4, Quelle: Eigene Darstellung.

Vorteile	Nachteile		
Dynamische Regelung möglich	Erhöhter Installationsaufwand		
Energieeffizient	Großes Förderelement im Prüfraum		
	Drei Förderelemente		
	Hohe Kosten		
	Schwer zu Regeln		

Tabelle 3.8: Vor- und Nachteile Konzept 4, Quelle: Eigene Darstellung.

# 3.5 Konzept 5

Konzept 5 basiert auf Konzept 1, wobei die zwei Mischelemente den Platz der beiden Differenzdruckregler einnehmen. Diese haben zugleich die Aufgabe den Zirkulationskreis aufrecht zu erhalten sowie des Mischens der geforderten Temperatur für den Prüfling. Der Vorteil an diesem Konzept ist ebenso die Energieeffizienz wie in Konzept 1 beschrieben. Nachteile sind wiederum der benötige Platz im Prüfraum sowie die Notwendigkeit von zwei Hauptförderelementen, welche hohe Kosten verursachen.

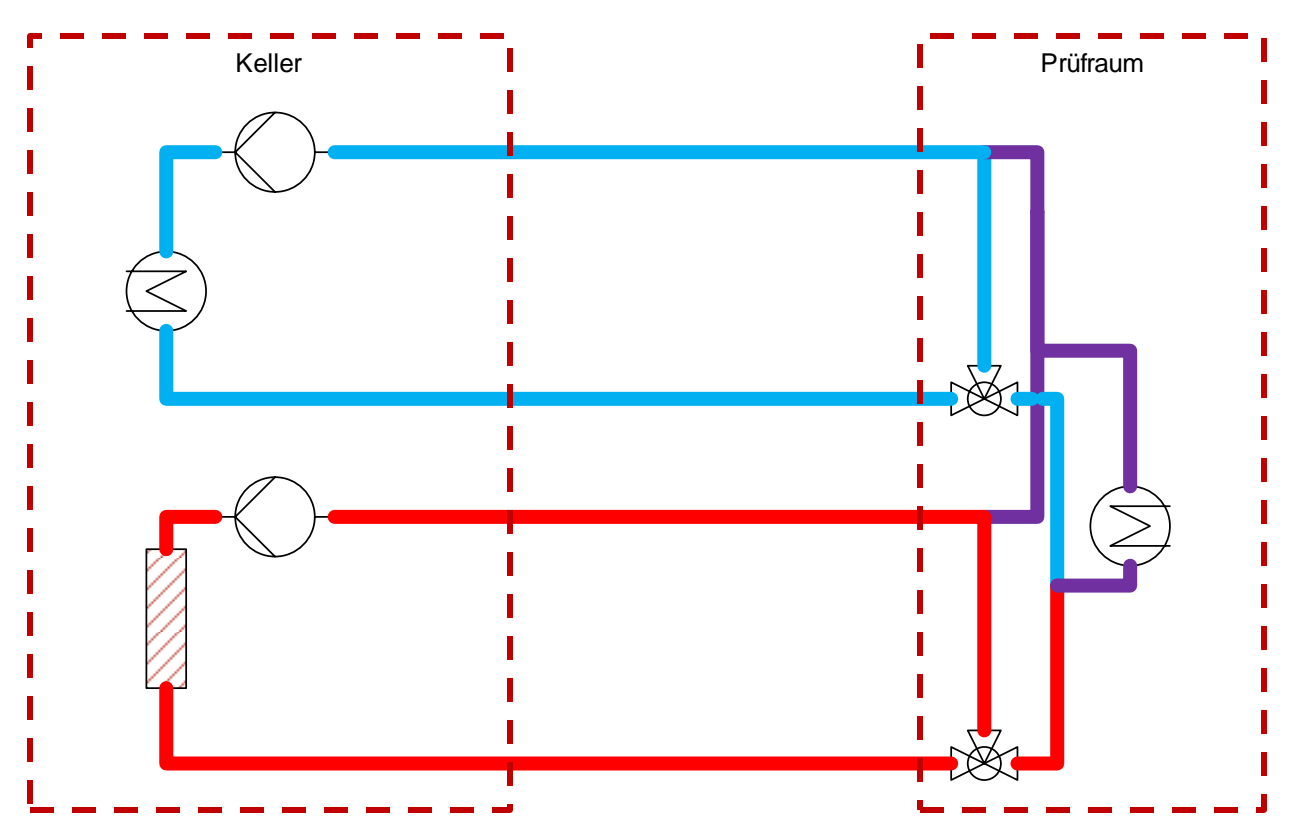


Abb. 38: Konzept 5, Quelle: Eigene Darstellung.

Vorteile Nachteile			
Dynamische Regelung möglich	Erhöhter Installationsaufwand		
Energieeffizient	Großes Förderelement im Prüfraum		
	Drei Förderelemente		
	Hohe Kosten		
	Schwer zu Regeln		

Tabelle 3.9: Vor- und Nachteile Konzept 5, Quelle: Eigene Darstellung.

# 3.6 Konzept 6

Konzept 6 basiert ebenso auf dem ersten Konzept. Hierbei sind die Zirkulationsförderelemente wieder kleiner ausgelegt und das Hauptförderelement befindet sich nahe am Prüfling. Durch die zwei Durchgangselemente kann, wie in Konzept 3.1.1 beschrieben, die benötige Temperatur beigemengt werden. Der Vorteil an diesem Konzept ist eindeutig die Energieeffizienz des Konzeptes, wobei der benötigte Platz im Prüfraum, um alle Komponenten unterzubringen, erneut als Nachteil anzusehen ist.

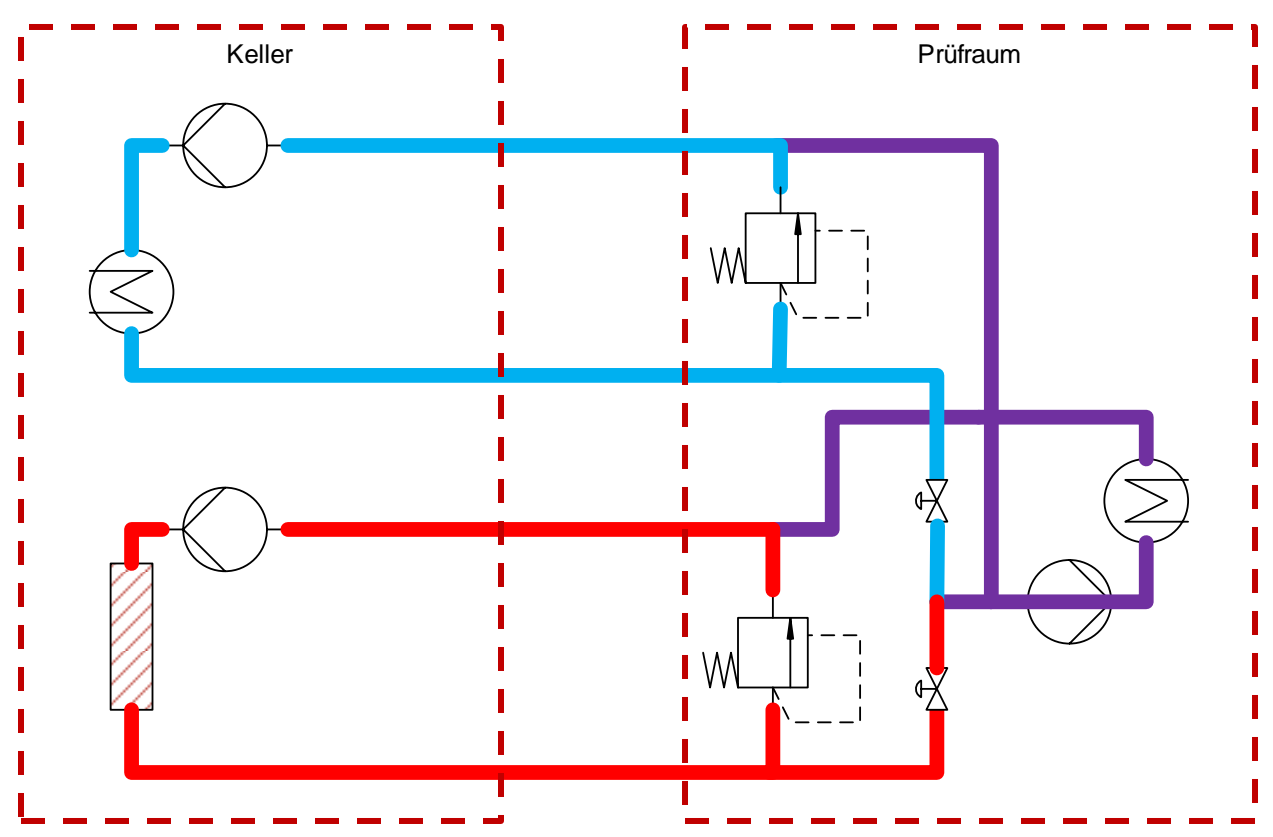


Abb. 39: Konzept 6, Quelle: Eigene Darstellung.

Vorteile	Nachteile
Dynamische Regelung möglich	Erhöhter Installationsaufwand
Energieeffizient	Großes Förderelement im Prüfraum
	Drei Förderelemente
	Hohe Kosten
	Schwer zu Regeln

Tabelle 3.10: Vor- und Nachteile Konzept 6, Quelle: Eigene Darstellung.

# 3.7 Konzept 6.1

Die kostengünstigere Variante stellt das Konzept 6.1 dar. Für dieses Konzept wird nur ein Regelelement benötigt und dieses wird um zwei Absperrelemente erweitert. Dadurch kann ebenso die benötigte Temperatur beigemengt werden und Kosten können somit eingespart werden. Der Vorteil im Vergleich zu Konzept 6, ist eine geringe Kosteneinsparung durch die Verwendung und Regelung von nur einem Durchgangselement.

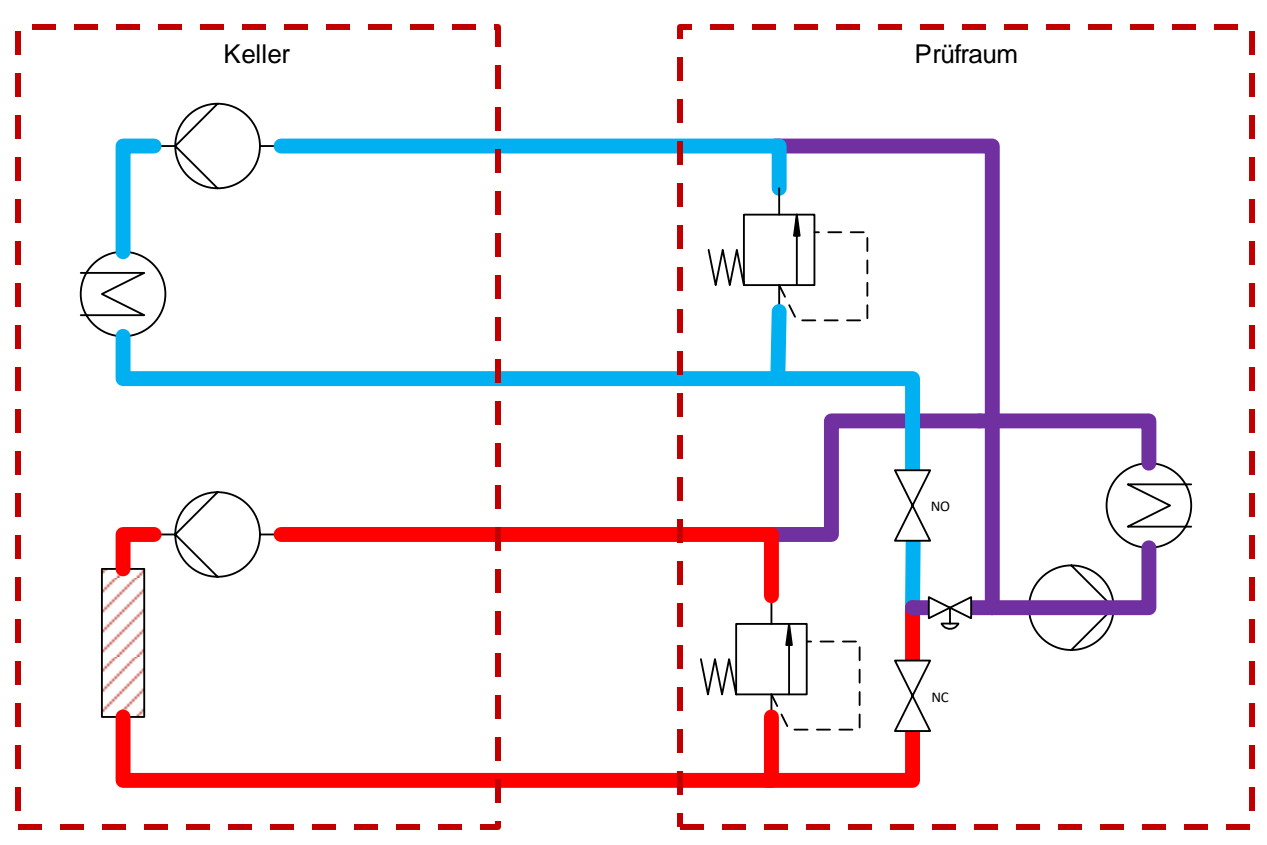


Abb. 40: Konzept 6.1, Quelle: Eigene Darstellung.

Vorteile	Nachteile
Dynamische Regelung möglich	Erhöhter Installationsaufwand
Energieeffizient	Großes Förderelement im Prüfraum
	Drei Förderelemente
	Hohe Kosten
	Schwer zu Regeln

 ${\it Tabelle 3.11: Vor-und \, Nachteile \, Konzept \, 6.1, \, Quelle: \, Eigene \, \, Darstellung.}$ 

## 3.8 Bewertung und Auswahl eines geeigneten Konzeptes

Ziel ist es, durch Punkte- Bewertung der verschiedenen Konzepte, ein Ranking zu erstellen und nach den Kriterien, wie in Tabelle 3.12 dargestellt, zu bewerten. Hierfür werden die jeweiligen Experten aus den verschiedenen Fachabteilungen für die Bewertung in einem Meeting herangezogen.

Die Bewertung der einzelnen Punkte erfolgt durch die subjektive Meinung der verschiedenen Fachabteilungsvertreter im umgekehrten Schulnotensystem.

Bei der Gewichtung stehen die Kosten der Anlage im Vordergrund. Größe der Komponenten im Prüfraum, Regelbarkeit des Systems und Energieeffizienz sind zweitrangig. Konzeptsicherheit und Aufwand der Installation vor Ort haben eine geringe Gewichtung bei der Auswahl. Es hat sich hierbei das Konzept 3.1 für am geeignetsten herausgestellt und wird somit für einen Prototyp in dieser Masterarbeit weiterverfolgt.

		Konzept								
Kriterien	Gewichtung	1/5	2	3	3.1	3.1.1	3.2	4	6	6.1
Kosten	30%	3	3	5	5	3	2	3	2	2
Größe im Prüfraum	20%	4	4	5	4	2	2	1	2	2
Regelbarkeit	20%	3	3	2	2	3	3	5	4	3
Energieeffizienz	20%	2	2	1	3	4	5	2	5	5
Konzept Sicherheit	5%	4	3	4	4	4	4	3	5	5
Installationsaufwand	5%	3	3	5	5	4	1	1	2	2
Punkte nicht gewichtet		19	18	22	23	20	17	15	20	19
Punkte gewichtet	100%	18,3	18	21,3	22,5	18,6	17,1	16,2	18,9	17,7
PLATZIERUNG		5	6	2	1	4	8	9	3	7

Tabelle 3.12: Bew ertung der Konzepte, Quelle: Eigene Darstellung.

# 3.9 Detailliertes Konzept

Da für ein laufendes Projekt im Unternehmen eine Konditionieranlage benötigt wird, soll der Prototyp über dieses Projekt finanziert werden. Diese Anlage fordert jedoch keine besonderen Anforderungen hinsichtlich der Dynamik. Durch leichte Modifikation des Grundschemas dieser Anlage, kann diese so erweitert werden, dass das ausgewählte Konzept validiert werden kann.

Das Konzept für das laufende Projekt basiert auf dem in Kapitel 3 beschriebenen Grundkonzept. Durch Erweiterung der in Abb. 41 rot eingezeichneten Elemente, kann das ausgewählte Konzept auf dieser Basis validiert werden. Dazu müssen lediglich zwei Zirkulationsleitungen sowie die Drossel- und Absperrelemente am Konzept der Anlage erweitert werden. Durch lange Leitungen zwischen dem Mischelement und dem Heiz- bzw. Kühlelement, kann ein realer Aufbau mit 15 m Entfernung nachgebildet werden.

In Tabelle 3.13 sind die wichtigsten Komponenten des Anlagenschemas und deren Hauptaufgaben aufgelistet:

Komponente	Aufgabe
Wartungseinheit (Druckschalter+ Notstoppventil)	<ul> <li>Reduzierung auf maximalen Systemdruck</li> <li>Filtern der Luft</li> <li>Absperren des Systemdrucks im Fehlerfall</li> </ul>
Druckregler	Einstellen des Systemdrucks
Sicherheitsventil	Ablassen des Drucks im Fehlerfall
Pumpe	Fördern des Mediums
Filter	Filtern des Mediums
Behälter	Ausgleichen des Volumens bei temperaturbedingter     Ausdehnung des Mediums
3- Wege Mischventil	Mischen der benötigten Temperatur
Durchflusssensor	Messung des Volumenstroms
Durchgangsventil	Regelung des Volumenstroms
Kupplung	Schnittstelle zur Anlage
Messstelle	Messen der Temperatur und des Drucks

Tabelle 3.13: Komponenten und deren Hauptaufgaben, Quelle: Eigene Darstellung.

Tabelle 3.14 zeigt die zugehörigen Symbole für die verwendeten Komponenten. Das detaillierte Konzept des Prototyps ist in Abb. 41 dargestellt. Die Komponenten werden im folgenden Kapitel näher erläutert.

Sicherheitsventil		Behälter	Di	urchgangsventil
Pumpe		3-Wege- 1ischventil		Kupplung
Filter	<u>Du</u>	rchflusssensor		Messstelle

Tabelle 3.14: Symbole der verwendeten Komponenten, Quelle: Eigene Darstellung.

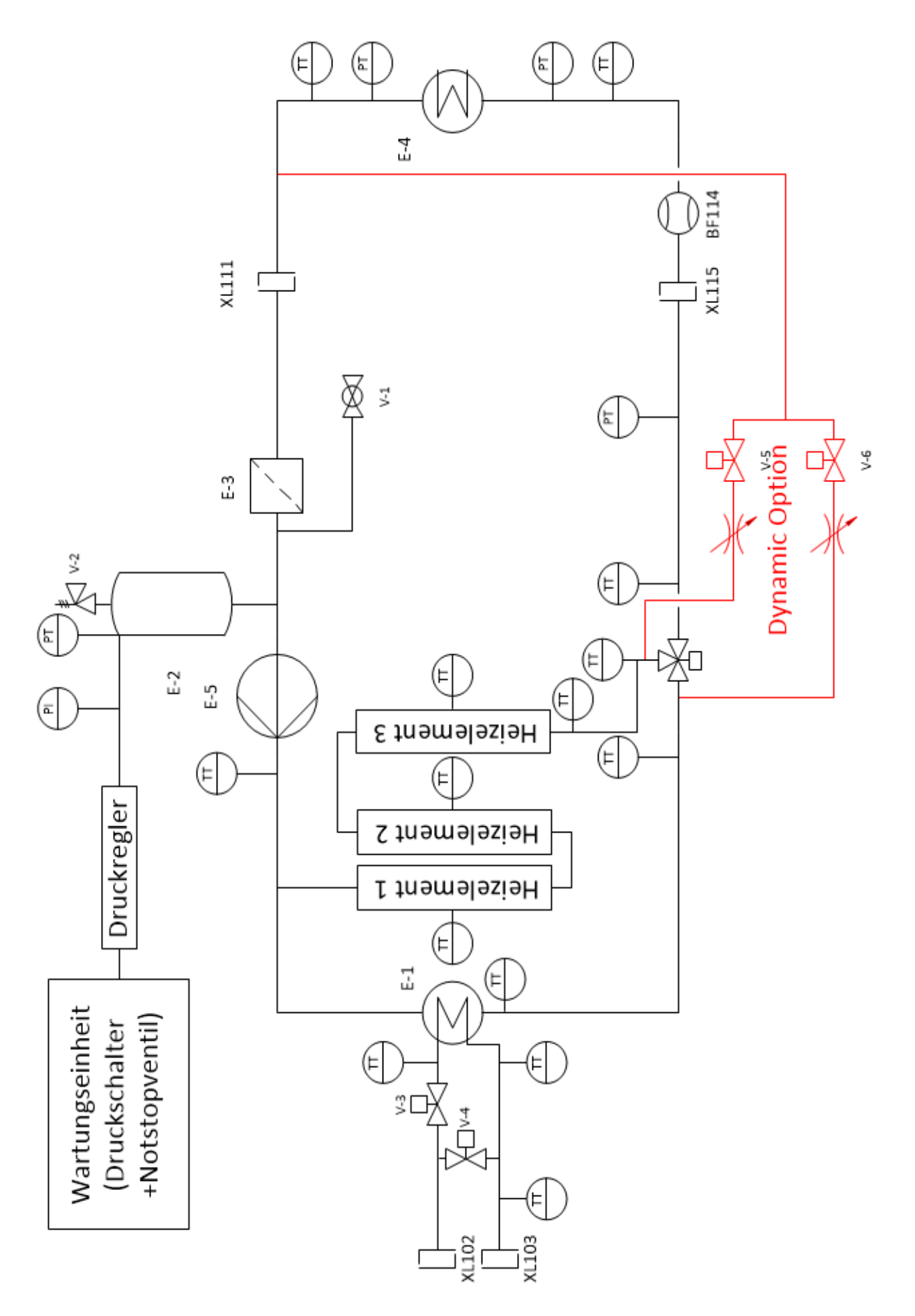


Abb. 41: Detailliertes Konzept des Prototyps, Quelle: Eigene Darstellung.

# **4 KONSTRUKTION EINES PROTOTYPS**

Die Konstruktion eines Prototyps einer dynamischen Konditionieranlage, des in Kapitel 3.8 ausgewählten Konzeptes, wird in diesem Abschnitt erarbeitet. Hierzu werden die geeigneten Komponenten ausgelegt und ausgewählt, sowie die Konstruktion und Steuerung beschrieben.

# 4.1 Anforderungen

Die wichtigsten Kenngrößen, welche an die Konditionieranlage gestellt werden, sind in Tabelle 4.1 aufgelistet:

	Technische Anforderungen		
	Allgemeine Daten		
	L	max. 900	mm
Abmessungen	В	max. 550	mm
	Н	max. 1300	mm
Umgebungstemperatur		2 - 40	°C
Leergewicht		-	kg
	Konditionierkreislauf		
Leistung		20	kW
Änderungsgeschwindigkeit	Kühlan	-1	K/s
Regelgenauigkeit statisch	Kühlen	± 0,5	K
Regelgenauigkeit dynamisch	]	±1	К
Leistung		20	kW
Änderungsgeschwindigkeit	llaina.	1	K/s
Regelgenauigkeit statisch	- Heizen	± 0,5	K
Regelgenauigkeit dynamisch	]	±1	K
Arbeitstemperatur		-20 - 140	°C
Temperaturregelbereich		-15 - 110	°C
Druckverlust bei Vnom = 30 l /min			
ohne Leitung und Prüfobjekt		50 (0,5)	kPa (bar)
Durchfluss bei 100 kPa Druckabfall		30	I/min
Systemdruck	max.	400 (4)	kPa (bar)
Öffnungsdruck Sicherheitsventil		500 (5)	kPa (bar)
Glykol Anteil	Ausgelegter Wert	50	%
Füllvolumen der Anlage		20	dm³
	Kühlwasserkreislauf		
Leistung		20	kW
Vorlauftemperatur		6/30	°C
Rücklauftemperatur		12 / 50	°C
Durchfluss		10	l/min
Systemdruck	max.	400 (4)	kPa (bar)
Öffnungsdruck Sicherheitsventil		-	kPa (bar)
Glykol Anteil		50	%
	Druckluftversorgung		
Druckbereich		400 - 600 (4-6)	kPa (bar)
Druckluft Spezifikation nach	Dantilla La France La Fran		Ölkonzentration
ISO Norm 8573-1 : 6-6-3	Partikel < 5μm und < 5 mg/m <sup>3</sup>	raupunkt +10 °C	< 1 mg/m³
	Stromversorgung		
Spannung		~3 x 400	VAC
Frequenz		50	Hz
Schutzklasse		IP 54	
Leistung		22	kW

Tabelle 4.1: Technische Anforderungen an den Prototyp, Quelle: Eigene Darstellung.

## 4.2 Komponenten und rechnerische Auslegung

Folgende Hauptkomponenten werden in den Unterkapiteln erarbeitet:

- Heizelemente
- Leitungen
- Verbindungselemente und Schmutzfänger
- Wärmetauscher

- Mischventile
- Sensoren
- Förderelemente
- Durchgangsventil
- Betriebsluftversorgung

Um den geeigneten Dichtwerkstoff für die O-Ringe auswählen zu können, wird in Tabelle 4.2 ein Überblick über die herkömmlichen Dichtwerkstoffe und deren Verwendungszweck, laut Literatur, dargestellt.<sup>81</sup>

	Tempera	atur / °C	
Werkstoff	min.	max.	Eigenschaften
NBR Nitril-Butadien- Kautschuk	-30	+100	Standardwerkstoff für O-Ringe mit breitem Anwendungsgebiet bei statischem Druck bis ca. 100 bar. Beständig gegen Öle, Schmierstoffe und Wasser (bis +80 °C). Nicht beständig gegenüber Kraftstoffen mit hohem Aromaten Anteil und Bremsflüssigkeiten auf Glykol Basis.
EPDM Ethylen- Propylen-Dien- Kautschuk	-40	+140	Beständig gegenüber Heißwasser, Wasserdampf und Chemikalien. Speziell für Waschlaugen und verdünnte Säuren. Nicht beständig gegenüber Mineralölprodukten und Kraftstoffen.
FKM (Viton®) Fluorkautschuk	-20	+200	Beständig gegenüber hohen Temperaturen und Chemikalien. Nicht beständig gegenüber Heißwasser, Wasserdampf, Bremsflüssigkeiten auf Glykol Basis und anorganischen Säuren.

Tabelle 4.2: Dichtwerkstoffe und deren Eigenschaften, Quelle: Eigene Darstellung.

Wie aus der Tabelle 4.2 hervorgeht, sind die Materialen EPDM und FKM für den gewünschten Temperaturbereich geeignet. Werden jedoch die genauen Eigenschaften näher betrachtet, stellt sich heraus, dass FKM nicht beständig gegenüber Heiß wasser ist. Folglich kommt nur EPDM als Dichtwerkstoff für die Komponenten, die mit dem Heiß wasser in Berührung kommen, in Frage.

Da es von der Konditionieranlage in weiterer Folge eine Kleinserie geben soll, ist bei der Analyse und Auswahl der Komponenten ebenso darauf zu achten, dass diese als Edelstahlausführung zur Verfügung stehen, da Anlagen von Kunden oftmals buntmetallfrei gewünscht werden. Dies bedeutet, dass keine Materialien wie Kupfer oder Messing bei Komponenten, welche mit dem Medium im Hauptkreis in Berührung kommen, verwendet werden dürfen.

-

<sup>81</sup> Arcus (2016), Online-Quelle [22.11.2016]

### 4.2.1 Heizelemente

Um die gängigsten, am Markt verfügbaren Heizelemente genauer analysieren und vergleichen zu können, werden die wichtigsten Parameter in Tabelle 4.3 abgebildet. Hauptaugenmerk bei der Auswahl ist der Preis, das Material und die Möglichkeit der mechanischen Temperaturregelung sowie einer Temperaturbegrenzung, um im Fehlerfall ein Überhitzen verhindern zu können. Eine vergrößerte Ansicht befindet sich im Anhang 2.

d	A	В	С	D	E	F	G	н	1	J	К	L	М	N	0		Q	R	S	Т
1								Oberflächen	Temp.	Druck		unbeheizte		Begrenzer		Regelte				
2	Hersteller	Bild	Тур		Rohrheizkörper Mat -	Kappe	Leistung	Leistung	max.	max.	Einbautiefe	Länge	Gewinde 	max	min		Einstellung	Lieferzeit	Bemerkung	
3	•		~	Mat. ≃	Mat. ≃	Mat. ≝	kW 💌	W/cm² ≃	.0 -	ba *	mm ×	mm ×		.C -	10 -	·C ~	*	Tage 💌		1 =
4	Türk + Hillinger		1105688	Edelstahl	Allog 825	Kunststoff	7,5	10,4		6	550	100	1 1/2	140	32	110		7		155,0
5	Türk + Hillinger		1105712	Edelstahl	Alloy 825	Kunststoff	6			6	480	100	11/2	140	32	110		7		168,6
6	Türk + Hillinger		1105713	Edelstahl	Alloy 825	Kunststoff	9			6	660	100	11/2	140	32	110		7		169
7	Carlo Loysch	/	HTK600470	Edelstahl	Edelstahl	Kunststoff	6	9,4	110	10	470	40	11/2		30	110	außen			237
8	Lohmann	<b>5</b>	AR 650	Edelstahl	Edelstahl	Edelstahl	6	6,2	110	6	650	30	11/2		10	120	innen	35		255,0
9	Carlo Loysch	/	HTK600600	Edelstahl	Edelstahl	Kunststoff	6	7,1	110	10	600	40	11/2		30	110	außen			265
10	Esska		Sonder	Messing	Edelstahl	Kunststoff	6					50	11/2							268
11	Esska	1	1505699106480	Messing	Edelstahl	Kunststoff	7,5	5,6				50	11/2	140	30	110		25		290,2
	Esska	1	1505699106479	Edelstahl	Edelstahl	Kunststoff	7,5	5,6				50	11/2	140	30	110		25		321,4
13	Schwarz		Sonder	Messing	Edelstahl	Edelstahl	6	5,03	110	6	850	120	11/2	150				35		328,5
14	Sohwarz	-	Sonder	Messing	Edelstahl	Edelstahl	6	6,09	110	6	700	100	11/2	150				35		328,5
15	Schwarz	-	Sonder	Messing	Edelstahl	Edelstahl	6	6,09	110	6	700	100	11/2	140	30	110	innen	35		328,5
16	Schwarz		Sonder	Edelstahl	Edelstahl	Edelstahl	6	6,09	110	6	700	100	11/2	150				35		354,0
17	Esska	1	Sonder	Messing	Edelstahl	Kunststoff	12	3,3			1200	50	2		95	180		35		361,4
18	Lohmann	Se la constant de la	ERCB / 60,0	Edelstahl	Edelstahl	Verzinkt	6	6,8	110	6	600	50	11/2	150				35		446,3
19	Jeka	128	Sonder	Edelstahl	Edelstahl	Kunststoff	6		110		580	100	2	110				42		464,2
20	Lohmann	5	ERCB / III / 60,0	Edelstahl	Edelstahl	Verzinkt	6	5	110	6	600	50	2	150				35		526,0

Tabelle 4.3: Auf listung möglicher Heizelemente, Quelle: Eigene Darstellung.

Aus der Analyse diverser Hersteller und Modelle aus Tabelle 4.3, wurde das Heizelement 1105688 der Firma *Türk & Hillinger*, wie in Abb. 42 abgebildet, ausgewählt. Um die gewünschte Heizleistung von 20 kW bereitstellen zu können, werden drei Stück zu je 7,5 kW zum Einsatz kommen. Das Heizelement ist mit einem einstellbaren Thermostat von 32 °C bis 110 °C und einem Temperaturbegrenzer von 140 °C ausgestattet. Das Thermostat kann folglich auf die maximale Temperatur eingestellt werden. Um die Heizleistung kontinuierlich regeln zu können, wird ein Thyristorsteller benötigt. Dadurch ist es möglich, die Leistung von 0 – 100 % vorzugeben.



Abb. 42: Produktfoto Türk & Hillinger Heizelement 1105688, Quelle: Türk & Hillinger (2016), Online-Quelle [20.11.2016].

### 4.2.2 Leitungen

Vorgabe seitens des Kunden ist es, alle Verbindungen mit Schneidringverschraubungen laut DIN 2353 auszuführen.

Zur Berechnung des maximal möglichen Druckabfalls in den Leitungen, werden die Werte für die Dichte und die dynamische Viskosität für eine Temperatur von -20 °C aus den Datenblättern von Wasser/Glykol 50/50 aus dem Anhang 1 entnommen. Da die Werte mit steigender Temperatur kleiner werden und diese proportional zum Druckverlust sind, folgt ein geringer Druckverlust in den Leitungen.

Um den Druckverlust berechnen zu können, muss zuerst die Strömungsgeschwindigkeit vlaut Formel 2.4 bestimmt werden.

$$v = \frac{\dot{V}}{A} = \frac{4 \cdot 30 \cdot 10^{-3} \text{ m}^3 \cdot (60 \text{ s})^{-1}}{\pi \cdot (18 \cdot 10^{-3} \text{ m})^2} = 1,965 \text{ m} \cdot \text{ s}^{-1}$$

Daraus kann die Reynoldszahl Relaut Formel 2.11 ermittelt werden.

$$Re = \frac{1,965 \text{ m} \cdot \text{s}^{-1} \cdot 18 \cdot 10^{-3} \text{ m} \cdot 1095 \text{ kg} \cdot m^{-3}}{26 \cdot 10^{-3} \text{ Pa} \cdot \text{s}} = 1490 = \text{laminare Strömung}$$

Um den Zetawert  $\zeta$  für eine Rohrlänge von 1 m bestimmen zu können, muss dieser laut Formel 2.13 wie folgt berechnet werden. Die Werte  $c_I$  = 64 und  $c_Z$  = 1 wurden aus dem Kapitel 2.1.4.1 für die Reynoldszahl Re = 1490 entnommen.

$$\zeta = \frac{c_1}{Re^{c_2}} \cdot \frac{l}{d_h} = \frac{64}{1490^1} \cdot \frac{1}{18 \cdot 10^{-3} \text{ m}} = 2,386$$

Aus diesen Werten kann laut Formel 2.3 wie folgt der Druckverlust berechnet werden.

$$\Delta p = \frac{1}{2} \cdot 1095 \text{ kg} \cdot \text{m}^{-3} \cdot (1,965 \text{ m} \cdot \text{s}^{-1})^2 \cdot 2,386 = 5044 \text{ Pa}$$

Das entspricht einem Druckverlust von 0,05044 bar.

### Konstruktion eines Prototyps

Um ein Optimum zwischen geringem Druckverlust und kleinen Rohrleitungen generieren zu können, werden in Frage kommende Rohrdurchmesser auf den zugehörigen Druckverlust berechnet und in Tabelle 4.4 dargestellt.

Rohr DIN 2353	18L	22L	28L	32L
Innen Ø / mm	14	18	24	28
Rohrlänge		Druck	verlust	
m	bar	bar	bar	bar
1	0,14	0,05	0,02	0,01
2	0,28	0,10	0,03	0,02
3	0,43	0,15	0,05	0,03
4	0,57	0,20	0,07	0,04
5	0,71	0,25	0,08	0,04
6	0,85	0,30	0,10	0,05
7	0,99	0,35	0,11	0,06
8	1,14	0,40	0,13	0,07
9	1,28	0,45	0,15	0,08
10	1,42	0,50	0,16	0,09

Tabelle 4.4: Druckverlust in Rohrleitungen, Quelle: Eigene Darstellung

Ein Optimum zwischen geringem Druckverlust und kleinstmöglichem Rohrquerschnitt hat laut der Berechnung das 22L Rohr ergeben, da der Druckverlust für ein 18L Rohr zu groß ist. Das würde bedeuten, dass ein wesentlich teureres Förderelement benötigt werden würde. Ein 28L Rohr hätte zwar einen geringeren Druckverlust, jedoch vice versa höhere Kosten. Es kann zwar ein kleineres und somit günstigeres Förderelement zum Einsatz kommen, jedoch würden die Materialkosten der Rohrleitung sehr hoch ausfallen.

Um in weiterer Folge eine passende Pumpe auswählen zu können, muss die gesamte Rohrlänge der Anlage abgeschätzt werden. Dabei ergibt sich, wie in Tabelle 4.5 dargestellt, ein Druckverlust von 1,66 bar für das gesamte Leitungssystem.

	Länge	Druckverlust
Leitung	m	bar
Vorlauf	15	0,76
Rücklauf	15	0,76
System	3	0,15
Summe	33	1,66

Tabelle 4.5: Gesamtdruckverlust der Rohrleitungen, Quelle: Eigene Darstellung.

### 4.2.3 Verbindungselemente und Schmutzfänger

Geeignete Verbindungselemente werden benötigt, um das ausgewählte Rohr und die restlichen Komponenten der Anlage verbinden zu können.

Um ebenso eine Berechnungsgrundlage für die folgende Auslegung der Pumpe zu haben, muss die mögliche Anzahl an Verbindungselementen im System abgeschätzt und mit der Formel 2.3 berechnet werden.

Der Zetawert  $\zeta$ für ein Winkelelement ist laut Herstellerdatenblatt  $\zeta$ = 1.

$$\Delta p = \frac{1}{2} \cdot 1095 \text{ kg} \cdot \text{m}^{-3} \cdot (1,965 \text{ m} \cdot \text{s}^{-1})^2 \cdot 1 = 2114 \text{ Pa}$$

Das entspricht einem Druckverlust von 0,02114 bar.

Der Druckverlust der Schnittstellen sowie etwaige T- Elemente wurden ebenso als Winkelelement angenommen.

	Anzahl	Druckverlust				
Art	•	bar				
Winkelelement	10	0,21				
T-Element	4	0,09				
Summe	33	0,30				

Tabelle 4.6: Gesamtdruckverlust von Winkel- und T-Elementen, Quelle: Eigene Darstellung.

### Schmutzfänger

Ein Schmutzfänger hat die Aufgabe, größere Partikel in der Anlage aufzufangen. Ausgewählt wurde der Schmutzfänger 4051508 der Firma Stasto, wie in Abb. 43 gezeigt. Der Druckverlust wird ebenso über den  $K_{V^-}$  Wert aus dem Herstellerdatenblatt wie folgt berechnet.

$$\Delta p = \left(\frac{1.8 \text{ m}^3 \cdot \text{h}^{-1}}{7 \text{ m}^3 \cdot \text{h}^{-1}}\right)^2 \cdot \frac{100000 \text{ Pa} \cdot 1095 \text{ kg} \cdot \text{m}^{-3}}{1000 \text{ kg} \cdot \text{m}^3} = 6600 \text{ Pa}$$

Das entspricht einem Druckverlust von 0,066 bar.



Abb. 43: Produktfoto Stasto Schmutzfänger 4051508, Quelle: Stasto (2016), Online-Quelle [20.11.2016].

#### 4.2.4 Wärmetauscher

Als Standardlieferant für Wärmetauscher der Firma qpunkt ist die Firma Alfa Laval deklariert. Um den geeigneten Wärmetauscher für die Konditionieranlage auswählen zu können, benötigt der Hersteller den maximal zulässigen Druckverlust, das Medium, den Volumenstrom, die Leistung und die Eintrittstemperatur sowohl für die warme als auch die kalte Seite.

Ausgewählt wurde der in Abb. 44 berechnete Wärmetauscher CB30-10H. Da in vorliegendem Projekt nicht die Anforderung auf Buntmetallfreiheit herrscht, konnte die Standardausführung mit gelöteten Platten ausgewählt werden.

### Alfa Laval Plattenwärmetauscher in kupfergelöteter Ausführung Type CB



: 24.11.2016

Datum

### Aufbauweise

Der gelötete Plattenwärmetauscher besteht aus einer Anzahl speziell geprägter Edelstahlplatten (ALLOY 316 / 1.4401), wo jeweils zwei Platten einen Kanal bilden. Diese Kanäle werden im Gegenstromprinzip vom Medium durchströmt. Durch die hohe Turbulenz der Medien in den Kanälen entsteht eine sehr effektive Wärmeübertragung. Alle Kanalplatten sowie auch die Anschlüsse werden in einem Speziallötverfahren miteinander zu einer kompakten Einheit zusammengefügt und hartverlötet. Flanschanschlüsse werden, wenn möglich nach gültiger DIN / O-Norm gefertigt, Kompaktflansche sind nicht DIN / O-Norm gerecht. Eine gültige europäische Konformitätserklärung ist gesetzeskonform und wird beigelegt. Das Plattenpaket ist beidseitig mit massiven Anschlussplatten versehen, in denen sich die Anschlüsse befinden.

Kunde / Projekt : TB-qpunkt GmbH. Position : Kühlung 20kW

Spezifikation

Type:CB30-10H	\$1.52	Innengewinde 3/4"	\$3.54	Innennewinde	3/4"
IVDE.CD3U-IUD	51.57	- Innendewinde 3/4".	55.54	- Innendewinde	3/4

		Warme Seite	Kalte Seite
Medium Volumenstrom Eintrittstemperatur Austrittstemperatur Druckverlust	m³/h °C °C kPa	50.0% Eth.glycol 1.8 110.0 99.2 40.4	50.0% Eth.glycol 1.2 20.0 36.5 32.6
Wärmeleistung Flächenreserve	kW: %:	20.00 342.5	
Plattenwerkstoff / - anzahl Lötmaterial Strömungsrichtung der Medien	:	Alloy 316 / 10 Kupfer Gegenstrom	Kupfer
AnschlussS2 (Warm-Aus) Innengewin AnschlussS3 (Kalt-Ein) Innengewin AnschlussS4 (Kalt-Aus) Innengewin Anschlussgrösse (Innendurchmesser) mm	de/ 3/4" ISO de/ 3/4" ISO de/ 3/4" ISO de/ 3/4" ISO 23 23	228/1-G (C22) Alloy 31 228/1-G (C22) Alloy 31 228/1-G (C22) Alloy 31 228/1-G (C22) Alloy 31 35) / Edelstahl	6 6 6
Druckgeräterichtlinie Maximaler Betriebsdruckbei 90.000000 Maximaler Betriebsdruckbei 225.000000 Minimale / Maximale Betriebstemperatur	Bar		40.0 32.0
Nettogewicht / Betriebsgewicht Länge x Breite x Höhe	mm		
Bezugsquelle		APTEC Energietech Betriebszentrum P31 A – 1220 Wien Tel +43 1 922 45 36,	nik GmbH / Percostr. 31 / Top A9a Fax +43 1 922 45 36-10
Ansprechperson (Durchwahl) E-Mail	:	Technikabteilung, (D\ technik@aptec.at	W50,DW40,DW30)

Abb. 44: Berechnungsergebnisse Alfa Laval, Quelle: APTEC Energietechnik GmbH.

### 4.2.5 Mischventile

Um die gängigsten am Markt verfügbaren Mischventile genauer analysieren und vergleichen zu können, werden die wichtigsten Paramater in Tabelle 4.7 aufgelistet. Hauptaugenmerk bei der Auswahl ist der Preis, das Material, die Öffnungsgeschwindigkeit sowie der geforderte Temperaturbereich. Eine vergrößerte Ansicht befindet sich im Anhang 2.

⊿ A	В	C	D	J	K	L	M	N	0	P	Q	R	S	T	U	V	W	X	Y	Z	AA	AB	AC	AD
1 Volu	menstrom	1,8	m²/h		ρ	ntrieb					Abmaße				Temperat	urbereict								
2 Hersteller			Тур	Hub	Ø	H		Kennlinie	Rückmeldeopt.	В	H	Ø	Material	Dichtsitz	Min.	Max.	Anschluss	Druckverlust	Öffnungsz.		Gewicht	Ausstattung	Lieferzeit	Preis
3 *	¥	~	¥	mm 🔻	mm *	mm 👻	1 *	¥	¥	mm Y	mm Y	mm Y	*	~	,C ^	,C ~	¥	bar 💌	S ¥	I/min 🔻	Kg ▼	Y	Tage ↓1	Euro 🔻
Schubert & Salzer			7082	14	116	346	0,070	linear	Klemmen	90	62	50	Edelstahl	PTFE	-30	200	Whitworth- Rohrgew.	0,08	1,2			2 Grenzwertgeber Option IPC Regler	14	1489
Gemü	1		312		96	198	0,125	linear	ohne Rückmeld.	150	112	105	Grauguss	PTFE	-10	180	Flansch	0,06		50	5,8	nur Stellungsregler	35	1066
Gemü 5	哪		312		96	198	0,125	linear	Istwertausgang M12	150	112	105	Grauguss	PTFE	-10	180	Flansch	0,06	-	150	5,8	Mit Prozessregler PI	35	1124
Gemü 7	4		312		96	198	0,125	linear	Istwertausgang	150	112	105	Grauguss	PTFE	-10	180	Flansch	0,06		50	5,8	nur Stellungsregler	35	1160
Gemü 3	4		312		96	198	0,125	linear	Istwertausgang M12	150	112	105	Grauguss	PTFE	-10	180	Flansch	0,06	-	50	5,8	nur Stellungsregler	35	1242
Bürkert			PV6271	15	162	477	0,420	linear	Istwertausgang M12	150	70	105	Grauguss	metall.	-	250	Flansch	0,09			20	mit Boosterventilen	56	2224
Bürkert 0	Ī		PV6271	15	162	477	0,420	linear	Istwertausgang M12	150	70	105	Edelstahl	metall.	-	250	Flansch	0,09			20	mit Boosterventilen	56	3334
Samson			3323	15	168	346	0,180	linear	nicht möglich	150	80	105	Grauguss	metall.	-10	220	Flansch	0,08	-		10	LCD und Autotune (Stellungsregler)	-	1325
Samson 2			3323	15	168	346	0,180	linear	nicht möglich	150	80	105	Edelstahl	metall.	-10	220	Flansch	0,08			10	LCD und Autotune (Stellungsregler)		2006
Samson 3	T		3244	15	215	188	0,180	linear	möglich	150	80	105	Edelstahl	metall.	-50	300	Flansch	0,08	-		10,2	LCD und AutoT. / Industrieausführung	-	3248

Tabelle 4.7: Mögliche Regelventile, Quelle: Eigene Darstellung.

Das Mischventil 7082 des Herstellers *Schubert & Salzer*, wie in Abb. 45 abgebildet, ist sowohl preislich als auch bezüglich der anderen Parametern das geeignetste der Ventile und soll im Prototyp zum Einsatz kommen. Da bei Ventilen meist der  $K_{\nu}$  Wert angegeben ist, muss der Druckverlust über die Formel 2.15 wie folgt berechnet werden.

$$\Delta p = \left(\frac{Q}{K_v}\right)^2 \cdot \frac{100000 \text{ Pa} \cdot \rho}{1000 \text{ kg} \cdot \text{m}^3} = \left(\frac{1.8 \text{ m}^3 \cdot \text{h}^{-1}}{6.5 \text{ m}^3 \cdot \text{h}^{-1}}\right)^2 \cdot \frac{100000 \text{ Pa} \cdot 1095 \text{ kg} \cdot \text{m}^{-3}}{1000 \text{ kg} \cdot \text{m}^3} = 7670 \text{ Pa}$$

Das entspricht einem Druckverlust von 0,0767 bar.



Abb. 45: Schubert & Salzer Mischventil 7082, Quelle: Schubert & Salzer (2016), Online-Quelle [20.11.2016].

### 4.2.6 Sensoren

Zum Steuern der Anlage und zum Erfassen der Temperaturen, Drücke und Durchflüsse werden verschiedene Sensoren benötigt. Diese können wie folgt unterteilt werden. 82

#### Aktive Sensoren:

Formen mechanische Energie, thermische Energie, Lichtenergie oder chemische Energie direkt in elektrische Energie um.

#### Passive Sensoren:

Bewirken eine Änderung des Widerstandes, der Kapazität oder der Induktivität und brauchen daher eine Hilfsenergie zur Erzeugung von elektrischen Signalen.

### Temperatursensor

Um die Temperaturen des Mediums messen zu können, wird ein Temperatursensor benötigt, welcher die Wärmeenergie in ein elektrisches Signal umwandeln kann.

### Anforderungen:

- Messgenauigkeit ± 0,5 °C
- Messbereich -20 °C bis +130 °C
- Druckbeständigkeit bis 5 bar

Folgend sind mehrere Arten zum Messen der Temperatur laut Literatur aufgezeigt:83

- Thermoelemente
- Strahlungspyrometer
- Widerstandsthermometer
- Metallthermometer

- Heißleiter (NTC-Sensoren)
- Kaltleiter (PTC-Sensoren)
- Halbleitertemperatursensoren

Zum Einsatz soll ein PT100 Widerstandsthermometer der Firma PMR kommen.

Dieser ist ein passiver Sensor mit einer Einsatztemperatur von -30 °C bis 300 °C und benötigt Hilfsenergie. Durch Änderung seines Widerstandes in Abhängigkeit der Temperatur, kann folglich über den Widerstandswert auf die aktuelle Temperatur mit Hilfe einer Steuerung rückgeschlossen werden.

Die Temperaturmessstellen werden direkt auf die Rohrleitung aufgeschweißt. Durch eine Querbohrung kann der Messfühler über eine Verschraubung mittig im Rohr platziert werden. Da der Messfühler einen Durchmesser von nur 1,5 mm hat, kann der Druckabfall der dadurch entsteht, vernachlässigt werden.

<sup>82</sup> Vgl. Schmid (2009), S. 224

<sup>83</sup> Vgl. Schmid (2009), S. 255 – 257.

#### Drucksensor

Um den Druck im System messen zu können, muss ein Drucksensor im Ausgleichsbehälter verbaut werden. Ein weiterer Drucksensor soll in der Ausgangsleitung der Konditionieranlage platziert werden.

### Anforderungen:

- Temperaturbereich 0 °C bis 80 °C, da der Sensor über Messleitungen nicht direkt mit dem Medium in Kontakt ist.
- Messgenauigkeit ± 0,1 bar

Laut Literatur sind folgend die Möglichkeiten angeführt, um einen Druck zu messen:

- Dehnungsmessung
- Kraftsensoren mit Piezokristallen

Zur Druckmessung soll der Sensor A-10 der Firma WIKA verwendet werden. Dieser Sensor beruht auf Dehnungsmessung.

Auf einer Membran im Sensor ist ein Dehnmessstreifen aufgebracht. Die Wirkungsweise eines Dehnmessstreifen beruht auf Widerstandsänderung eines Drahtes. Wenn dieser wie in Abb. 46 ersichtlich, durch Dehnung oder Stauchung verlängert beziehungsweise gestaucht wird, verändert sich gleichzeitig der Querschnitt. Bei Dehnung wird der Querschnitt verkleinert vice versa durch Stauchung vergrößert. Dadurch erhöht sich beziehungsweise sinkt der Widerstand. Bei Erhöhung des Druckes, steigt respektive sinkt somit ein Widerstandswert, welcher durch einen nachgeschalteten Messverstärker in ein verwertbar es, elektrisches Signal umgewandelt wird.<sup>84</sup>

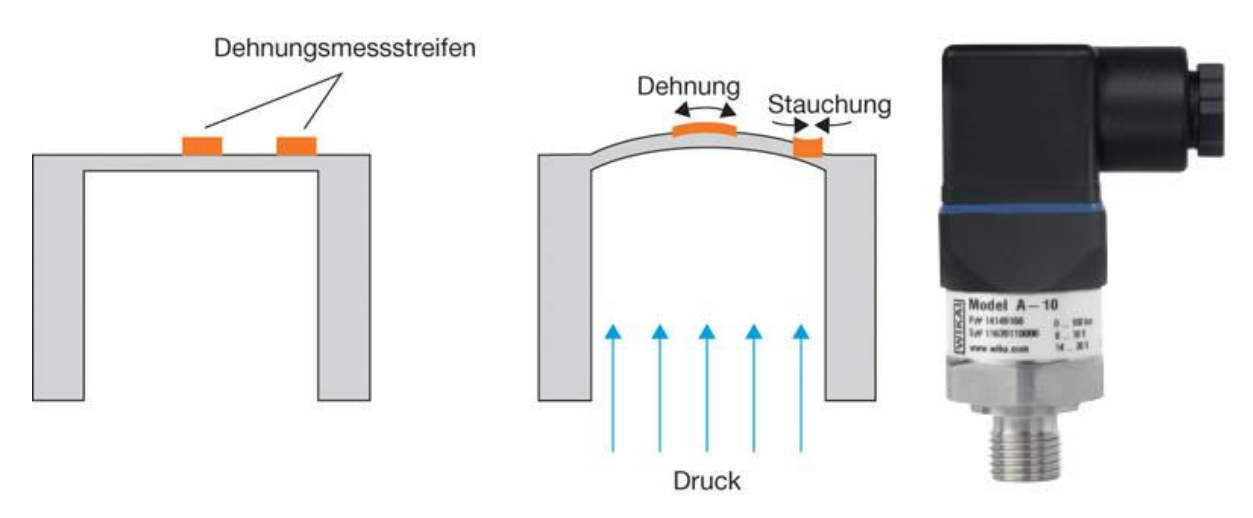


Abb. 46: Messprinzip Drucksensor, Quelle: WIKA (2016), Online-Quelle [26.11.2016].

Die Druckmessung erfolgt ebenso über eine aufgeschweißte Messstelle mit einer kleinen Querbohrung direkt in der Rohrleitung und hat ebenso einen zu vernachlässigbaren Druckabfall.

\_

<sup>&</sup>lt;sup>84</sup> Vgl. Schmid (2009), S.250.

### 4.2.7 Förderelemente

Die Aufgabe des Förderelementes ist es, wie in Kapitel 2.1.5 beschrieben, den Druckverlust im System zu überwinden. Durch Addition der einzelnen Druckverluste der Komponenten in vorhergegang enen Berechnungen, dem Druckverlust des Schmutzfängers sowie des maximalen Druckverlusts am Prüfling, kann folglich der maximal mögliche Gesamtdruckverlust der Anlage berechnet werden. Dieser ist in Tabelle 4.8 ersichtlich.

	Druckverlust / bar
Wärmetauscher / Heizung	0,40
Schmutzfänger	0,07
Winkel- und T- Elemente	0,30
Regelventil	0,08
Leitungen	1,66
Prüfling	0,50
Summe	3,01

Tabelle 4.8: Gesamtdruckverlust der Anlage, Quelle: Eigene Darstellung.

Um die gängigsten am Markt verfügbaren Förderelemente genauer analysieren und vergleichen zu können, werden die wichtigsten Paramater in Tabelle 4.9 aufgelistet. Hauptaugenmerk bei der Auswahl ist das Material, die Größe sowie die Möglichkeit einer magnetgekuppelten Pumpe. Eine vergrößerte Ansicht befindet sich im Anhang 2.

Magnetgekuppelt bedeutet, dass der Pumpenraum keine dynamischen Dichtungen hat. Der Pumpenmotor treibt über einen Außenmagneten einen Innenmagneten an. Dieser befindet sich in einem hermetisch dichten Spalttopf. Dadurch ist ein Auslaufen des Mediums fast unmöglich und eine lange Lebensdauer gewährt.<sup>85</sup>

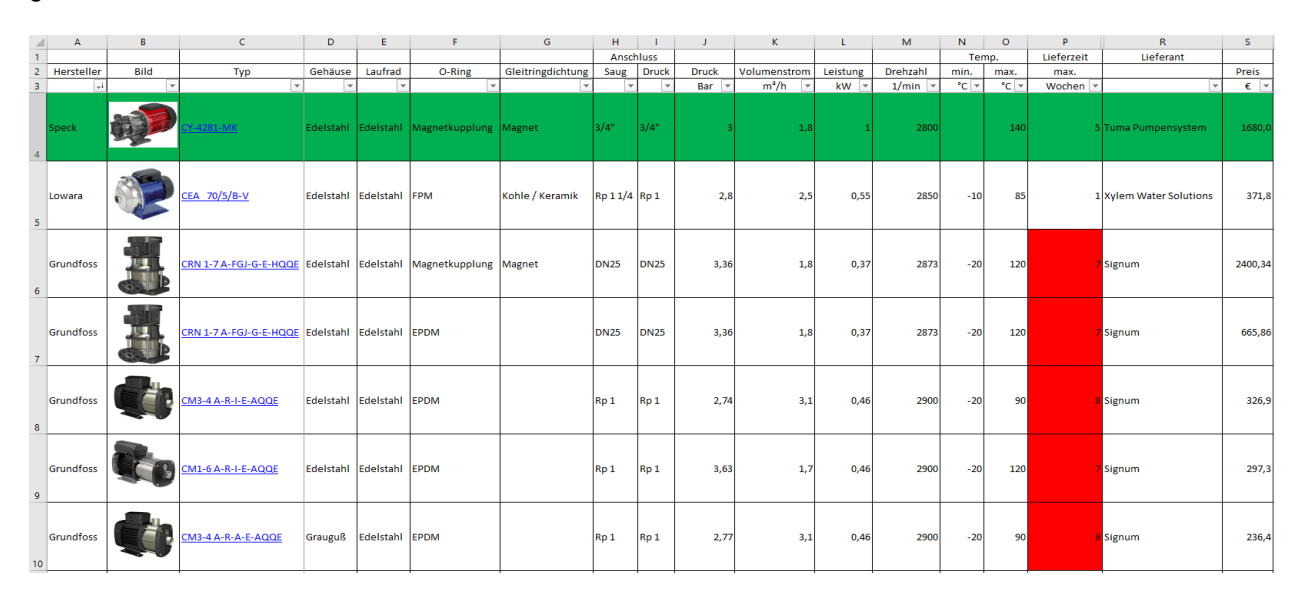


Tabelle 4.9: Mögliche Förderelemente, Quelle: Eigene Darstellung.

-

<sup>85</sup> Vgl. VIPTech-GmbH (2016), Online-Quelle [20.11.2016]

### Konstruktion eines Prototyps

Für die Konditionieranlage hat sich aus der Analyse der diversen Hersteller und Modelle die Pumpe CY-4281-MK, wie in Abb. 48, der Firma *Speck* für am geeignetsten herausgestellt. Diese erfüllt sowohl die Anforderung, den nötigen Druck bereitzustellen sowie auch die Möglichkeit einer magnetgekuppelten Ausführung.

In Abb. 47 ist die Pumpenkennlinie der CY-4281-MK dargestellt. Die ausgewählte Pumpe leistet demnach einen Förderstrom von 30 l/min, bei einem Druck von 3 bar.

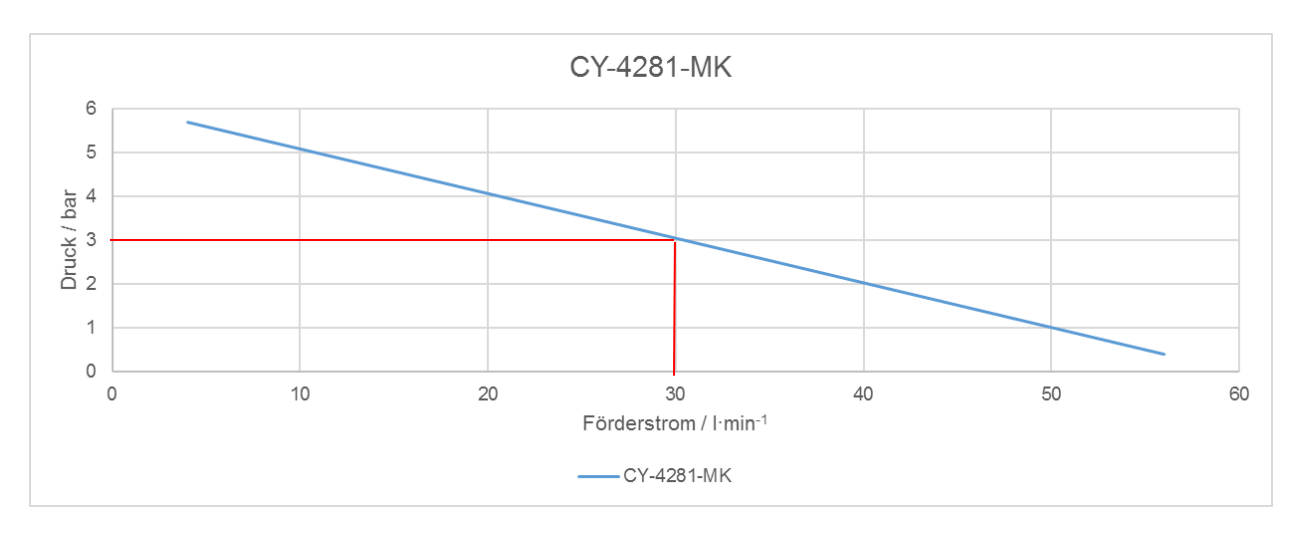


Abb. 47: Pumpenkennlinie CY-4281-MK, Quelle: Eigene Darstellung.



Abb. 48: Produktfoto CY-4281MK, Quelle: Speck (2016), Online-Quelle [20.11.2016].

### 4.2.8 Durchgangsventil

Ein einfaches Strangregulierventil aus dem Heizungsbau soll zum Regeln der Kühlleistung zum Einsatz kommen. Das Ventil VPI46 der Firma Siemens, wie in Abb. 49 gezeigt, ist eine Kombination aus einem Differenzdruckregler und einem elektrisch regelbaren Durchgangsventil. Die Aufgabe des Differenzdruckreglers ist es, einen konstanten Volumenstrom bei schwankendem Eingangsdruck durch den Wärmetauscher zu gewährleisten. Das Schwanken des Eingangsdruckes wird durch die Hauptkühlleitung verursacht, da verschiedene Systeme auf dieser Leitung angeschlossen sind. Da dieses Ventil nicht im Hauptkreis platziert ist, kann die Messingausführung verwendet werden.

Aufgabe dieses Ventils ist es, die Kühlleistung durch Verändern des Volumenstroms, wie in Kapitel 2.4.4 beschrieben, durch den Wärmetauscher zu regeln.

Das zweite Ventil hat die Aufgabe die Rücklauftemperatur zu mischen, da vom Kunden die Anforderung lautet, eine maximale Rücklauftemperatur nicht zu überschreiten. Dies geschieht durch Zumischen des kalten Mediums wie in Abb. 41 dargestellt.



Abb. 49: Produktfoto Siemens V PI46, Quelle: Siemens (2016), Online-Quelle [20.11.2016].

### 4.2.9 Betriebsluftversorgung

Eine Wartungseinheit soll einen konstanten Systemdruck sowie eine gefilterte und entwässerte Luft bereitstellen. Ebenso ist die Wartungseinheit mit einem Druckschalter ausgestattet, der bei Ausfall der Luftversorgung ein Signal an die Steuerung gibt. Dadurch ist ein automatisches Abschalten der Anlage im Fehlerfall gewährleistet.

Ein nachgeschalteter, manueller Druckregler hat die Aufgabe, durch Beaufschlagung des Ausgleichsbehälters mit Druckluft, den Systemdruck einstellen zu können.

Der Temperaturanstieg einer Flüssigkeit, hat eine Ausdehnung des Volumens zur Folge. Sinkt die Temperatur, so nimmt das Volumen vice versa ab. Dabei gilt.<sup>86</sup>

$$\Delta V = \beta \cdot \Delta T \cdot V$$
 Formel 4.1 Größe Einheit Bezeichnung Kubischer Ausdehnungskoeffizient

Das steigende Volumen der Flüssigkeit mindert vice versa in einem geschlossenen System das Gasvolumen in einem Ausgleichsbehälter. Laut der allgemeinen Gasgleichung hat eine Minderung des Volumens, bei gleichbleibender Temperatur, ebenso einen Druckanstieg im System zur Folge und es gilt.<sup>87</sup>

$$P_1 \cdot V_1 = P_2 \cdot V_2$$
 Formel 4.2

Dieser ansteigende Druck wird über die Funktion der Selbstentlüftung, durch den manuellen Druckregler kompensiert. Dadurch ist ein gleichbleibender Druck im System gewährleistet. Dieser Systemdruck ist notwendig, um das Verdampfen der Flüssigkeit zu verhindern.

Wie aus der Dampfdruckkennlinie für Wasser/Glykol 50/50 im Anhang 1 ersichtlich, würde das Medium bei normalem atmosphärischem Druck von zirka 1 bar bereits bei 110 °C zu verdampfen beginnen. Um Temperaturen von bis zu 130 °C sicher gewährleisten zu können, muss daher der Druck im System auf mindestens 2 bar erhöht werden. Dadurch würde das Medium erst bei 135 °C zu verdampfen beginnen.

Ebenso kann die Gefahr der Kavitation, wie in Kapitel 2.1.4.1 beschrieben, vermieden werden, da diese ebenso von dem Dampfdruck eines Mediums abhängig ist.

Ausgewählt wurden hierfür die Wartungseinheit MU201 sowie der manuelle Druckregler RE14. Beide Komponenten sind von der, als Standardlieferant der Firma qpunkt für Pneumatik Komponenten deklarierten, Firma Stasto.

-

<sup>86</sup> Vgl. Grotz (2016), Online-Quelle [24.11.2016]

<sup>&</sup>lt;sup>87</sup> Vgl. Hering/Martin/Stohrer (2007), S. 186.

# 4.3 Konstruktion des Prototyps

In diesem Kapitel werden die wichtigsten Komponenten und Eigenschaften des Prototyps erläutert.

Ziel ist es, die Anlage so zu konstruieren, dass diese einfach skalierbar ist, ohne gravierende Änderungen im Grundaufbau vornehmen zu müssen. Diese Stufen der Skalierung sind in Tabelle 4.10 dargestellt.

Ausbaustufe	Änderungen am Rahmen	Änderungen an den Komponenten
Heizleistung	<ul> <li>Änderung der Breite der Anlage durch Änderung der Profillänge</li> </ul>	Hinzufügen oder entfernen     eines Heizelementes
Kühlleistung	<ul> <li>Änderung der Breite der Anlage durch Änderung der Profillänge</li> </ul>	Plattenanzahl des     Wärmetauschers
Rohrquerschnitt	• Keine	Rohrquerschnitt vergrößern oder verkleinern
Pumpenleistung	<ul> <li>Änderung der Höhe der Anlage durch Änderung der Profillänge sowie des Bedienerfrontbleches</li> </ul>	Stärkere oder schwächere     Pumpe
Elektrokomponenten	<ul> <li>Änderung der Tiefe der Anlage durch Änderung der Profillänge sowie des Bedienerfrontbleches</li> </ul>	Höherer oder tieferer  Schaltschrank

Tabelle 4.10: Auf listung der Ausbaustufen und der zugehörigen Änderungsmaßnahmen, Quelle: Eigene Darstellung.

Als Beispiel einer Ausbaustufe ist in Abb. 50 links, die Konditionieranlage mit 2 gelben Heizelementen, mit einer Gesamtheizleistung von 15 kW und rechts, die Konditionieranlage mit 3 gelben Heizelementen, mit einer Gesamtheizleistung von 22,5 kW, dargestellt. Dafür muss lediglich die Anlage um 40 mm verbreitert werden.

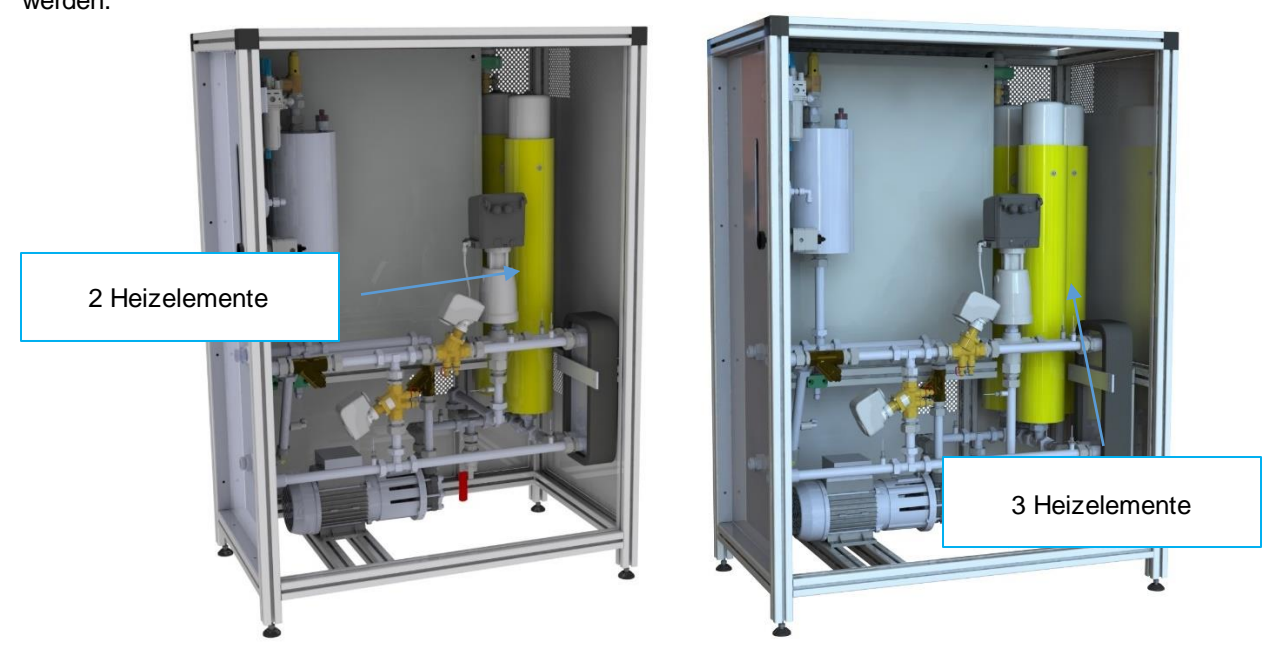


Abb. 50: Ausbaustufe der Konditionieranlage, Quelle: Eigene Darstellung

### 4.3.1 Bedienerfrontblech

Um eine einfache Handhabung der Anlage zu garantieren, sind alle wichtigen Elemente auf einer Seite der Anlage, wie in Abb. 51 dargestellt, platziert.

- Füllstandanzeige Um den Flüssigkeitsstand zu erkennen
- Eingangsdruckanzeige Um den maximalen Luftdruck einstellen zu können
- Systemdruckanzeige Um den Systemdruck ablesen zu können
- Systemdruckeinstellrad Um den Systemdruck manuell verstellen zu können
- Kühlmediumeingang Zum Anschluss an ein Kühlsystem
- Kühlmediumausgang Zum Anschluss der Rückleitung an ein Kühlsystem
- Konditionieranlage Vorlauf Zum Anschluss der Leitung zum Prüfling hin
- Konditionieranlage Rücklauf Zum Anschluss der Leitung vom Prüfling zurück

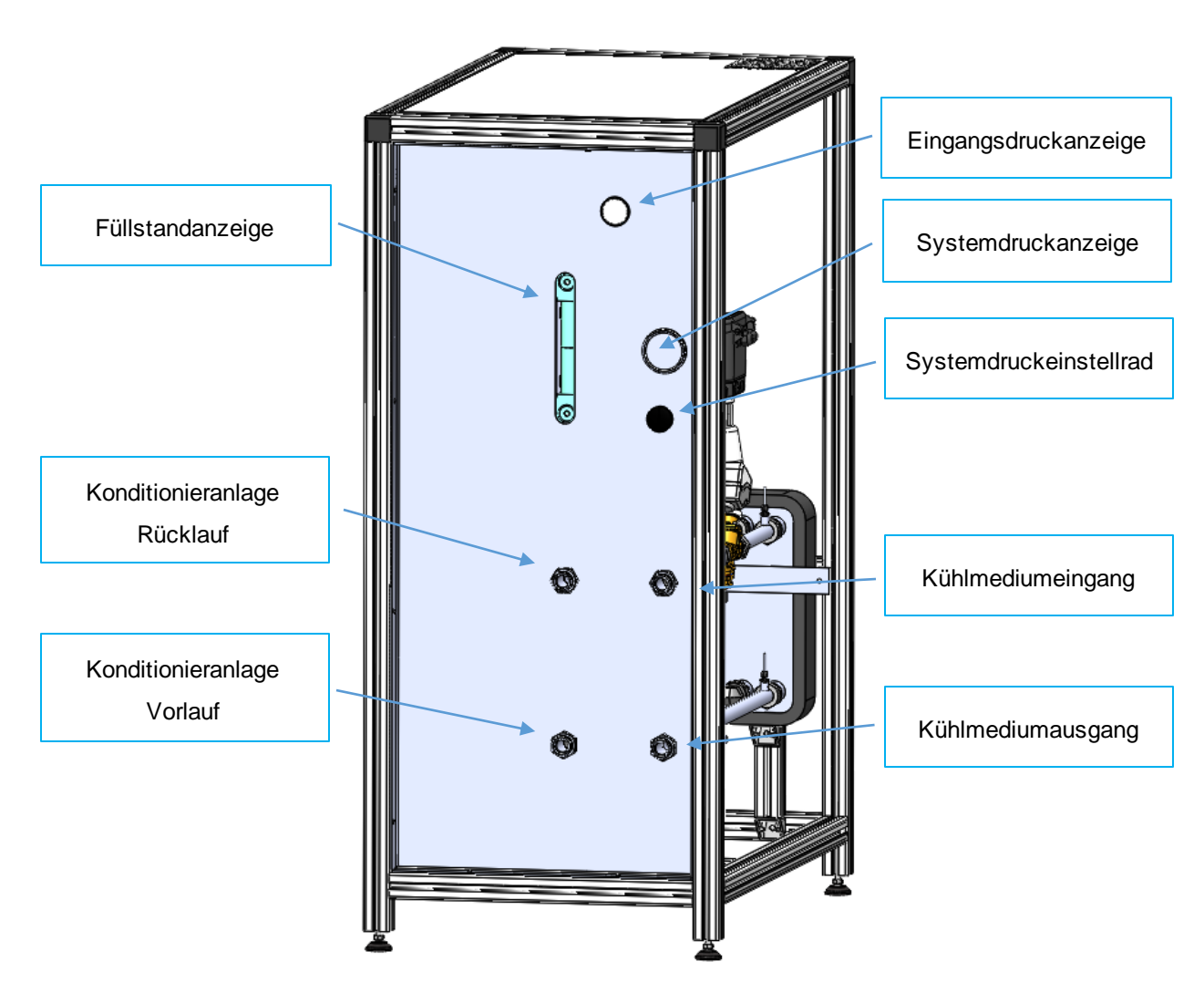


Abb. 51: Frontansicht der Konditionieranlage, Quelle: Eigene Darstellung.

#### 4.3.2 Heizelement

Das Heizelement besteht aus einem Heizelement Kopf und einem lasergeschnittenen Boden. Verbunden sind diese zwei Elemente durch ein handelsübliches 2 Zoll Edelstahlrohr.

Dieses ist so konstruiert, dass mehrere mögliche Rohrdimensionen abgedeckt werden können. Durch Gewindebohrungen am Heizelement Kopf und Heizelement Boden, ist es möglich, verschiedene Größen von Rohrverschraubungen einsetzen zu können. Eine weitere Gewindebohrung ermöglicht den Anschluss einer Entlüftungsleitung. Diese ist nötig um die Luft aus dem System heraus zu bekommen.

Das Heizelement wird in den Kopf eingeschraubt und zum Abdichten kommt ein O-Ring aus dem im Kapitel 4.2 erarbeiteten Dichtmaterial zum Einsatz.

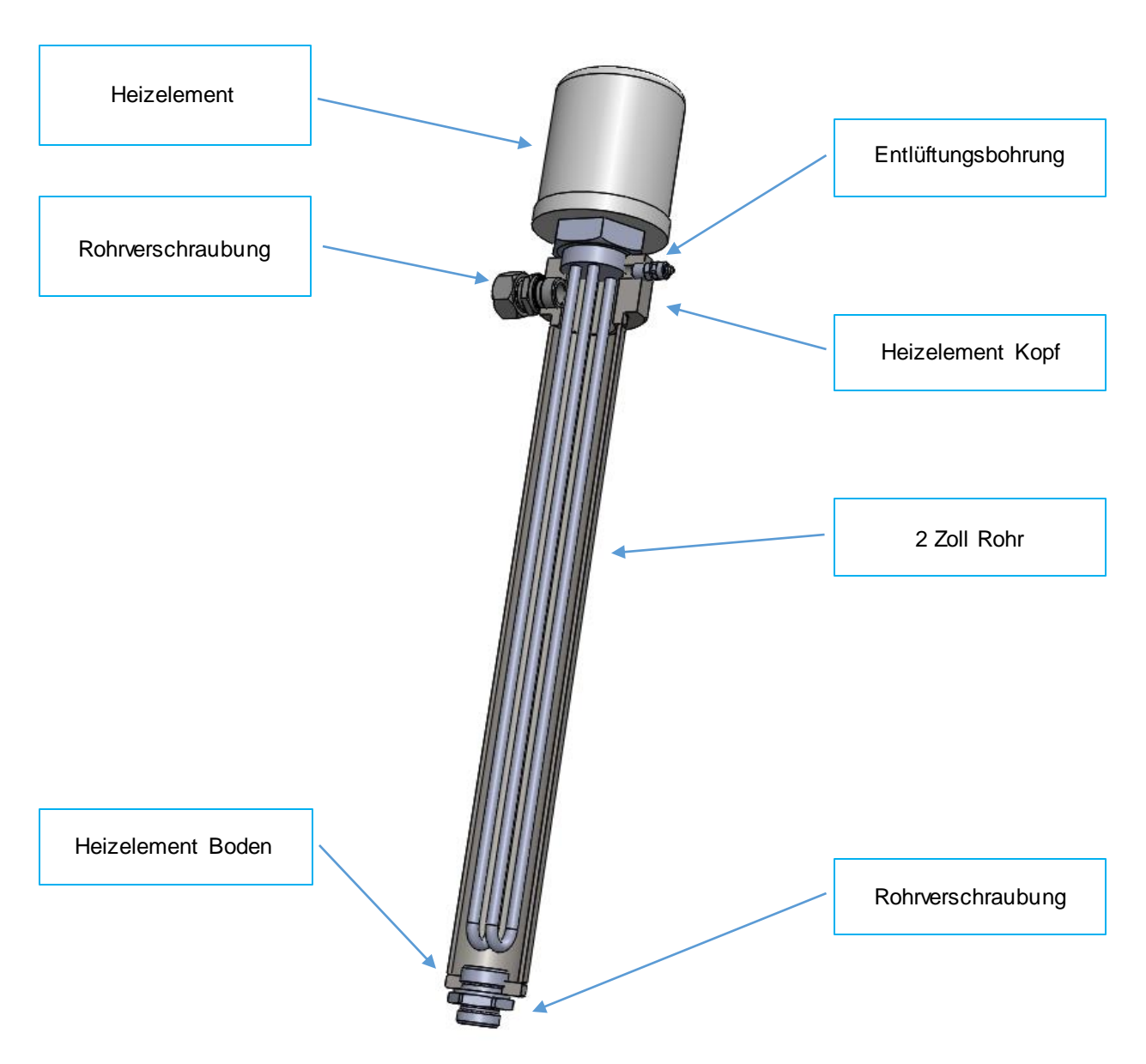


Abb. 52: Aufgeschnittenes Heizelement, Quelle: Eigene Darstellung.

## 4.3.3 Ausgleichsbehälter

Ändert sich die Temperatur einer Flüssigkeit, so hat dies wiederum eine Änderung des Volumens, wie in Kapitel 4.2.9 beschrieben, zur Folge.

Aufgabe des Ausgleichsbehälters ist es daher, das Schwanken des Volumens im System auszugleichen. Um das passende Ausgleichsvolumen für die Konditionieranlage bereitstellen zu können, muss die Ausdehnung des Mediums mit der Formel 4.1 berechnet werden.

Um das Gesamtvolumen des Systems berechnen zu können, müssen die Volumina der Rohrleitungen und Komponenten, wie in Tabelle 4.11, berechnet werden.

Die Werte der Volumina wurden aus dem Konstruktionsprogramm Solid Works sowie aus den Herstellerdatenblättern entnommen. Da der Prüfling im konkreten Fall derselbe Wärmetauscher wie in der Konditionieranlage ist, können die selben Werte verwendet werden.

	Volumen / I
Leitung	8,4
Heizelemente	4,6
Wärmetauscher	0,054
Prüfling	0,054
Summe	13,1

Tabelle 4.11: Gesamtvolumen der Konditionieranlage, Quelle: Eigene Darstellung.

$$\Delta V = \beta \cdot \Delta T \cdot V = 0.0006 \text{ K}^{-1} \cdot (140^{\circ}C - (-20^{\circ}C)) \cdot 0.0131 \text{m}^{3} = 1.26 \cdot 10^{-3} \text{m}^{3}$$

Das entspricht einer Ausdehnung des Volumens von 1,26 I. Folglich muss der Ausgleichsbehälter ein Volumen von mindestens 2 I besitzen (1,26 I + 0,74 I Sicherheit).

Es sei angemerkt, dass bei der Anlage keine besonderen Überprüfungen hinsichtlich der Druckgeräteüberwachungsverordnung zu beachten sind, da die Anlage in die Klasse der Druckgeräte mit niedrigem Gefahrenpotential eingestuft ist.<sup>88</sup>

-

<sup>88</sup> Vgl. TÜV-SÜD (2016), Online-Quelle [20.11.2016]

## Konstruktion eines Prototyps

Der Ausgleichsbehälter besteht im Wesentlichen aus folgenden Elementen:

- Sicherheitsventil Um im Fehlerfall einen Überdruck sicher ablassen zu können
- Druckluftanschluss Um das System mit Druck zu beaufschlagen
- Füllstandanzeige Um den Flüssigkeitsstand ablesen zu können
- Systemdrucksensor Zum Messen des Systemdrucks
- Füllanschluss Zum Befüllen der Anlage
- Level Schalter Um im Fehlerfall die Anlage zu stoppen

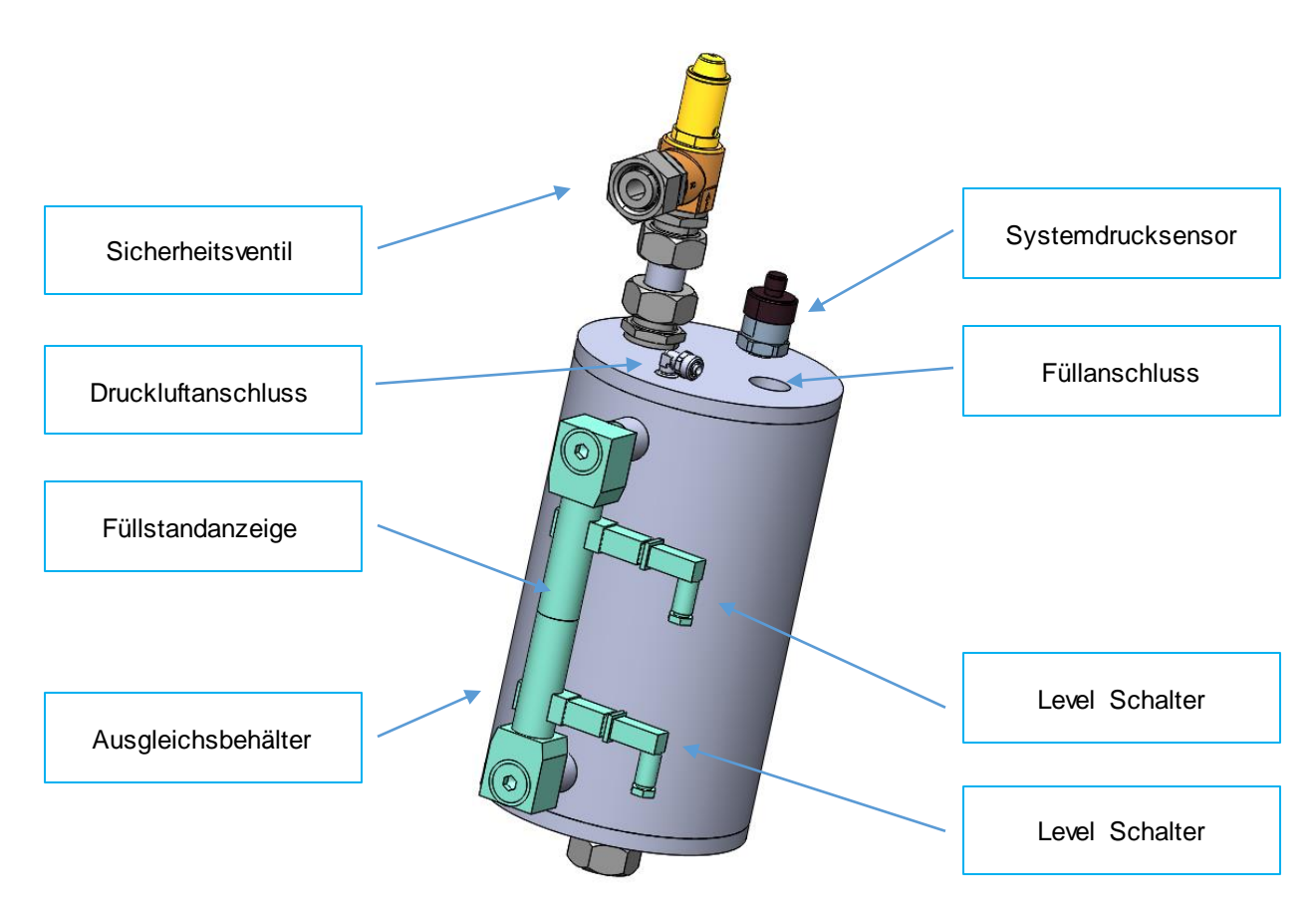


Abb. 53: Ausgleichsbehälter, Quelle: Eigene Darstellung.

#### 4.3.4 Messstellen

Um die Temperatur in den Leitungen messen zu können, werden Messstellen, wie in Kapitel 4.2.6 beschrieben, für die Klemmverschraubung der Temperatursensoren benötigt. Diese werden auf das Rohr an der gewünschten Stelle aufgeschweißt. Eine Querbohrung im Rohr ermöglicht dem Sensor das Messen der Temperatur im Inneren des Rohres.

Zur Abdichtung der Verschraubung kommt ein O-Ring, aus dem im Kapitel 4.2 erarbeiteten Dichtmaterial, zum Einsatz.

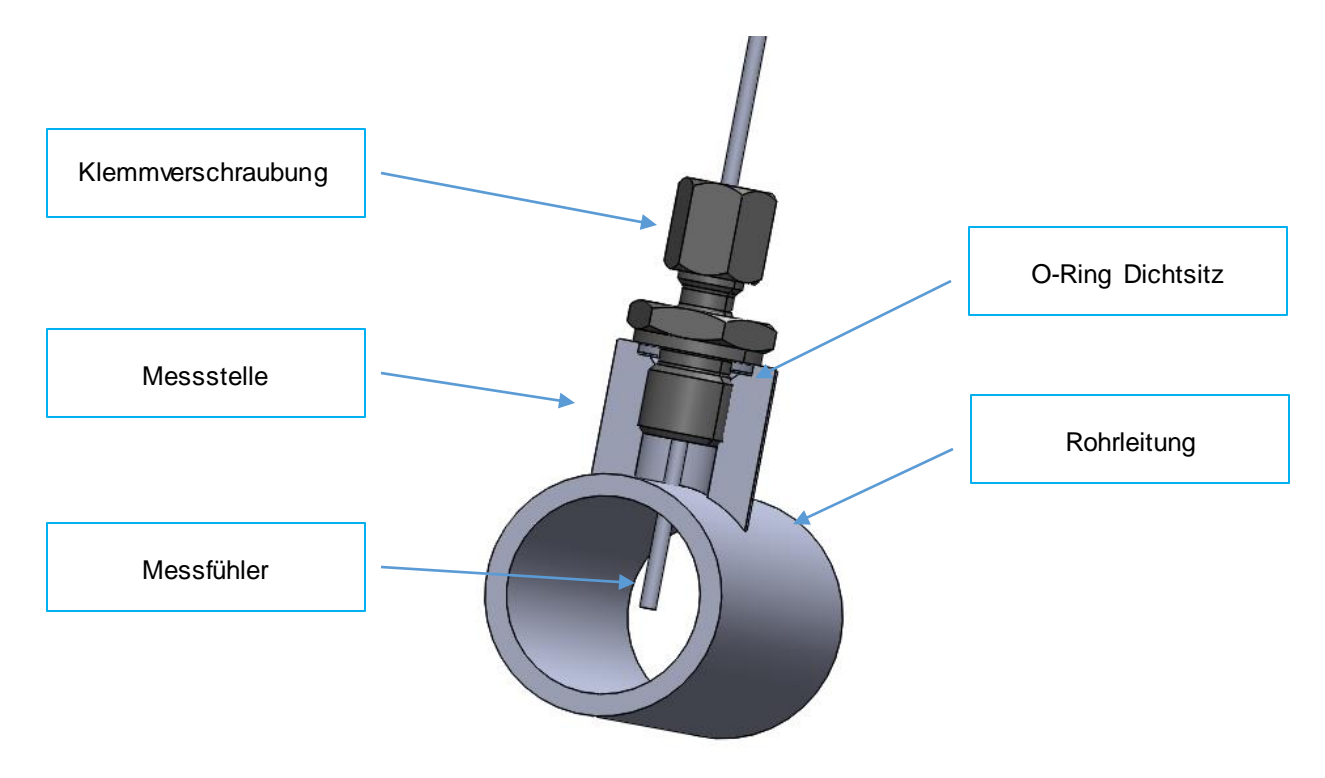


Abb. 54: Temperaturmessstelle in einer Rohrleitung, Quelle: Eigene Darstellung.

## 4.4 Steuerung und Hardware

Die Steuerung der Anlage hat die Aufgabe, alle verwendeten Aktoren der Anlage zu steuern oder zu regeln beziehungsweise alle Sensoren auszuwerten.

Als Steuerung für die Anlage wurde seitens der Firma qpunkt eine *Siemens* S7- 1200 SPS, kurz **S**peicher **P**rogrammierbare **S**teuerung, definiert. Grund für die Auswahl ist es, dass Steuerungen dieses Herstellers am häufigsten für Anlagen von Kunden gewünscht werden. Die Steuerung besteht im Wesentlichen, wie in Abb. 55 dargestellt, aus einer CPU (PLC) mit digitalen Eingängen (AI) sowie aus Modulen, mit digitalen Ausgängen (DQ), analogen Ein (AI)- und Ausgängen (AQ) sowie aus Temperaturmessmodulen (AI - RTD).

#### Anforderungen:

- Druck Messgenauigkeit ± 0,5 bar.
- Temperatur Messgenauigkeit ± 0,1 °C.
- Schnittstelle zu Mastersystemen.

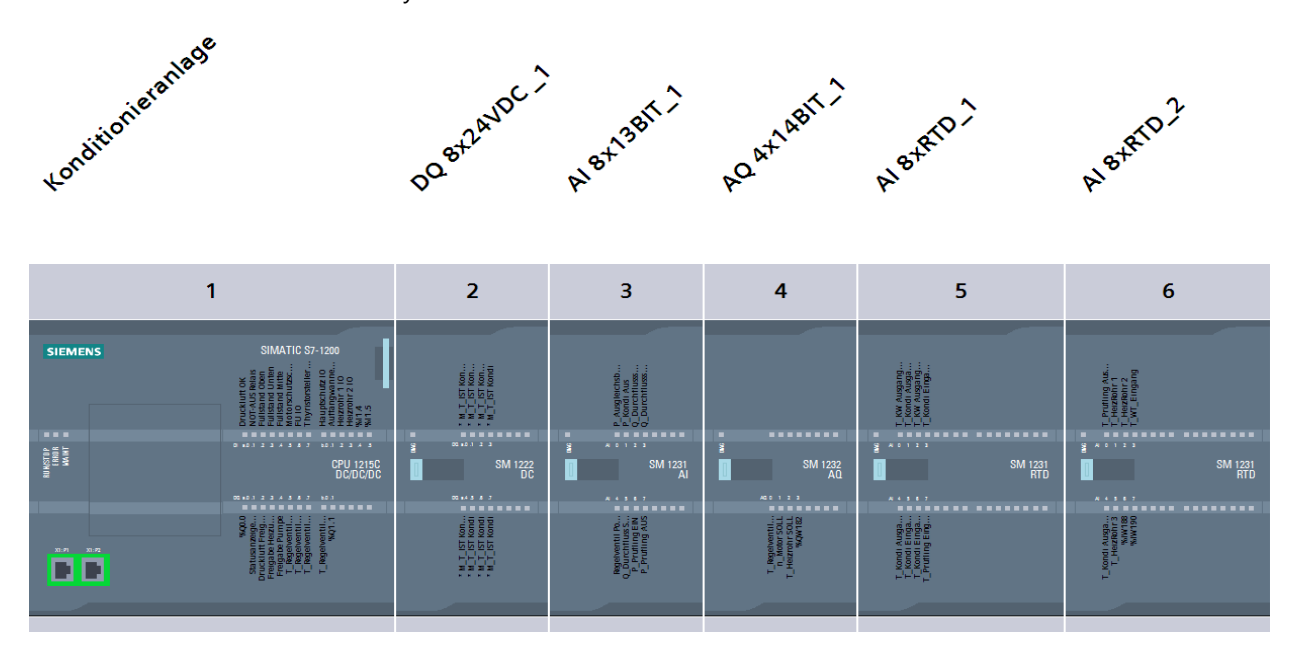


Abb. 55: SPS Module der Konditionieranlage, Quelle: Eigene Darstellung.

Um die schwachen Signale der Steuerung in nutzbare Signale zu verwandeln, werden folgende Komponenten zusätzlich zur SPS benötigt:

#### Thyristorsteller

Der Thyristorsteller hat die Aufgabe, die gewünschte Heizleistung für die Heizelemente bereitzustellen. Dieser wandelt das analoge Signal von (4-20) mA der SPS in (0-20) kW Heizleistung für die Heizelemente um.

### Frequenzumformer

Die Aufgabe des Frequenzumformers ist es, wie in Kapitel 2.1.5.1 beschrieben, das (4-20) mA Signal der SPS in (0-100) % der Pumpendrehzahl umzuwandeln, um dadurch den Volumenstrom der Anlage verändern zu können.

## **5 REALISIERUNG PROTOTYP**

Um das ausgewählte Konzept validieren zu können, wird in diesem Kapitel die Realisierung eines Prototyps beschrieben. Die Hauptkomponenten, wie der Schaltschrank, die Software sowie die Regelung und die praxisorientierte Verifizierung, werden in den folgenden Unterkapiteln näher erläutert.

## 5.1 Schaltschrank

Im Schaltschrank befinden sich alle elektronischen Bauteile, wie die SPS, der Thyristorsteller, der Frequenzumformer, Sicherungen sowie Relais zum Schalten der Ventile. Ein Sicherheitsrelais stellt das Abschalten der Anlage, über zwei in Serie geschaltete Schütz, sicher.



Abb. 56: Schaltschrank des Prototyps, Quelle: Eigene Darstellung.

## 5.2 Software

Zum Programmieren des Prototyps wird die Programmierumgebung TIA-Portal der Firma Siemens verwendet.

Um die Anlage kosteneffizient betreiben zu können, sollen verschiedene Betriebsmodi zur Verfügung stehen. Diese können beim Starten der Software ausgewählt werden und sind in Abb. 57 anhand eines Flussdiagramms dargestellt.

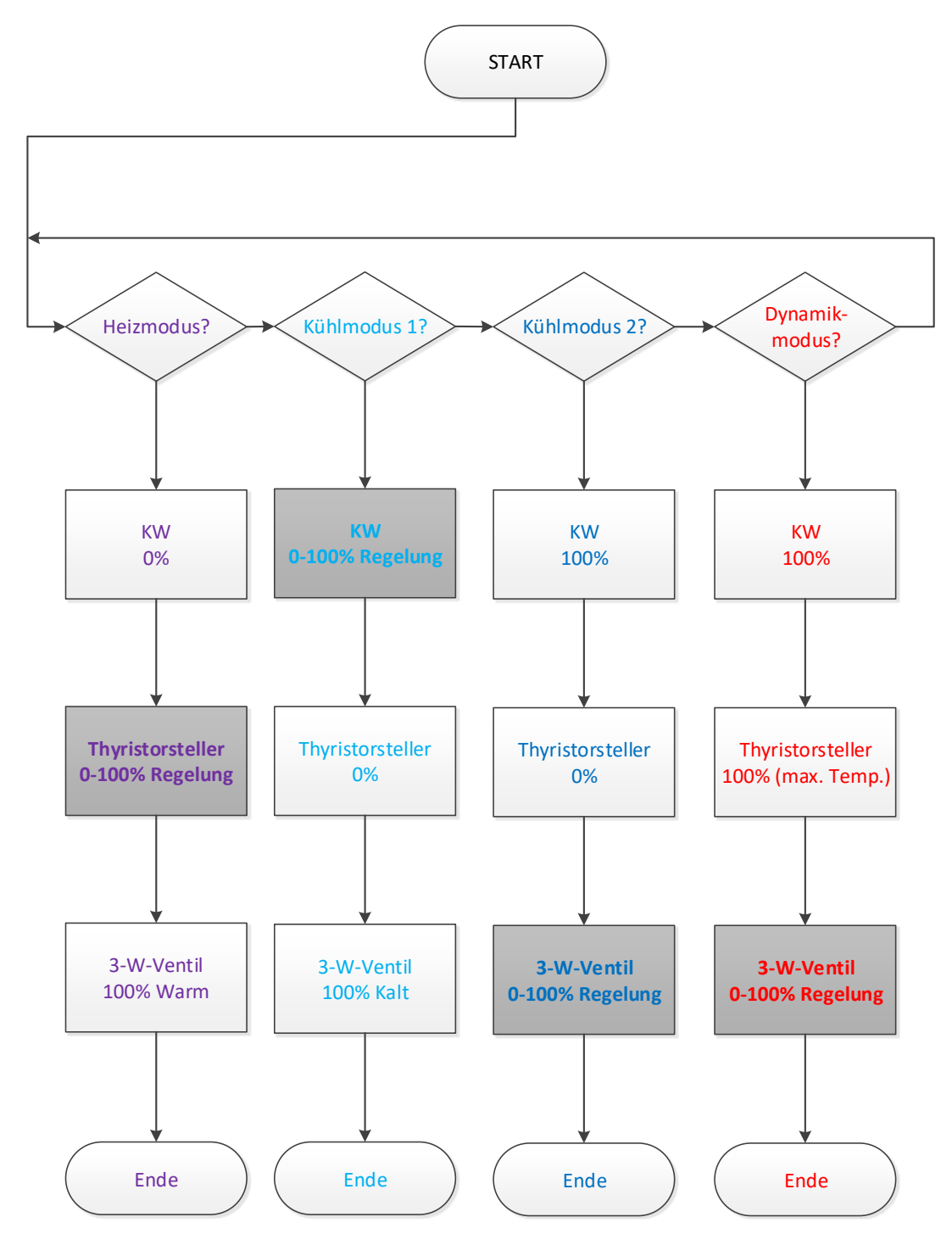


Abb. 57: Flussdiagramm Betriebsmodus, Quelle: Eigene Darstellung.

In Tabelle 5.1 sind die genauen Eigenschaften der Betriebsmodi beschrieben.

Heizmodus	<ul> <li>Nur zum Beheizen des Prüflings</li> <li>Regelung erfolgt über Thyristorsteller</li> <li>Für langsame Änderungsgeschwindigkeiten</li> </ul>
Kühlmodus 1	<ul> <li>Nur zum Kühlen des Prüflings</li> <li>Regelung erfolgt über die Leistungsänderung des Kühlmediums</li> <li>Für sehr langsame Änderungsgeschwindigkeiten</li> </ul>
Kühlmodus 2	<ul> <li>Nur zum Kühlen des Prüflings</li> <li>Regelung erfolgt über Mischventil</li> <li>Für langsame Änderungsgeschwindigkeiten</li> </ul>
Dynamikmodus	<ul> <li>Nur zum Kühlen und Beheizen des Prüflings</li> <li>Regelung erfolgt über Mischventil</li> <li>Für schnelle Änderungsgeschwindigkeiten</li> </ul>

Tabelle 5.1: Beschreibung der Betriebsmodi, Quelle: Eigene Darstellung.

Zur einfachen Bedienung des Prototyps dient ein Bedienpanel, welches auf einem PC simuliert wird. Alle wichtigen Messwerte und Parameter zur Steuerung der Anlage sind, wie in Abb. 58 dargestellt, am Bildschirm ersichtlich.

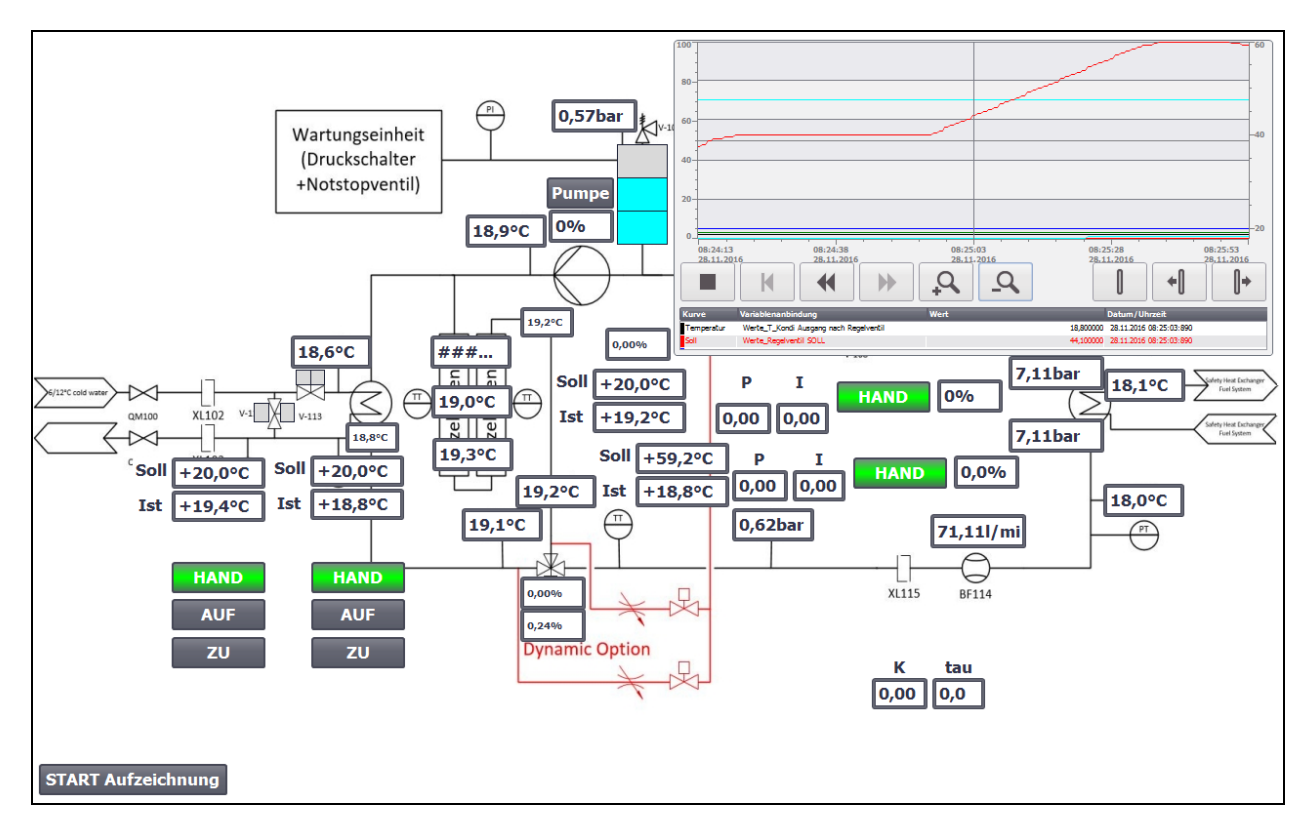


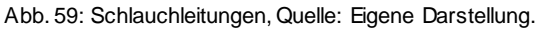
Abb. 58: Bedienoberfläche des Prototyps, Quelle: Eigene Darstellung.

## 5.3 Realer Aufbau

Um das Konzept validieren zu können, wird die Anlage wie in Kapitel 3.9 beschrieben, modifiziert, um so einen realen Fall darstellen zu können. Die schwarzen Schlauchleitungen, wie in Abb. 59 gezeigt, stellen die Entfernung von der Konditionieranlage im Keller bis zum Ventil im Prüfraum dar. Die weißen Leitungen, wie in Abb. 60 gezeigt, stellen die Zirkulationsleitungen dar.

Durch handelsübliche Drosselventile wird der benötigte Volumenstrom zur Kompensation des Temperaturverlustes über die Leitungen, wie in Kapitel 3.3.1 beschrieben, eingestellt. Durch diese einfache Modifizierung können in Folge Testmessungen an der Anlage durchgeführt werden, um das erarbeitete Konzept validieren zu können.





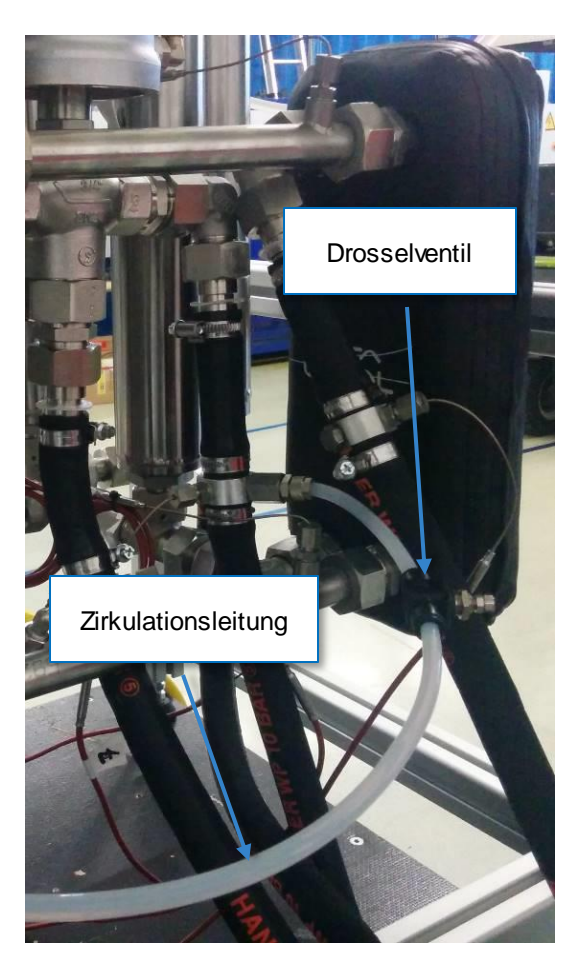


Abb. 60: Drosselventil und Zirkulationsleitung, Quelle: Eigene Darstellung.

Als Prüfling werden zwei vorhandene Wärmetauscher in Serie geschaltet, um den maximalen Druckverlust von 0,5 bar zu simulieren.

## 5.4 Regelung

Um Testversuche am Prototyp durchführen zu können, müssen wesentliche Grundparameter für die Reglung der Konditionieranlage in die SPS implementiert werden. Dazu muss eine Sprungantwort aufgezeichnet werden, um die Regelparameter für die Heizung sowie für das Mischventil berechnen zu können. Die dazu nötigen Schritte werden in den folgenden Punkten erläutert. Die Regelung des Kühlmediums erfolgt durch eine, wie in Kapitel 2.4.2.1 beschriebene, 3-Punktregelung.

Es sei angemerkt, dass es nicht Ziel dieser Arbeit ist, eine optimale Reglung der Konditionieranlage zu entwickeln. Notwendige Schritte dazu werden im Ausblick der Arbeit aufgezählt. Diese dienen als Basis zur weiteren Vorgehensweise.

### 5.4.1 Sprungantwort

Zur Berechnung der benötigten Parameter für die Regelung, müssen die relevanten Werte, wie Zeit, die Werte des Sprunges und die Antwort des Systems auf den Sprung aufgezeichnet werden, um diese später analysieren zu können. Die Aufzeichnung dieser Werte geschieht direkt über die SPS der Konditionieranlage, durch Abtasten der verschiedenen Signale. Diese werden dann in einer CSV Datei gespeichert. Die Abtastzeit der Messwerte beträgt 0,1 Sekunden. Diese Auflösung ist für die Analyse und für die weitere Berechnung völlig ausreichend, da die Regelstrecke der Temperatur eine sehr langsame ist. Wie in Abb. 61 ersichtlich, handelt es sich bei der gemessenen Kennlinie, wie in Kapitel 2.4.3 beschrieben, um die eines PT1-Systems mit Totzeit. Die Totzeit Tu resultiert aus der Länge des Heizelementaustritts, bis zur Temperaturmessstelle. In Abhängigkeit des Volumenstroms würde sich die Totzeit verlängern oder verkürzen.

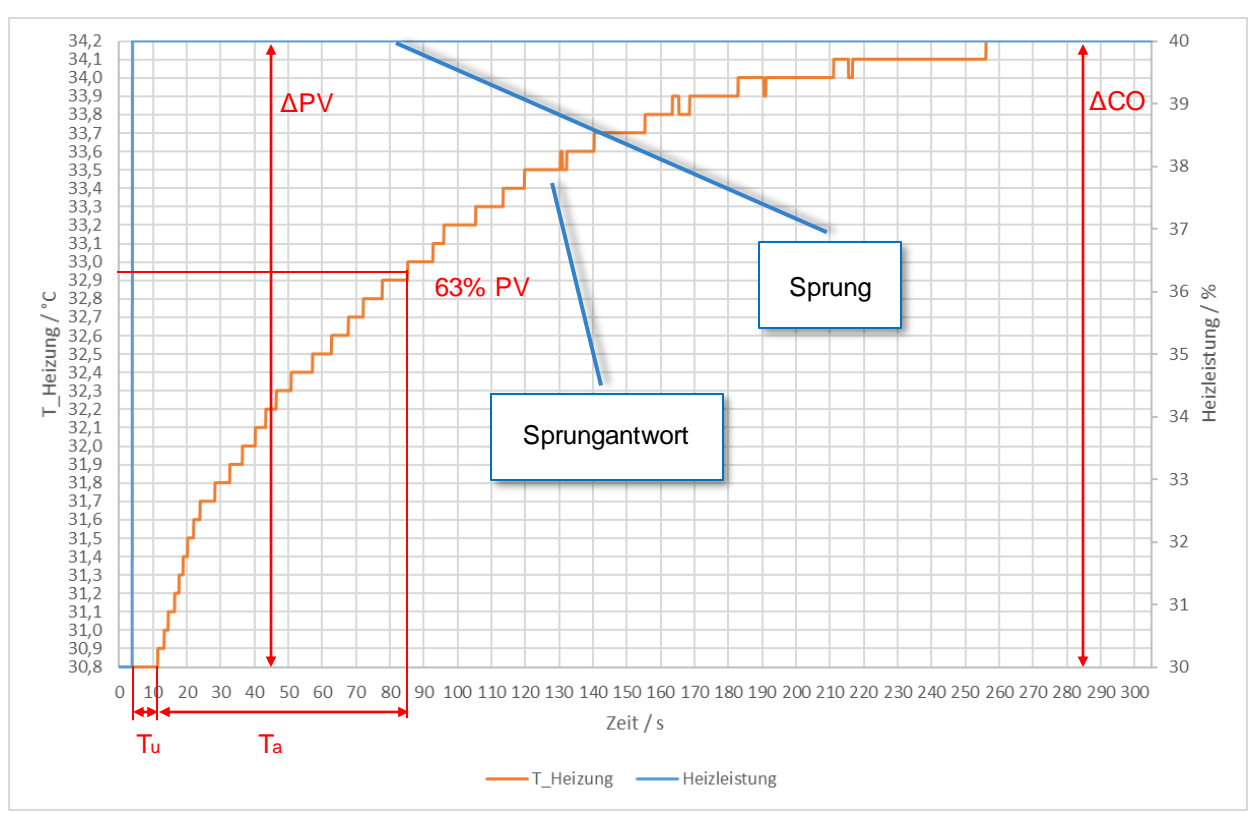


Abb. 61: Sprungantw ort der Heizung, Quelle: Eigene Darstellung.

#### Realisierung Prototyp

Da sich im Unternehmen, anhand von langjähriger Erfahrung, die Verwendung eines reinen PI-Reglers, für eine Temperaturregelung, als ausreichend herausgestellt hat, wird zur Reglung der Konditionieranlage ein solcher verwendet. Ein PID-Regler hätte, wie in Kapitel 2.4.3 erläutert, ein eher instabiles Verhalten und neigt zum Schwingen, da die Auflösung der Temperaturmessung bei 0,1 K ist. Das bedeutet, der D- Anteil würde bei jeder Temperaturänderung sehr stark auf die Regelung einwirken.

Die Berechnungen der Parameter  $K_p$  und  $K_i$  für einen PI-Regler, erfolgen durch die Einstellregeln nach Morari und lauten wie folgt.<sup>89</sup>

T			Einheit	Bezeichnung
$K_p = \frac{T_a}{K_s \cdot (T_u + T_a)}$	Formel 5.1	$K_p$		Proportionalfaktor
		$K_s$		Stationäre Verstärkung
		Größe	Finheit	Rezeichnung
$K_i = \frac{K_p}{T_a}$	Formel 5.2		Lillion	
		$K_i$		integrationalation
		Größe	Einheit	Bezeichnung
$K_s = \frac{\Delta PV}{\Delta CO}$	Formel 5.3	PV		Prozessvariable
ΔΕ.Ο		СО		Regler Ausgang
$\Delta PV$		PV	Einheit	Prozessvariable

Die abgelesenen Werte aus der Sprungantwort in Abb. 61 werden folglich in die Formel 5.1 eingesetzt. Zur Parametrierung des Reglers werden die errechneten Parameter in die SPS implementiert.

$$K_p = \frac{T_a}{\frac{\Delta PV}{\Delta CO} \cdot (T_u + T_a)} = \frac{71 \text{ s}}{\frac{34,2 - 30,8}{40 - 30} \cdot (7 \text{ s} + 71 \text{ s})} = 2,68$$

$$K_i = \frac{2,68}{71} = 0.038$$

Da die Heizleistung und die Sprungantwort vom Volumenstrom durch die Heizelemente und dem Temperaturbereich abhängig sind, muss zur Optimierung der Regelung die Sprungantwort bei verschiedenen Volumenströmen aufgezeichnet und die zugehörigen Regelparameter berechnet werden. Die Optimierung wird im Ausblick der Arbeit kurz erläutert.

<sup>89</sup> Vgl. Cooper (2015), Online-Quelle [27.11.2016].

#### 5.4.2 Ventilkennlinie

Um eine dynamische Änderung der Temperatur gewährleisten zu können, wird das im Kapitel 2.4.1 beschriebene Steuern und Regeln für das Mischventil miteinander, wie in Abb. 62 dargestellt, kombiniert. Der Sollwert für das Mischventil wird über eine Steuerung, durch die Stellgröße, vorgegeben. Die noch vorhandene Regelabweichung zum Istwert wird über einen Regler durch dessen Stellgröße kompensiert.

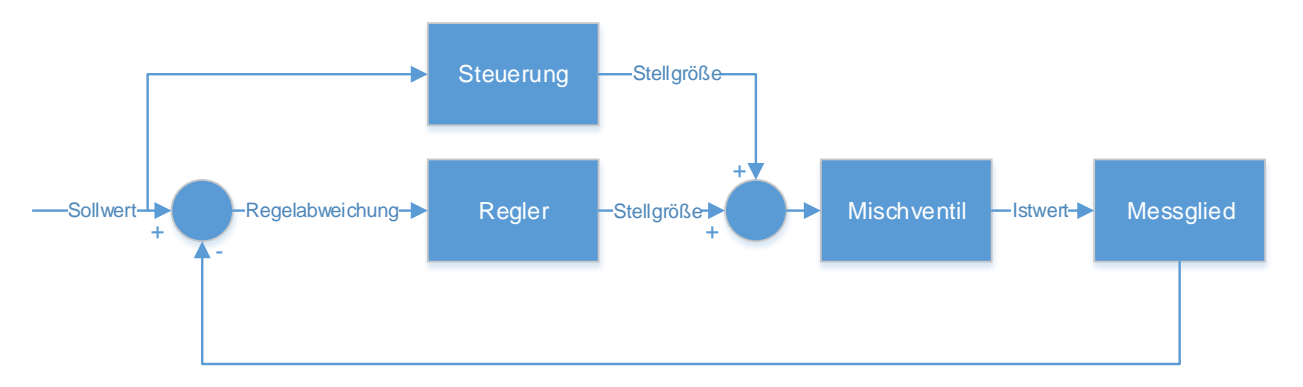


Abb. 62: Regler Struktur, Quelle: Eigene Darstellung.

In der Steuerung ist die passende Kennlinie für das Ventil hinterlegt. Um diese für die Steuerung des Ventils in der SPS hinterlegen zu können, muss die Kennlinie des Ventils durch empirische Versuche ermittelt werden.

Dazu werden mehrere Ventilstellungen eingestellt und dem zugehörigen Temperaturwert in einem Diagramm gegenübergestellt. Die aufgezeichneten Werte stellen eine tanh() Funktion dar, welche mit Hilfe der Software *Matlab* in eine mathematische Funktion angenähert werden kann. Damit ist es möglich, alle beliebigen Temperaturen der Ventilstellung zuzuordnen.

Matlab ist nicht nur ein Softwarepaket, sondern ebenso eine eigene Hochsprache. Es ist eines der Hauptprodukte der Firma *MathWorks*. Diese Software ist für numerische Berechnungen von komplexen mathematischen Aufgaben, Signalverarbeitung und Kommunikation, Bild- und Videoverarbeitung, Steuerungssysteme, Messtechnik, Finanzberechnungen sowie für die Darstellung und Analyse von Daten aus dem wissenschaftlichen Bereich, eines der meist verbreiteten Programme. Ursprünglich wurde es an der "University of New Mexico" und der "Standford University" entwickelt. Diese Entwicklung sollte mathematische Kurse unterstützen. Im Vordergrund stand dabei die Darstellung von Zahlenmaterial in einer Matrix. Daraus resultiert auch der Name "MATrix LABoratory" kurz *Matlab*.90

-

<sup>&</sup>lt;sup>90</sup> Vgl. MathWorks (2016), Online-Quelle [26.11.2016]

#### Realisierung Prototyp

Die Funktion tanh() ergibt Werte zwischen -1 und 1. Wird die Funktion auf tanh() + 1 erweitert, so ergeben sich Werte zwischen 0 und 2. Um folglich den Bereich der Ventilstellung darstellen zu können, wird die Funktion auf 50 tanh() + 1 erweitert, um Werte zwischen 0 und 100 abbilden zu können. Um die Funktion an die gemessenen Werte annähern zu können, muss diese um zwei weitere Parameter, wie in Formel 5.4, erweitert werden.

Die Annäherung der mathematischen Funktion an die gemessenen Werte erfolgt durch zufällig eingesetzte Zahlenwerte, für die Parameter P1 und P2 und ist in Abb. 63 dargestellt. Diese Prozedur wird in einer Schleife 50000-mal wiederholt. Dieser Zyklus sucht die kleinste Abweichung zur gemessenen Kennlinie. Die gefundenen Werte stellen dann die nötige Gleichung von der Kennlinie dar.

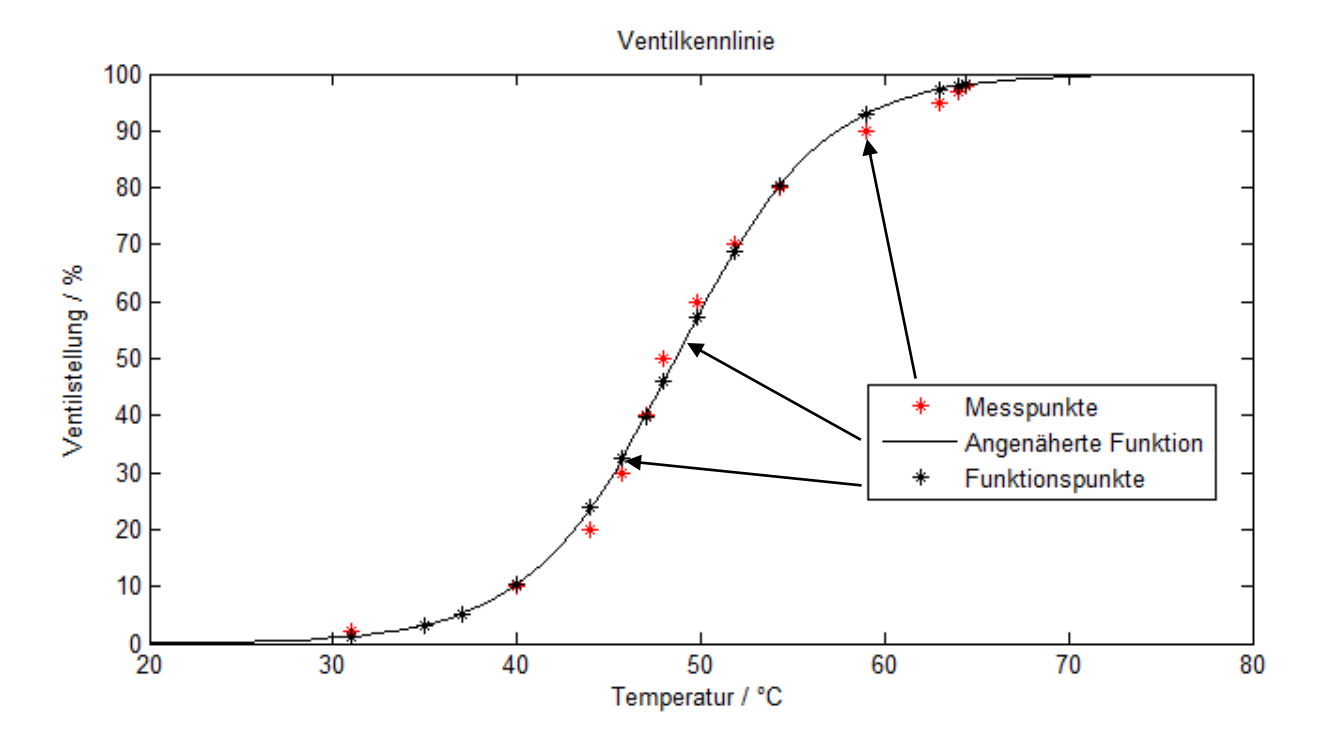


Abb. 63: Ventilkennlinie durch tanh() Funktion angenähert, Quelle: Eigene Darstellung.

Mit der angenäherten Funktion ist es nun möglich, jeden beliebigen Betriebspunkt steuern zu können. Die restliche Abweichung zum Sollwert wird durch einen PI-Regler ausgeregelt. Um die passenden Parameter für den Regler zu finden, muss, wie in Kapitel 2.4.3 beschrieben, eine Sprungantwort des Systems aufgezeichnet werden. Dies geschieht auf die selbe Methode wie in Kapitel 5.4.1 beschrieben und wird daher an dieser Stelle nicht noch einmal erläutert.

## 5.5 Praxisorientierte Verifizierung

Um die Funktionalität der Konditionieranlage verifizieren zu können, werden verschiedene Vorgabekurven nachgebildet und Messungen durchgeführt. In den folgenden Punkten werden die Messungen und das Verhalten der Anlage bei verschiedenen Vorgaben genauer erörtert.

Das Ziel dieser Messungen besteht darin, den Soll- und Istwert der Temperatur zu messen. Das Ergebnis der errechneten Regelabweichung kann folglich mit den Anforderungen aus Kapitel 4.1 verglichen werden.

## 5.5.1 Rampenfahrt

Um dynamische Änderungen der Temperatur generieren zu können, dient eine willkürliche Rampe als Sollwertvorgabe. Die erste Aufzeichnung wird nur durch die Steuerung der Ventilkennlinie, ohne Zuschalten eines PI-Reglers, durchgeführt.

Die in Abb. 64 dargestellte Messung zeigt deutlich, dass eine Regelabweichung zwischen der vorgegebenen Soll- Kennlinie (T-Soll) und der tatsächlichen lst- Kennlinie (T-Ist) besteht. Diese beträgt zwischen 3,7 K über und 0,9 K unterhalb des Sollwertes, im Durchschnitt 1,1671 K über dem Sollwert mit einer Standardabweichung von 1,303 K. Aus den gewünschten Anforderungen geht hervor, dass eine Steuerung alleine nicht ausreichend ist, um diese zu erfüllen. Die durchschnittliche Regelabweichung von 1,1671 K ist größer als die gewünschte, maximale Regelabweichung von ±0,5 K im dynamischen Betrieb.

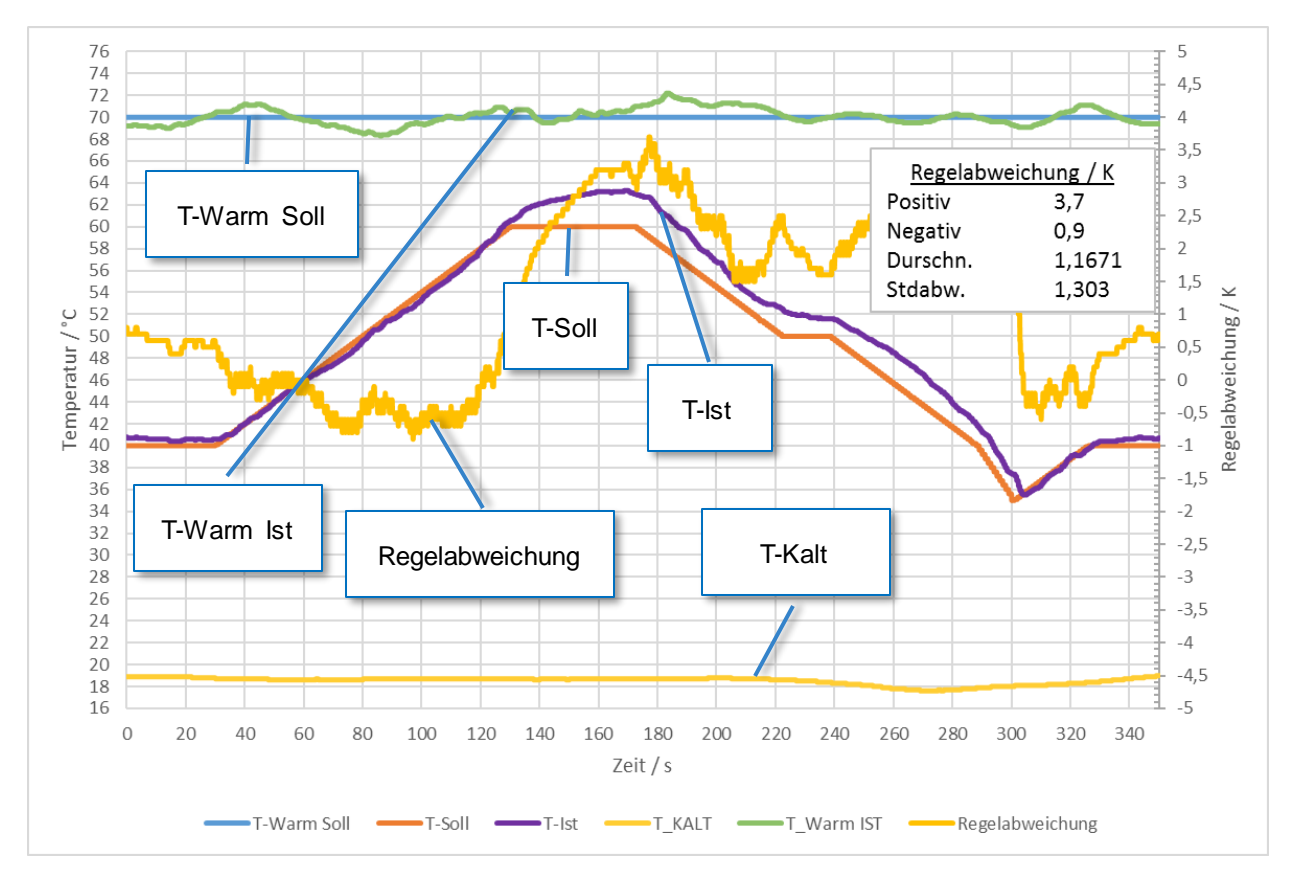


Abb. 64: Rampenfahrt nur mit Ventilkennlinie ohne Regelung, Quelle: Eigene Darstellung.

#### Realisierung Prototyp

Um diese Abweichung zu kompensieren, wird im zweiten Versuch dem gesteuerten Ventil, wie in Kapitel 5.4.2 beschrieben, ein PI- Regler hinzugefügt.

Der Versuch, wie in Abb. 65 dargestellt, mit der Kombination aus Steuerung und Regelung zeigt eine deutliche Verbesserung der Regelabweichung. Diese beträgt zwischen 1 K über und 1,6 K unterhalb des Sollwertes, im Durchschnitt 0,00206 K über dem Sollwert mit einer Standardabweichung von 0,364 K. Im Vergleich zu den gewünschten Anforderungen geht hervor, dass eine deutliche Verbesserung durch die Kombination aus Steuern und Regeln erreicht wird. Die durchschnittliche Regelabweichung von 0,00206 K ist kleiner als die gewünschte, maximale Regelabweichung von ± 1 K im dynamischen Betrieb.

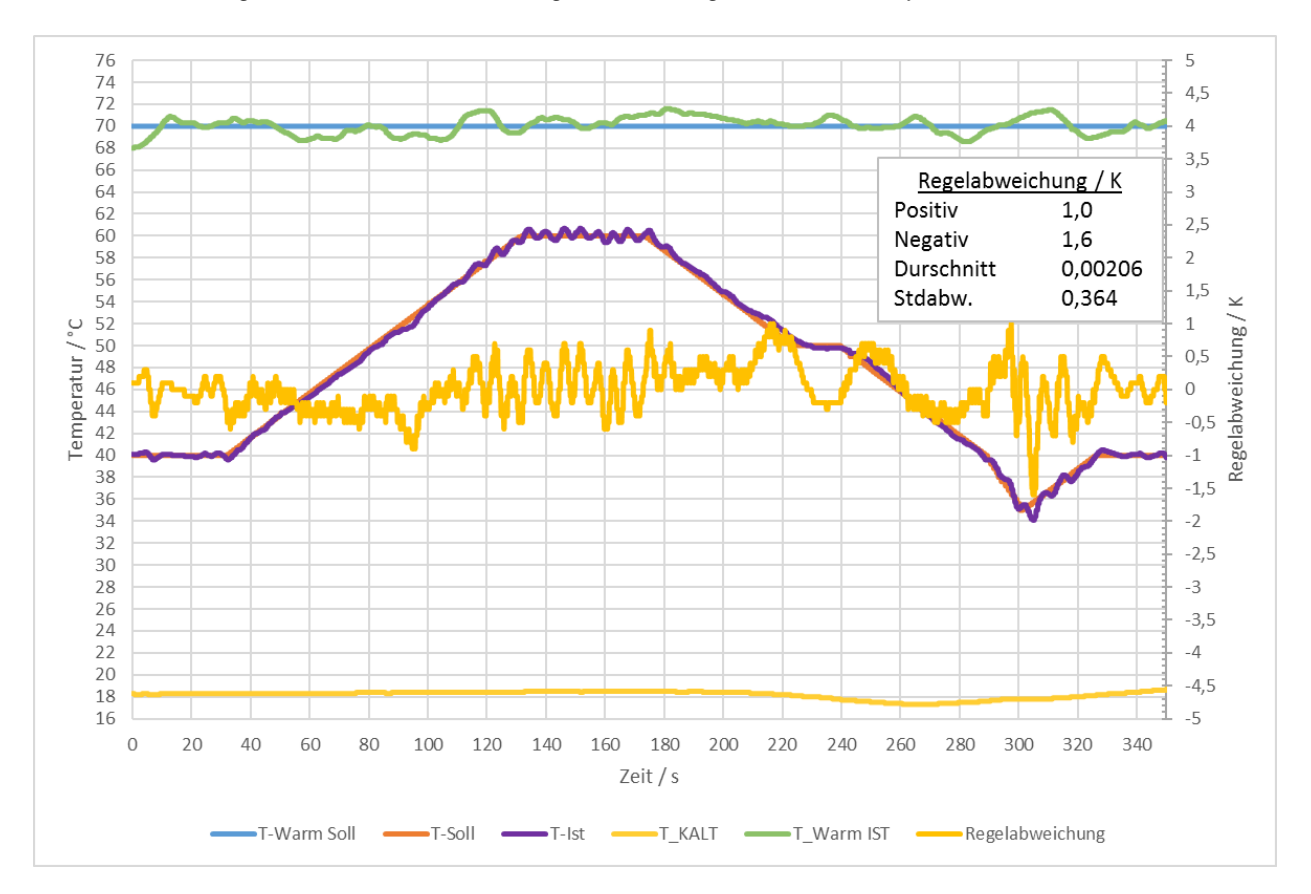


Abb. 65: Rampenfahrt mit Ventilkennlinie und Reglung, Quelle: Eigene Darstellung.

Es sei angemerkt, dass für die Versuchsmessungen lediglich eine einfache Regelung der Anlage gegeben ist. In weiterer Folge muss die Regelung optimiert werden, da für die Messung nur eine einfache Kennlinie für einen Bereich von 20 °C bis 70 °C gemessen und in der Software hinterlegt ist. Die Regelparameter für den PI- Regler sind ebenfalls nicht für jeden Temperaturbereich optimiert, worauf das leichte Schwingen bei 60 °C zurückzuführen ist.

## 5.5.2 Sprünge

Um die maximale Änderungsgeschwindigkeit der Anlage verifizieren zu können, werden Sollwertsprünge getestet. Dabei zeigt sich, wie in Abb. 66, dass mit der Konditionieranlage eine Änderungsgeschwindigkeit von 2 K/s möglich ist, was eine deutliche Verbesserung der realen Nachbildung von Fahrzyklen auf Prüfständen zur Folge hat. Die gestellte Anforderung an die Änderungsgeschwindigkeit der Konditionieranlage von 1 K/s kann somit zu 200 % erfüllt werden.

Es sei erwähnt, dass bei diesen Versuchen keine Optimierung der Regelparameter vorgenommen wurde. Dies wird, wie in dem folgenden Kapitel 6.2 erörtert, geschehen.

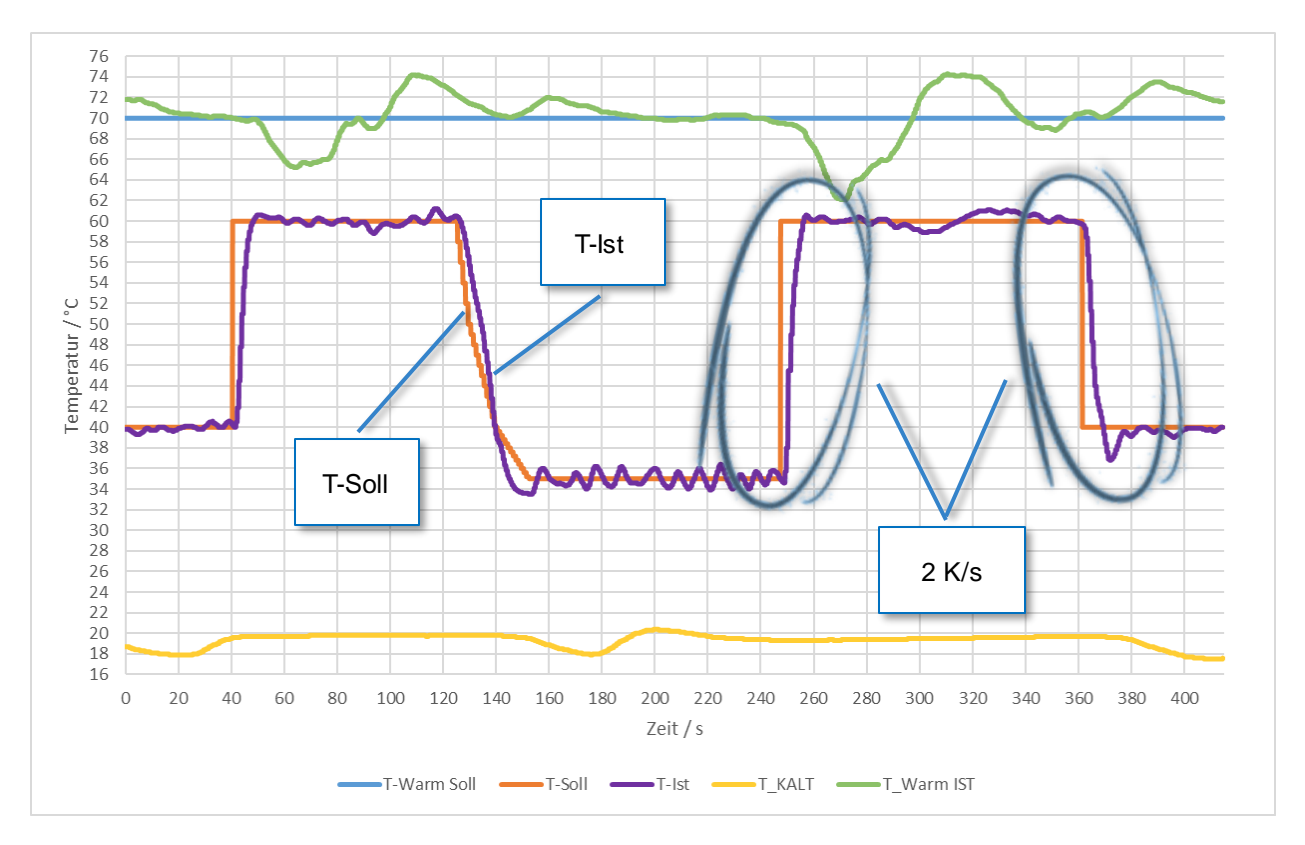


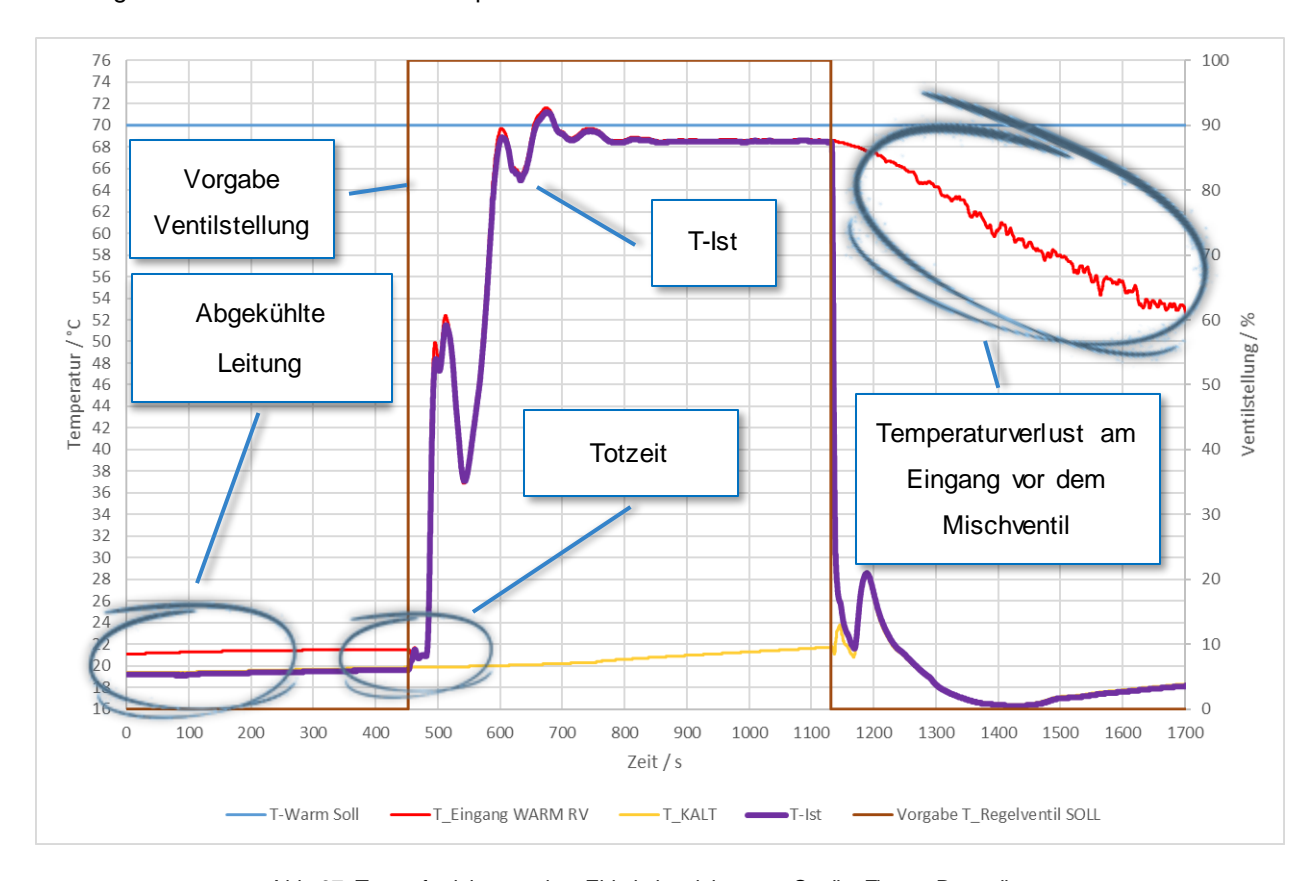
Abb. 66: Sollw ertsprünge, Quelle: Eigene Darstellung.

Des Weiteren ist ein Schwingen des Heizungsreglers, in Abb. 66 grün dargestellt, zu erkennen. Dies geht aus der ebenso noch nicht optimierten Regelung der Heizelemente hervor und wird im Ausblick näher erläutert.

## 5.5.3 Ohne Zirkulationsleitung

Bei dem Versuch die Anlage ohne Zirkulationsleitungen zu betreiben, wird die Konditionieranlage, wie in Kapitel 3, simuliert. Wie in Abb. 67 dargestellt, ist die errechnete Zeitverzögerung deutlich zu erkennen. Ebenso ist der errechnete Temperaturverlust in der Leitung aus Kapitel 3 zu erkennen.

Das Schwingen der Ist-Kennlinie (T- Ist), kann ebenso auf eine nicht optimierte Regelung der Heizelemente zurückgeführt werden und wird im Kapitel 6.2 näher erläutert.



 $Abb.\,67:\,Testaufzeichnung\,ohne\,Zirkulationsleitungen,\,Quelle:\,Eigene\,\,Darstellung.$ 

## 5.5.4 Mit Zirkulationsleitungen

Mit den Zirkulationsleitungen ist deutlich zu erkennen, dass keine Totzeit mehr vorhanden ist, sowie dass das Auskühlen der Leitungen verhindert werden kann. Die Messung ist in Abb. 68 dargestellt.

Es sei angemerkt, dass bei den Versuchen am Prototyp keine Isolierung der Leitungen vorhanden ist. Dadurch ist der Temperaturunterschied der roten- (T-Eingang Warm RV) und der blauen- (T-Warm Soll) Linie vorhanden. Durch die Simulation der 15 Meter langen Leitungen, entsteht ein Temperaturverlust über die Länge, von ca. 15 °C bei einer nicht isolierten Leitung und einem geringen Volumenstrom über die Zirkulationsleitung.

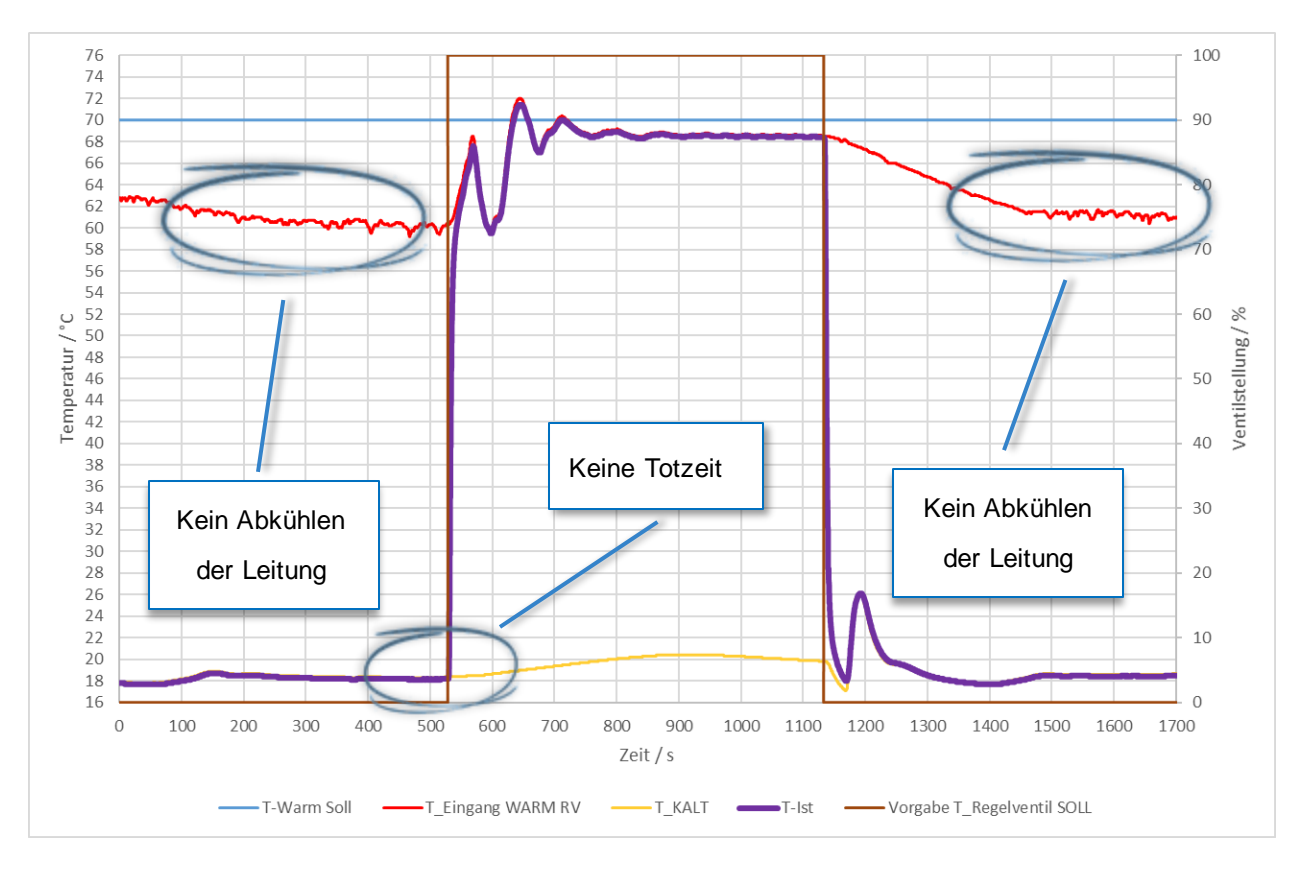


Abb. 68: Testaufzeichnung mit Zirkulationsleitung, Quelle: Eigene Darstellung.

Wie aus diesem Versuch ebenso hervorgeht, sollten bei einer optimierten Regelung und bei isolierten Leitungen, Änderungsgeschwindigkeiten von mehr als 2 K/s möglich sein.

## 6 ZUSAMMENFASSUNG UND AUSBLICK

Abschließend werden die Ergebnisse zusammengefasst und der Ausblick erörtert.

## 6.1 Zusammenfassung der Ergebnisse

Das Ziel der Arbeit bestand darin, eine Konditionieranlage zu entwickeln, welche eine dynamische Regelung der Temperatur ermöglicht. Dadurch sollen realitätsnahe Betriebszustände auf Fahrzeug- und Motorenprüfständen sowie auf anderen Entwicklungsprüfständen geschaffen werden. Diese wurde so ausgelegt, dass verschiedene Leistungsstufen skalierbar sind, ohne gravierende Änderungen an der Konstruktion vornehmen zu müssen. Ein weiteres Ziel war es, durch einen Prototyp, wesentliche Parameter erfassen zu können, um diese in weiterer Folge als Grundlage für ein Regelungsmodell heranzuziehen.

In diesem Zusammenhang wurden verschiedene Konzepte erarbeitet. Diese Konzepte beinhalten die Entwürfe des Anlagenschemas, die Beschreibung der Komponenten und deren Aufgaben sowie eine Gegenüberstellung der Vor- und Nachteile jedes Konzeptes.

Auf Basis dieser Erkenntnisse wurde ein Konzept nach definierten Bewertungskriterien ausgewählt und weiterverfolgt.

Um das Konzept realisieren zu können, wurden mögliche Komponenten analysiert und berechnet sowie ein 3D Model mit Hilfe der Software *Solidworks* konstruiert, woraus anschließend ein Prototyp entstanden ist.

Durch die Aufzeichnung von Sprungantworten konnte eine einfache Regelung für den Prototyp in eine Siemens SPS implementiert werden. Um eine schnelle Regelung des Mischventils gewährleisten zu können, wurde zusätzlich eine Kennlinie des Ventils in der Steuerung hinterlegt und mit einem PI- Regler kombiniert.

Schließlich wurden auf Basis dieses Prototyps Versuche durchgeführt und die Performance der dynamischen Konditionieranlage anhand von praxisrelevanten Untersuchungen getestet und verifiziert. Diese Untersuchungen haben gezeigt, dass bereits ohne eine Optimierung der Regelung gute Ergebnisse mit einer maximalen Regelabweichung beim Einschwingen des Reglers zwischen 1 K über und 1,6 K unterhalb des Sollwertes, erzielt werden konnten.

Abschließend kann gesagt werden, dass das mögliche Potential der Konditionieranlage noch lange nicht ausgeschöpft ist. Die möglichen Optimierungsmaßnahmen um das Potential der Anlage besser nutzen zu können, wird im nächsten Abschnitt erörtert.

## 6.2 Ausblick

Da bei den ersten Testversuchen positive Ergebnisse erzielt werden konnten und die Firma quunkt immer wieder Anfragen für Konditionieranlagen bekommt, soll das Konzept verstärkt weiterverfolgt werden.

Dieser Prototyp dient den Regelungsexperten als reales Modell, um optimale Regelungsstrategien und eine Auto-Tune Funktion erproben zu können sowie als Basis für die Weiterentwicklung zur Kleinserie.

In erster Instanz werden sich die Regelungsexperten der Firma mit der optimalen Regelung beschäftigen. Um die optimale Regelung auch bei Änderung des Prüflings oder der Entfernung zum Prüfling gewährleisten zu können, soll eine Auto-Tune Funktion implementiert werden. Dadurch soll es möglich sein, Folgekosten für den Kunden einsparen zu können. Dieser muss nicht bei Änderungen an seiner Gesamtanlage einen Regelungstechniker einfliegen lassen, um die Anlage neu zu parametrieren. Ebenso kann ein nachjustieren der Anlage automatisch vorgenommen werden.

Durch diese Funktion entsteht ein großer Mehrwert für das Produkt, wodurch die Kundengewinnung verbessert werden kann. Diese Funktion ist ein schlagkräftiges Verkaufsargument für den Vertrieb des Unternehmens.

Da der Markt der Elektromobilität derzeit ein starkes Wachstum verzeichnet und für die Kühlung bzw. Heizung der Batteriesysteme auf diversen Prüfständen eine dementsprechende Konditionierung benötigt wird, ist derzeit der perfekte Zeitpunkt für den Markteinstieg mit einer kleinen Serie der Anlage.

Zur Optimierung der Regelung kann zum Beispiel, wie in Abb. 69 dargestellt, der Einfluss der Ventilposition und der Temperaturdifferenz zwischen Heizelement Eingang und Ausgang über dementsprechende nicht lineare dynamische Funktionen die Regelung verbessert werden. Dadurch ist es möglich, sofort einen Einfluss auf die Stellgröße des zu regelnden Elementes zu nehmen und nicht wie ein einfacher PI- Regler, erst nachdem eine Abweichung aufgetreten ist, zu reagieren.

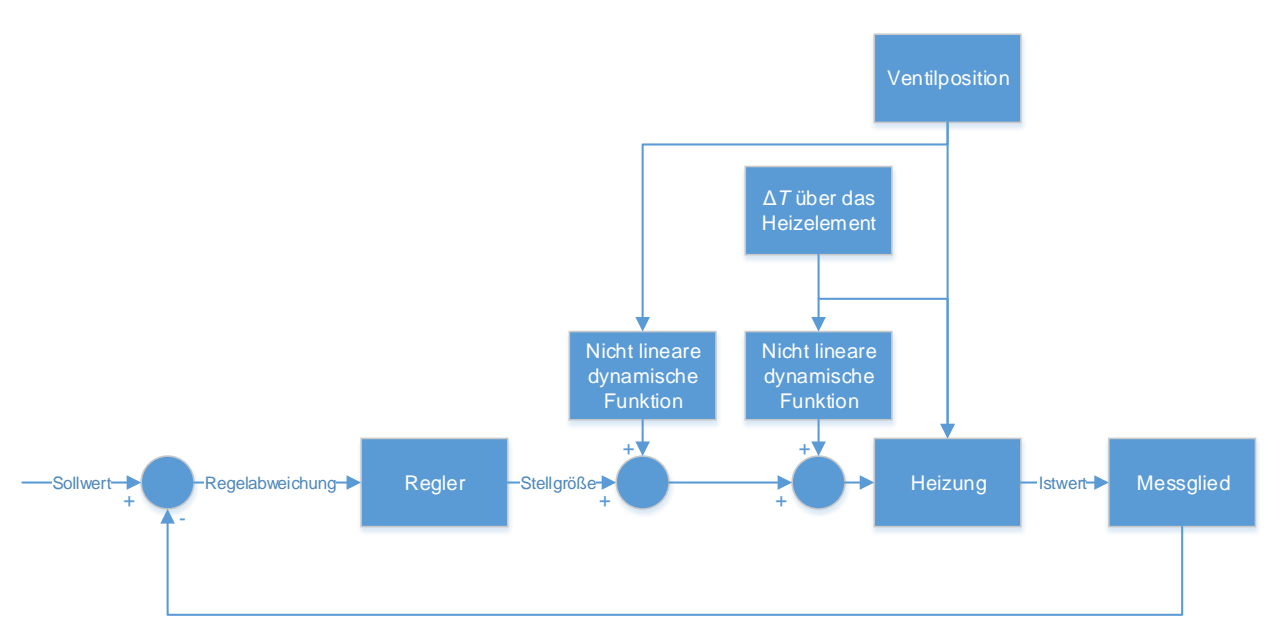


Abb. 69: Blockdiagramm der Regler Optimierung, Quelle: Eigene Darstellung.

#### Zusammenfassung und Ausblick

Der Ausgleich der restlichen Regelabweichung kann durch einen PI Regler realisiert werden. Hierbei ist es ebenso wichtig, eine Kennlinie für die Heizleistung in Abhängigkeit der Ventilstellung und in Abhängigkeit der Temperaturdifferenz im Hintergrund vorliegen zu haben, da das System nicht linear ist und somit in unterschiedlichen Bereichen unterschiedlich reagiert.

Da das System nicht linear ist und somit bei verschiedenen Temperaturbereichen unterschiedlich reagiert, müssen mehrere Sprungantworten aufgezeichnet und analysiert werden. Daraus resultierend ergeben sich bei verschiedenen Temperaturbereichen, unterschiedliche Parameter für den Regler. Nur so ist es möglich, eine optimale Regelung der Konditionieranlage zu erzielen. Dieses, nicht lineare Verhalten, ist in Abb. 70 dargestellt. Bei immer gleicher Höhe des Sprunges, variiert das Verhalten des Sollwertes. Dieses Verhalten ist ebenso am Prototyp zu erkennen. Beim Versuch, dem Sollwert der vorgegebenen Rampe, wie im Kapitel 5.5.1 erläutert, zu folgen, ist ein Schwingen bei 70 °C zu erkennen. Bei 40 °C hingegen, verhält sich der Istwert annähernd wie der Sollwert.

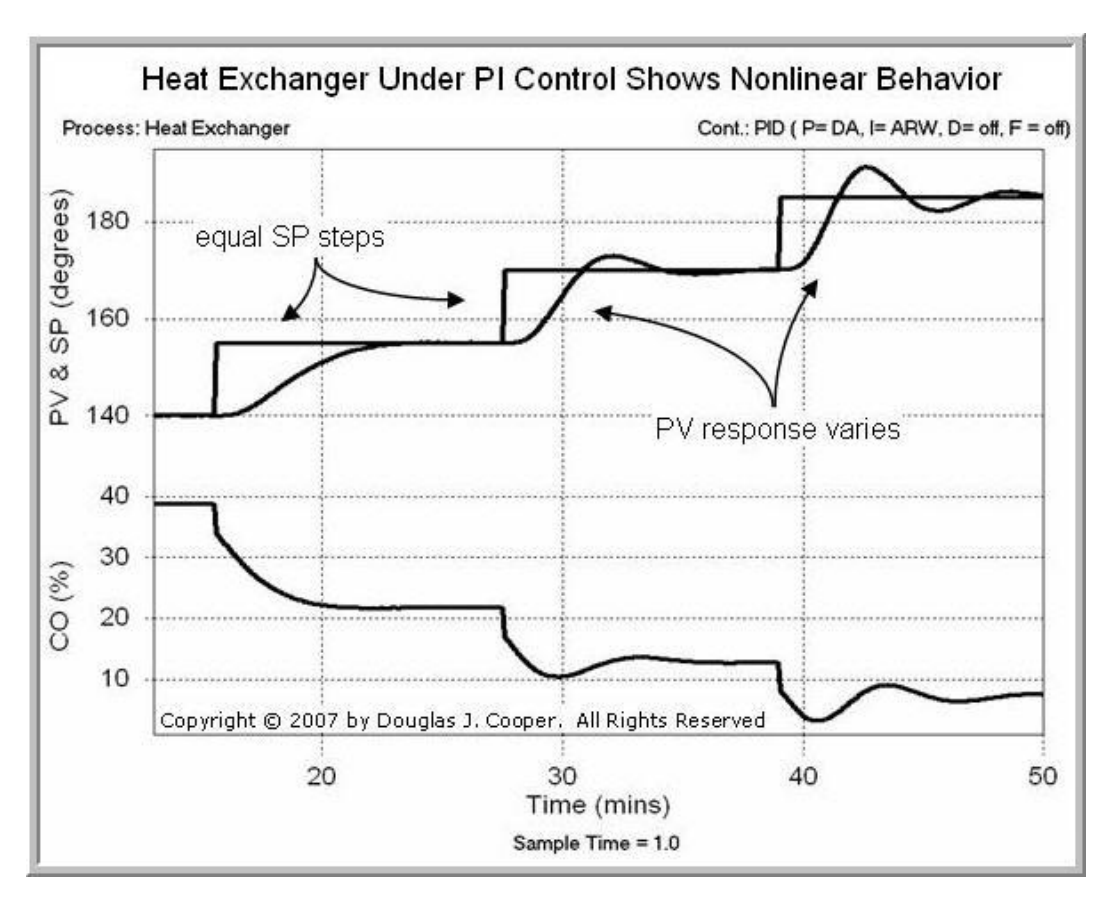


Abb. 70: Nicht lineares Verhalten bei gleichen Regler Parametern, Quelle: Cooper (2015), Online-Quelle [27.11.2016].

Um die Kennlinie des Ventils für jeden Temperaturbereich zur Verfügung zu haben, muss die für den Prototyp hinterlegte Kennlinie auf einen beliebigen Bereich skaliert werden.

### 6.3 Persönliches Resümee

Im Verlauf dieser Arbeit zeigte sich, dass es wichtig ist, im Vorfeld mit den Experten diverser Abteilungen zu sprechen, um deren Erfahrungen bereits in der Konzeptfindung mit einfließen zu lassen. Somit können später auftretende Probleme reduziert werden.

Weiters wurde in der Arbeit deutlich, dass eine genaue Zeitplanung von enormer Bedeutung ist. Einige Komponenten haben sehr lange Lieferzeiten und können somit zu einem Problem bei der Einhaltung eines strengen Zeitplans führen.

Eine genaue Kontrolle der Ware vor dem Zusammenbau, kann später auftretende Probleme bereits im Vorfeld eliminieren. Bei der ersten Inbetriebnahme der Anlage, war bereits nach kurzer Zeit die Dichtstelle zwischen dem Heizelement und dem Heizrohr undicht. Fehlerursache war ein scharfer Grad in der O- Ring Nut, welcher einen defekten O- Ring zur Folge hatte. Bei genauerer Kontrolle hätte dieser Fehler im Vorfeld entdeckt werden müssen und somit wäre ein Ausbau des Heizrohres zur Nacharbeit nicht notwendig gewesen.

Weiters sei erwähnt, dass so manche Komponenten von dem 3D Model respektive von der Zeichnung abweichen. Es sollte somit in der Konstruktion immer genügend freier Platz für etwaige Abweichungen mit eingeplant werden. Im konkreten Fall wich der Motor der Pumpe von dem 3D Model ab und es musste eine Änderung an der Konstruktion vorgenommen werden.

Abschließend sei erwähnt, dass mit einfachen Regelparametern bereits gute Resultate erzielt werden konnten, um erste Versuche an der Anlage durchzuführen.

#### LITERATURVERZEICHNIS

#### Gedruckte Werke (18)

Will, Dieter; Gebhardt, Norbert (Hrsg.) (2008): Hydraulik, 4 Auflage, Springer, Dresden

Gamse, Thomas (Hrsg.) (2014): Mechanische und Thermische Verfahrenstechnik, 4 Auflage, Graz

Alfa Laval (Hrsg.) (2016): Alfa Laval -Spiral heat exchangers, o.E. Auflage, Lund

Böge, Alfred (2011): Technische Mechanik, 29 Auflage, Vieweg+Teubner, Wiesbaden

Grote, Karl-Heinrich; Feldhusen, Jörg (2011): *Dubbel - Taschenbuch für den Maschinenbau*, 23 Auflage, Springer, Berlin Heidelberg New York

Hemming, Werner (1999): Verfahrenstechnik, 8 Auflage, Vogel-Fachbuch, Würzburg

Hering, Ekbert; Martin, Rolf; Stohrer, Martin (2007): *Physik für Ingenieure*, 10 Auflage, Springer, Berlin-Heidelberg

Labuhn, Dirk; Romberg, Oliver (2007): Keine Panik vor Thermodynamik, 3 Auflage, Vieweg, Wiesbaden

Lunze, Jan (2008): Regelungstechnik 1, 5 Auflage, Springer, Bochum

Lutz, Holger; Wendt, Wolfgang (2014): *Taschenbuch der Regelungstechnik*, 10 Auflage, Europa-Lehrmittel

Matthies, Hans-Jürgen; Renius, Karl-Theodor (2008): *Einführung in die Ölhydraulik*, 6 Auflage, Vieweg-Teubner, Wiesbaden

Recknagel, Hermann; Sprenger, Eberhard; Schramek, Ernst-Rudolf (2012): *Taschenbuch für Heizungs+Klimatechnik*, 75 Auflage, Oldenbourg Industrieverlag, München

Reuter, Mafred; Zacher, Serge (2008): Regelungstechnik für Ingenieure, 12 Auflage, Vieweg+Teubner, Siegen

Samson (2007): Temperaturregler, 1 Auflage, Frankfurt

Schmid, Dietmar (2010): Steuern und Regeln für Maschinenbau und Mechatronik, 12 Auflage, Europa-Lehrmittel, Essingen

Schmid, Ditmar (2009): Automatisierungstechnik, 8 Auflage, Europa-Lehrmittel, Essingen

Unbehauen, Heinz (2008): Regelungstechnik 1, 15 Auflage, Vieweg+Teubner, Bochum

Wellenreuther, Günter; Zastrow, Dieter (2009): Automatisieren mit SPS - Theorie und Praxis, 4 Auflage, Vieweg+Teubner, Mannheim

#### Literaturverzeichnis

#### Online-Quellen (29)

HAWE Hydraulik SE (2016): Fluidlexikon

https://www.hawe.com/de-de/fluidlexikon/hydraulik/ [Stand: 29.08.2016]

Grundfos (2016): Grundfos Pumpen

http://machining.grundfos.de/media/60727/grundfos\_pumpenhandbuch.pdf [Stand: 01.09.2016]

PTK Pumpen (2016): PTK-Pumpen

http://www.ptkpumpen.de/pumpen-knowhow/ [Stand: 01.09.2016]

Chemie.de (2016): Chemie.de

http://www.chemie.de/lexikon/W%C3%A4rmeleitf%C3%A4higkeit.html [Stand: 05.09.2016]

Chemgaroo (2016): Chemgaroo

http://www.chemgapedia.de/vsengine/vlu/vsc/de/ch/10/waermetransport/waermeleitung\_durch\_waende/waermeleitung\_durch\_waende.vlu.html [Stand: 26.08.2016]

Chemgaroo (2016): Chemgaroo

http://www.chemgapedia.de/vsengine/vlu/vsc/de/ch/10/waermetransport/waermeuebergang/waermeuebergang.vlu.html [Stand: 05.09.2016]

Chemgaroo (2016): Chemgaroo

http://www.chemgapedia.de/vsengine/vlu/vsc/de/ch/10/waermetransport/waermedurchgang/waermedurchgang.vlu.html [Stand: 05.09.2016]

Anton Schweizer (2016): Formelsammlung und Berechnungsprogramme für den Anlagenbau http://www.schweizer-fn.de/waerme/waermetauscher/waermetauscher.php [Stand: 05.09.2016]

Anton Schweizer (2016): Formelsammlung und Berechnungsprogramme für den Anlagenbau http://www.schweizer-fn.de/waerme/waermeuebergang/waerme\_uebergang.php [Stand: 05.09.2016]

Chemgaroo (2016): Chemgaroo

http://www.chemgapedia.de/vsengine/tra/vsc/de/ch/7/tc/trajektorien/kompakt\_kurs/stoff\_waermetransport.tra/Vlu/vsc/de/ch/7/tc/waerme/praktikum/waerme\_praktikum.vlu/Page/vsc/de/ch/7/tc/waerme/praktikum/einfuehrung/w\_apparate.vscml.html [Stand: 06.09.2016]

Bibliographisches Institut (2016): Lernhelfer

https://www.lernhelfer.de/schuelerlexikon/chemie/artikel/gegenstromprinzip [Stand: 08.09.2016]

Apparate- und Anlagentechnik Nürnberg (2016): *Apparate- und Anlagentechnik Nürnberg* http://www.aan-nuernberg.de/rohrbuendelwaermetauscher.html [Stand: 08.09.2016]

Sunrise Process Equipments (2016): Sunrise Process Equipments

http://www.sunriseequipments.com/Double-Pipe-Heat-Exchanger.htm [Stand: 08.09.2016]

Therminox (2008): Therminox

http://www.therminox.de/index.php?link=waermetauscher\_geschraubt.html [Stand: 08.09.2016]

Arcus, Dichtelemente (2016): Dichtelemente Arcus

http://www.o-ring.de/html/de/werkstoffe/ [Stand: 22.11.2016]

#### Literaturverzeichnis

Cooper, Dr. (2015): Control-Guru

http://controlguru.com/design-and-tuning-recipe-must-consider-nonlinear-process-behavior/ [Stand:

27.11.2016]

Cutler, Jon; Marczyk, Jakub; Pawelek, Krzysztof (2013): Prozesstechnik-Online

http://www.prozesstechnik-online.de/chemie/-/article/31534493/38776953/Was-der-Anwender-bei-der-

Wahl-beachten-sollte/art\_co\_INSTANCE\_0000/maximized/ [Stand: 08.09.2016]

Grotz, Bernhard (2016): Grund-Wissen

http://grund-wissen.de/physik/waermelehre/ausdehnung-bei-erwaermung.html [Stand: 24.11.2016]

MathWorks (2016): MathWorks

https://de.mathworks.com/products/matlab/ [Stand: 26.11.2016]

Schubert&Salzer (2016): Schubert&Salzer

http://www.schubert-salzer.com/produkte/3-wege-ventile/regelventile/typ-7082.html [Stand: 20.11.2016]

Schweizer, Anton (2016): Formelsammlung und Berechnungsprogramme für Anlagenbau

http://www.schweizer-fn.de/stroemung/kvwert/kvwert.php [Stand: 20.11.2016]

Siemens (2016): Siemens

http://www.buildingtechnologies.siemens.com/bt/global/de/gebaeudeautomation-hlk/hlk-produkte/ventile-und-stellantriebe/anwendungsbereich/deckenkuehlung/seiten/deckenkuehlung.aspx [Stand: 20.11.2016]

Speck (2016): Speck

http://www.speck.de/nc/en/products/p/pumpdetail/detail/cy-4281-mk/ [Stand: 20.11.2016]

Sperlich, Peter (2000): Gebäudesystemtechnik mit KNX/EIB

http://www.eib-home.de/eib\_hlk\_hkl\_konzept\_knx.htm [Stand: 14.09.2016]

Stasto (2016): Stasto

http://www.stasto.at/0010/DE/Product/15894-schmutzfanger-serie-4005-4051508 [Stand: 20.11.2016]

Türk&Hillinger (2016): Türk&Hillinger

http://www.tuerk-hillinger.de/fileadmin/media/pdfs/EHK30.PDF [Stand: 20.11.2016]

TÜV-SÜD (2016): TÜV-SÜD

http://www.tuev-sued.at/uploads/images/1385025173608029590400/druckgeraeteuberwachung-

praxis.pdf [Stand: 20.11.2016]

VIPTech-GmbH (2016): Magnetkreiselpumpen

http://www.magnetkreiselpumpen.eu/ [Stand: 20.11.2016]

WIKA (2016): Drucksensor KnowHow

http://www.drucksensor-knowhow.de/blog/2010/04/28/funktionsprinzip-resistiver-

drucksensor/#!prettyPhoto [Stand: 26.11.2016]

## **ABBILDUNGSVERZEICHNIS**

Abb. 1: Strömung durch eine Leitung mit veränderlichem Querschnitt, Quelle: Will/Gebhardt (Hrsg.) (2008), S. 44	. 3
Abb. 2: Stationäre reibungsfreie Strömung bei veränderlichem Querschnitt, Quelle: Will/Gebhardt (Hrsg.)	
Abb. 3: Laminare und turbulente Strömung, Quelle: Schmid (2010), S. 154 (leicht modifiziert)	. 7
Abb. 4: Widerstandscharakteristik von Knieelementen, Quelle: Will/Gebhardt (Hrsg.) (2008), S. 65	. 8
Abb. 5: Typische Verhältnisse zwischen Förderstrom und Förderhöhe bei drei Pumpentypen, Quelle:  Grundfos (2016), Online-Quelle [01.09.2016] (leicht modifiziert).	. 9
Abb. 6: Kennlinie einer drehzahlgeregelten Pumpe, Quelle: Grundfos (2016), Online-Quelle [01.09.2016]	
Abb. 7: Temperaturverlauf in einer Wand, Quelle: Gamse (Hrsg.) (2014), S. 27.	11
Abb. 8: Wärmeübergang, Quelle: Chemgaroo (2016), Online-Quelle [05.09.2016] (leicht modifiziert)	12
Abb. 9: Wärmedurchgang, Quelle: Chemgaroo (2016), Online-Quelle [05.09.2016] (leicht modifiziert)	14
Abb. 10: Gleichstrom- und Gegenstromprinzip, Quelle: Anton Schweizer (2016), Online-Quelle [05.09.2016] (leicht modifiziert).	16
Abb. 11: Gleichstromprinzip, Quelle: Gamse (Hrsg.) (2014), S. 35 (leicht modifiziert)	17
Abb. 12: Gegenstromprinzip, Quelle: Gamse (Hrsg.) (2014), S. 36 (leicht modifiziert).	17
Abb. 13: Vergleich Gleichstromprinzip vs. Gegenstromprinzip, Quelle: Gamse (Hrsg.) (2014), S. 36 (leich modifiziert)	
Abb. 14: Rohrbündelwärmetauscher, Quelle: Apparate- und Anlagentechnik Nürnberg (2016), Online- Quelle [08.09.2016]2	20
Abb. 15: Doppelrohrwärmetauscher, Quelle: Sunrise Process Equipments (2016), Online-Quelle [08.09.2016] (leicht modifiziert).	20
Abb. 16: Spiralwärmetauscher, Quelle: Alfa Laval (Hrsg.) (2016)	21
Abb. 17: Plattenwärmetauscher, Quelle: Therminox (2008), Online-Quelle [08.09.2016]	21
Abb. 18: Steuerung der Raumtemperatur, Quelle: Unbehauen (2008), S. 5	23
Abb. 19: Regelung der Raumtemperatur, Quelle: Unbehauen (2008), S. 6	24
Abb. 20: Einteilung von Reglern, Quelle: Eigendarstellung	25
Abb. 21: 2-Punktregelung, Quelle: Sperlich (2000), Online-Quelle [14.09.2016] (leicht modifiziert)	25
Abb. 22: Sprungantwort eines Systems, Quelle: Unbehauen (2008), S. 207	28
Abb. 23: Möglichkeiten der Temperaturbeeinflussung durch Ventile, Quelle: Samson (2007) S. 26	29

## Abbildungsverzeichnis

Abb. 24: Mischventil, Quelle: Samson (2007) S. 24 (leicht modifiziert).	30
Abb. 25: Verteilventil, Quelle: Samson (2007) S. 25.	30
Abb. 26: Grundschema einer einfachen Konditionieranlage, Quelle: Eigene Darstellung	31
Abb. 27: Modell eines realen Prüfaufbaus, Quelle: Eigene Darstellung	32
Abb. 28: Grundschema einer einfachen Konditionieranlage – Mischelement am Prüfling, Quelle: Eig Darstellung.	
Abb. 29: Wärmeverlust einer Rohrleitung, Quelle: Eigene Darstellung	35
Abb. 30: Konzept 1, Quelle: Eigene Darstellung.	36
Abb. 31: Konzept 2, Quelle: Eigene Darstellung	
Abb. 32: Konzept 3, Quelle: Eigene Darstellung	
Abb. 33: Konzept 3.1, Quelle: Eigene Darstellung.	
Abb. 34: Konzept 3.1.1, Quelle: Eigene Darstellung.	
Abb. 35: Konzept 3.2, Quelle: Eigene Darstellung.	
Abb. 36: Konzept 3.3, Quelle: Eigene Darstellung.	
Abb. 37: Konzept 4, Quelle: Eigene Darstellung.	
Abb. 38: Konzept 5, Quelle: Eigene Darstellung.	
Abb. 39: Konzept 6, Quelle: Eigene Darstellung	
Abb. 40: Konzept 6.1, Quelle: Eigene Darstellung.	
Abb. 41: Detailliertes Konzept des Prototyps, Quelle: Eigene Darstellung	
Abb. 42: Produktfoto <i>Türk &amp; Hillinger</i> Heizelement 1105688, Quelle: Türk&Hillinger (2016), Online-C	Quelle
Abb. 43: Produktfoto <i>Stasto</i> Schmutzfänger 4051508, Quelle: Stasto (2016), Online-Quelle [20.11.2	_
Abb. 44: Berechnungsergebnisse Alfa Laval, Quelle: APTEC Energietechnik GmbH	56
Abb. 45: Schubert & Salzer Mischventil 7082, Quelle: Schubert&Salzer (2016), Online-Quelle [20.11.2016].	57
Abb. 46: Messprinzip Drucksensor, Quelle: WIKA (2016), Online-Quelle [26.11.2016]	59
Abb. 47: Pumpenkennlinie CY-4281-MK, Quelle: Eigene Darstellung	61
Abb. 48: Produktfoto CY-4281MK, Quelle: Speck (2016), Online-Quelle [20.11.2016]	61
Abb. 49: Produktfoto Siemens VPI46, Quelle: Siemens (2016), Online-Quelle [20.11.2016]	62
Abb. 50: Ausbaustufe der Konditionieranlage, Quelle: Eigene Darstellung	64
Abb. 51: Frontansicht der Konditionieranlage, Quelle: Eigene Darstellung	65

## Abbildungsverzeichnis

Abb. 52: Aufgeschnittenes Heizelement, Quelle: Eigene Darstellung.	66
Abb. 53: Ausgleichsbehälter, Quelle: Eigene Darstellung.	68
Abb. 54: Temperaturmessstelle in einer Rohrleitung, Quelle: Eigene Darstellung	69
Abb. 55: SPS Module der Konditionieranlage, Quelle: Eigene Darstellung	70
Abb. 56: Schaltschrank des Prototyps, Quelle: Eigene Darstellung	71
Abb. 57: Flussdiagramm Betriebsmodus, Quelle: Eigene Darstellung.	72
Abb. 58: Bedienoberfläche des Prototyps, Quelle: Eigene Darstellung	73
Abb. 59: Schlauchleitungen, Quelle: Eigene Darstellung.	74
Abb. 60: Drosselventil und Zirkulationsleitung, Quelle: Eigene Darstellung.	74
Abb. 61: Sprungantwort der Heizung, Quelle: Eigene Darstellung.	75
Abb. 62: Regler Struktur, Quelle: Eigene Darstellung.	77
Abb. 63: Ventilkennlinie durch tanh() Funktion angenähert, Quelle: Eigene Darstellung	78
Abb. 64: Rampenfahrt nur mit Ventilkennlinie ohne Regelung, Quelle: Eigene Darstellung	79
Abb. 65: Rampenfahrt mit Ventilkennlinie und Reglung, Quelle: Eigene Darstellung	80
Abb. 66: Sollwertsprünge, Quelle: Eigene Darstellung.	81
Abb. 67: Testaufzeichnung ohne Zirkulationsleitungen, Quelle: Eigene Darstellung	82
Abb. 68: Testaufzeichnung mit Zirkulationsleitung, Quelle: Eigene Darstellung	83
Abb. 69: Blockdiagramm der Regler Optimierung, Quelle: Eigene Darstellung	85
Abb. 70: Nicht lineares Verhalten bei gleichen Regler Parametern, Quelle: Cooper (2015), Online-Q [27.11.2016].	

# **TABELLENVERZEICHNIS**

Tabelle 2.1: Wärmeleitfähigkeit von diversen Materialien bei 20 °C, Quelle: Eigene Darstellung	12
Tabelle 2.2: Wärmeübergangszahlen von diversen Medien, Quelle: Eigene Darstellung	13
Tabelle 2.3: Wärmedurchgangszahlen von diversen Wärmetauschern, Quelle: Eigene Darstellung.	15
Tabelle 2.4: Spezifische Wärmekapazität üblicher Medien, Quelle: Eigene Darstellung	19
Tabelle 3.1: Vor- und Nachteile Konzept 1, Quelle: Eigene Darstellung	36
Tabelle 3.2: Vor- und Nachteile Konzept 2, Quelle: Eigene Darstellung	37
Tabelle 3.3: Vor- und Nachteile Konzept 3, Quelle: Eigene Darstellung	38
Tabelle 3.4: Vor- und Nachteile Konzept 3.1, Quelle: Eigene Darstellung.	39
Tabelle 3.5: Vor- und Nachteile Konzept 3.1.1, Quelle: Eigene Darstellung.	40
Tabelle 3.6: Vor- und Nachteile Konzept 3.2, Quelle: Eigene Darstellung.	41
Tabelle 3.7: Vor- und Nachteile Konzept 3.3, Quelle: Eigene Darstellung.	42
Tabelle 3.8: Vor- und Nachteile Konzept 4, Quelle: Eigene Darstellung	43
Tabelle 3.9: Vor- und Nachteile Konzept 5, Quelle: Eigene Darstellung	44
Tabelle 3.10: Vor- und Nachteile Konzept 6, Quelle: Eigene Darstellung.	45
Tabelle 3.11: Vor- und Nachteile Konzept 6.1, Quelle: Eigene Darstellung.	46
Tabelle 3.12: Bewertung der Konzepte, Quelle: Eigene Darstellung	47
Tabelle 3.13: Komponenten und deren Hauptaufgaben, Quelle: Eigene Darstellung	48
Tabelle 3.14: Symbole der verwendeten Komponenten, Quelle: Eigene Darstellung	48
Tabelle 4.1: Technische Anforderungen an den Prototyp, Quelle: Eigene Darstellung	50
Tabelle 4.2: Dichtwerkstoffe und deren Eigenschaften, Quelle: Eigene Darstellung	51
Tabelle 4.3: Auflistung möglicher Heizelemente, Quelle: Eigene Darstellung.	52
Tabelle 4.4: Druckverlust in Rohrleitungen, Quelle: Eigene Darstellung	54
Tabelle 4.5: Gesamtdruckverlust der Rohrleitungen, Quelle: Eigene Darstellung.	54
Tabelle 4.6: Gesamtdruckverlust von Winkel- und T-Elementen, Quelle: Eigene Darstellung	55
Tabelle 4.7: Mögliche Regelventile, Quelle: Eigene Darstellung.	57
Tabelle 4.8: Gesamtdruckverlust der Anlage, Quelle: Eigene Darstellung.	60
Tabelle 4.9: Mögliche Förderelemente, Quelle: Eigene Darstellung.	60
Tabelle 4.10: Auflistung der Ausbaustufen und der zugehörigen Änderungsmaßnahmen, Quelle: Eig Darstellung.	-
Tabelle 4.11: Gesamtvolumen der Konditionieranlage, Quelle: Eigene Darstellung	67

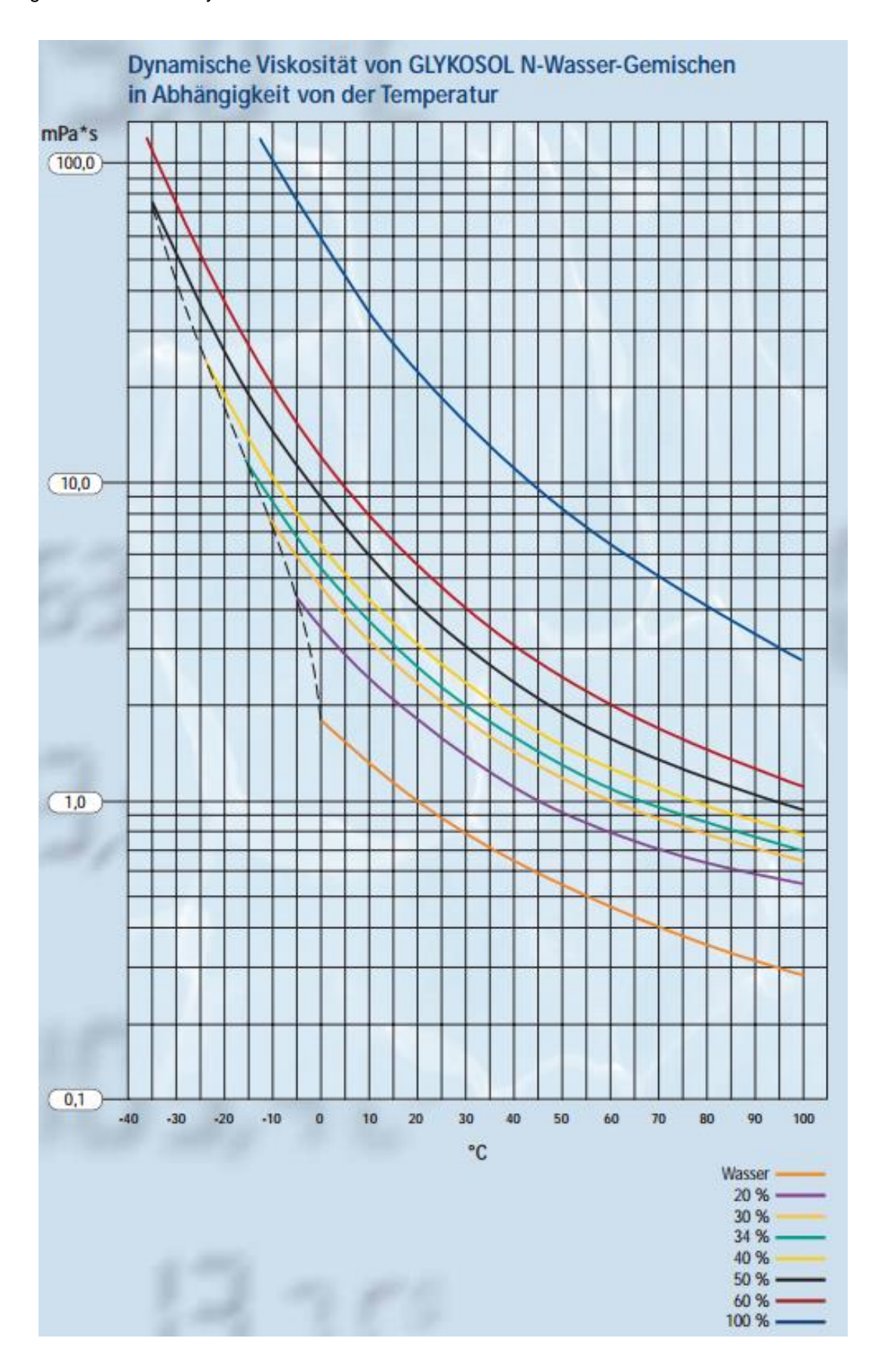
_					
Iа	hel	IAN	/≏rz	7010	hnis

Tabelle 5.1: Beschreibung der Betriebsmodi, Quelle: Eigene Darstellung......73

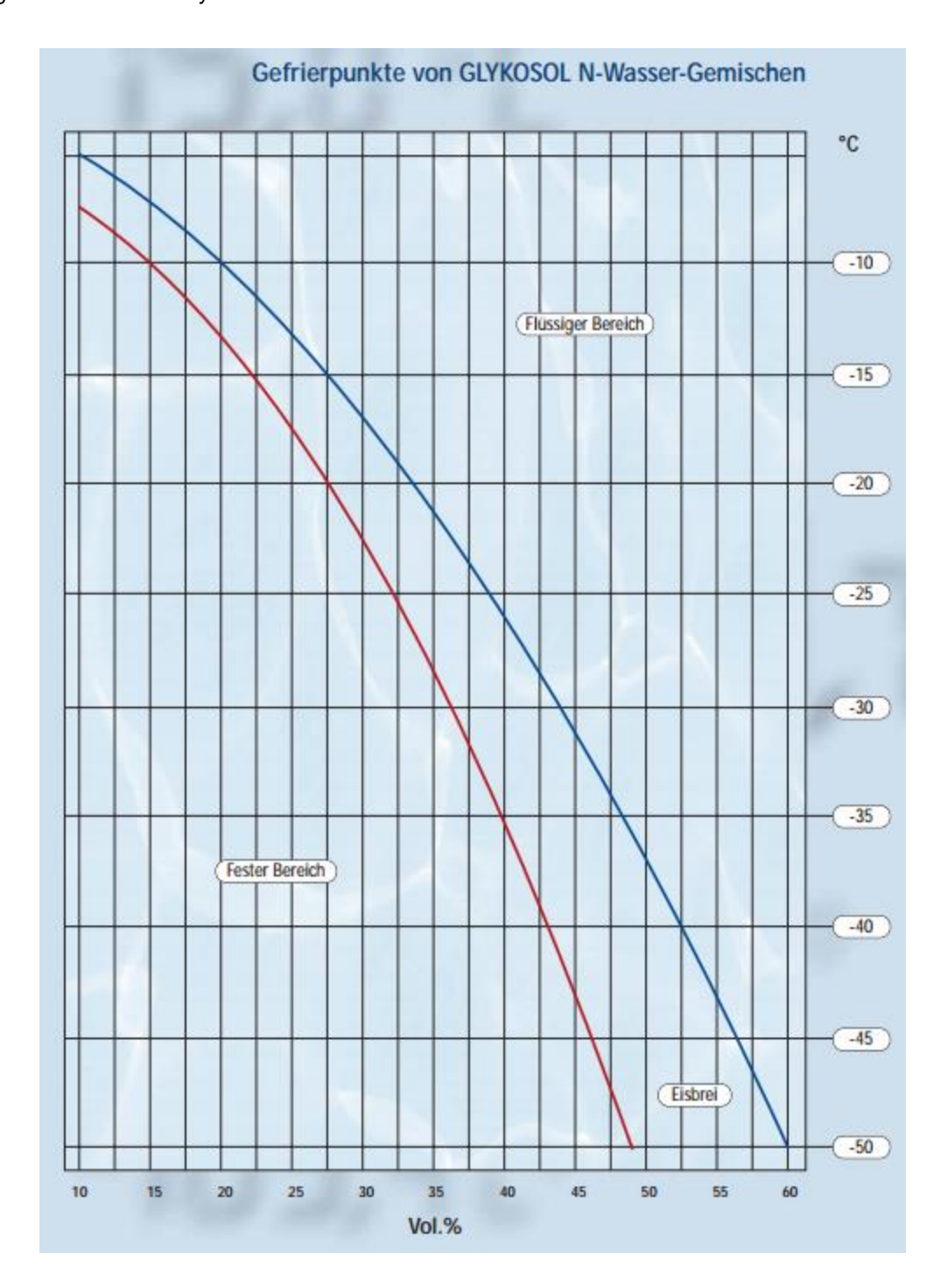
# ANHANG 1: DATENBLÄTTER GLYKOSOL

Frost- schutz °C	Konzen- tration Vol.%	Tempe- ratur °C	Dichte g/cm²	Wärmeleit- fähigkeit W/m*K	spezifische Wärme kJ/kg K	dynam. Viskosität mPa*s	kinemat. Viskosität mm <sup>2</sup> /s	Prandti- Zahi	relativer Druck- verlust	rel. Wärm übergangs zah
-8	20	-5.0	1.038	0.511	3.88	4.31	4.15	33	1.39	0.46
		0.0	1.036	0.513	3.88	3.47	3.35	26	1.31	0.51
		10.0	1.032	0.518	3.90	2.38	2.31	18	1.19	0.61
		20.0	1.028	0.523	3.91	1.74	1.69	13	1.10	0.71
		40.0	1.018	0.533	3.94	1.06	1.04	8	0.96	0.90
		60.0	1.008	0.543	3.96	0.71	0.70	5	0.86	1.09
10	23	-10.0	1.045	0.497	3.81	6.02	5.76	46	1.52	0.38
		0.0	1.041	0.501	3.82	3.82	3.67	29	1.35	0.48
		20.0	1.033	0.509	3.85	1.91	1.85	14	1.13	0.67
		40.0	1.023	0.518	3.88	1.16	1.14	9	0.99	0.84
		60.0	1.012	0.526	3.91	0.78	0.77	6	0.89	1.02
15	29	-15.0	1.058	0.475	3.68	9.56	9.04	74	1.72	0.30
		-10.0	1.056	0.476	3.68	7.33	6.94	57	1.61	0.34
		0.0	1.051	0.478	3.70	4.61	4.38	36	1.43	0.42
		10.0	1.047	0.481	3.72	3.13	2.99	24	1.29	0.51
		20.0	1.042	0.483	3.74	2.28	2.18	18	1.19	0.59
		40.0	1.032	0.489	3.78	1.39	1.35	11	1.04	0.75
	_	60.0	1.021	0.494	3.81	0.95	0.93	7	0.94	0.90
		80.0	1.009	0.501	3.85	0.65	0.65	5	0.85	1.07
20	34	-20.0	1.068	0.459	3.56	15.24	14.27	118	1.95	0.24
	_	-10.0	1.064	0.460	3.58	8.64	8.12	67	1.68	0.31
		0.0	1.060	0.461	3.60	5.38	5.07	42	1.49	0.38
	_	10.0	1.055	0.462	3.62	3.63	3.44	28	1.35	0.46
	_	20.0	1.050	0.464	3.64	2.62	2.50	21	1.24	0.54
		40.0	1.040	0.466	3.69	1.60	1.54	13	1.08	0.68
		60.0	1.028	0.470	3.73	1.10	1.07	9	0.98	0.81
		80.0	1.016	0.473	3.77	0.77	0.76	6	0.89	0.95
25	39	-25.0	1.079	0.446	3.44	25.39	23.53	196	2.23	0.18
_	-	-20.0	1.077	0.446	3.45	18.23	16.93	141	2.05	0.21
	-	-10.0	1.073	0.446	3.48	10.19	9.50	79	1.76	0.28
	-	0.0	1.068	0.445	3.50	6.27	5.87	49	1.56	0.35
	-	10.0	1.063	0.445	3.52	4.20	3.95	33	1.40	0.42
	-	20.0	1.058	0.445	3.55	3.02	2.85	24	1.29	0.49
	-	40.0	1.047	0.446	3.60	1.83	1.75	15	1.13	0.62
	-	60.0	1.035	0.446	3.65	1.27	1.22	10	1.02	0.73
	-	80.0	1.022	0.447	3.70	0.90	0.88	10	0.93	0.75
	-	100.0	1.008	0.449	3.75	0.60	0.59	5	0.83	1.03
30	44	-30.0	1.090	0.436	3.32	44.47	40.80	339	2.58	0.14
30	-	-20.0	1.086	0.434	3.34	21.89	20.16	169	2.16	0.19
	-	-10.0	1.081	0.433	3.37	12.05	11.14	94	1.85	0.19
	-	0.0	1.076	0.431	3.40	7.32	6.80	58	1.63	0.32
	-	10.0	1.071	0.430	3.43	4.85	4.53	39	1.46	0.38
	-	20.0	1.066	0.429	3.45	3.46	3.25	28	1.34	0.45
	-	40.0	1.054	0.427	3.51	2.08	1.98	17	1.17	0.56
	-	60.0	1.042	0.427	3.56	1.45	1.39	12	1.06	0.66
	-	80.0	1.042	0.423	3.62	1.04	1.01	9	0.97	0.77
	-	100.0	1.014	0.422	3.68	0.71	0.70	6	0.97	0.92
40	52	-40.0	1.109	0.422	3.11	148.10	133.59	1081	3.53	0.92
10	32	-30.0	1.104	0.428	3.11	62.09	56.23	462	2.83	0.08
	-	-20.0	1.104	0.423	3.14	29.60	26.93	224	2.83	0.16
	_	-10.0	1.094	0.419	3.17	15.85	14.48	122	2.00	0.10
	-	0.0	1.089	0.413	3.24	9.41	8.64	74	1.75	0.21
	-	10.0	1.084	0.412	3.24	6.11	5.64	49	1.75	0.27
	_		1.084			4.29				
	-	20.0 40.0		0.405 0.399	3.30 3.37	2.54	3.98 2.38	35 21	1.43	0.39 0.49
	_	60.0	1.066 1.052	0.399	3.43	1.76	1.67	15	1.24 1.12	0.49
	_									
	_	80.0 100.0	1.038	0.388 0.382	3.50 3.56	1.29 0.90	1.24 0.88	12 8	1.03 0.93	0.66 0.77
0	E0									
50	58	-50.0	1.124	0.426	2.94	562.86	500.91	3890 1404	4.98 3.83	0.04
	-	-40.0 20.0	1.119	0.420	2.98	198.31	177.20			0.06
	_	-30.0	1.114	0.415	3.01	80.73	72.44	585	3.05	0.10
	_	-20.0	1.109	0.410	3.05	37.49	33.80	278	2.51	0.14
	_	-10.0	1.104	0.405	3.08	19.61	17.76	149	2.12	0.19
		0.0	1.099	0.400	3.12	11.41	10.39	89	1.85	0.24
		10.0	1.093	0.395	3.15	7.29	6.67	58	1.65	0.30
		20.0	1.087	0.390	3.19	5.05	4.64	41	1.49	0.35
		40.0	1.074	0.381	3.26	2.93	2.73	25	1.29	0.44
		60.0	1.060	0.372	3.33	2.01	1.90	18	1.17	0.52
		80.0	1.045	0.364	3.41	1.48	1.42	14	1.07	0.59
		100.0	1.029	0.355	3.48	1.05	1.02	10	0.97	0.68

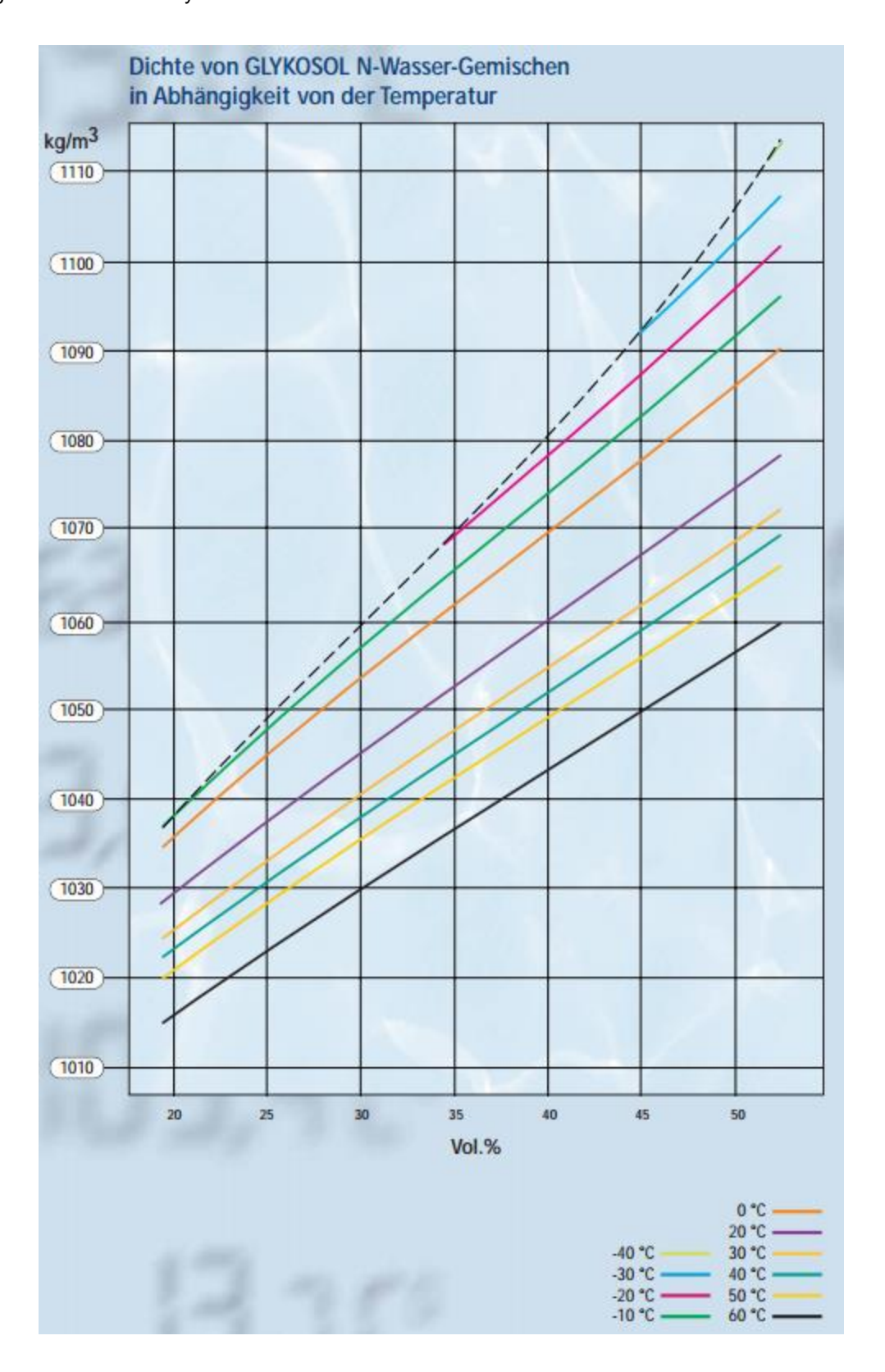
Diese Daten sind dem pro KÜHLSOLE GmbH Berechnungsprogramm entnommen. Eventuelle, geringfugige Differenzen zu Werten aus anderen Tabellen und Diagrammen dieses Datenblättes, resultieren aus minimalen Rundungsabweichungen der implementierten Berechnungsformeln.



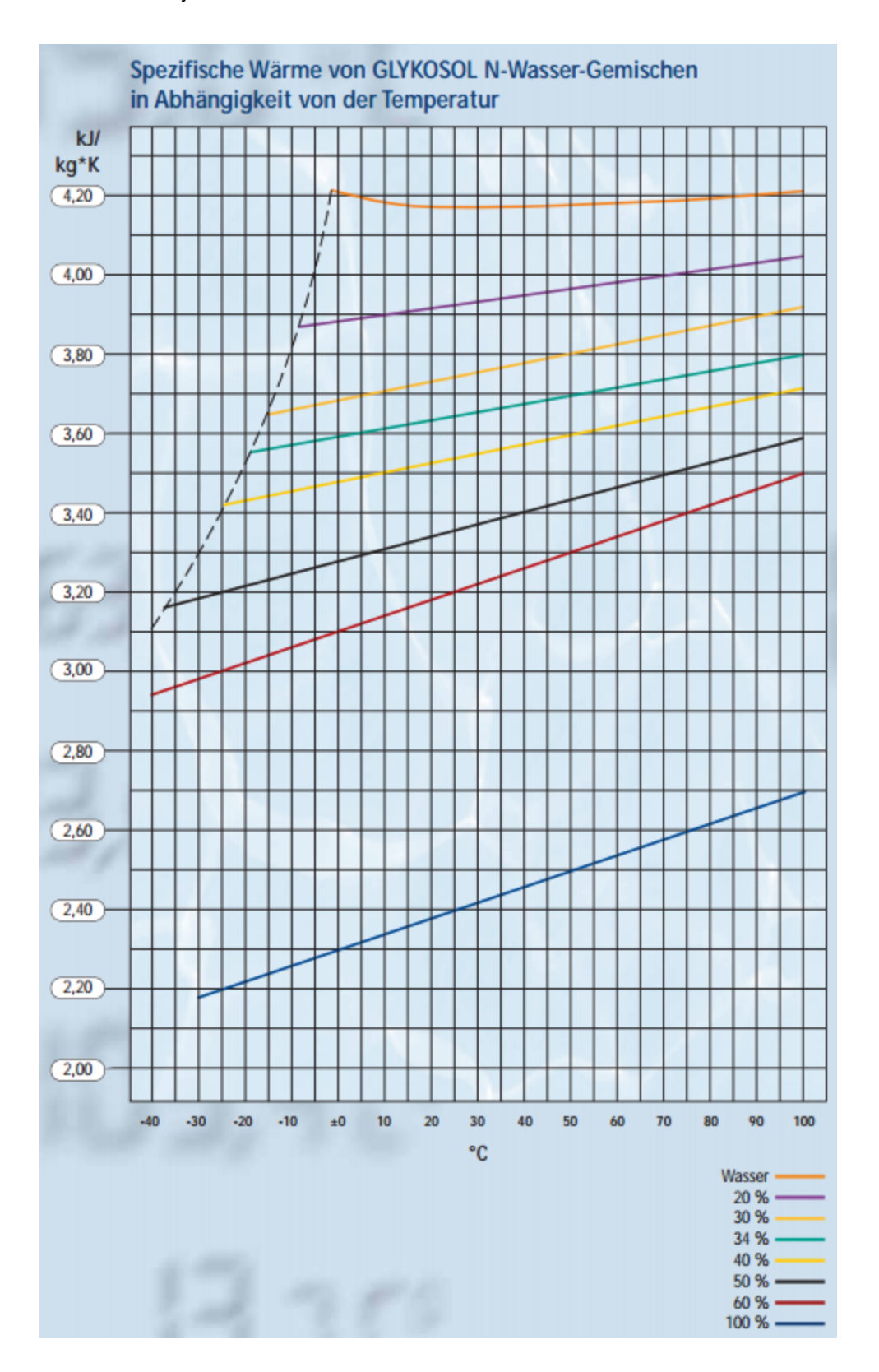
Anhang 1: Datenblätter Glykosol

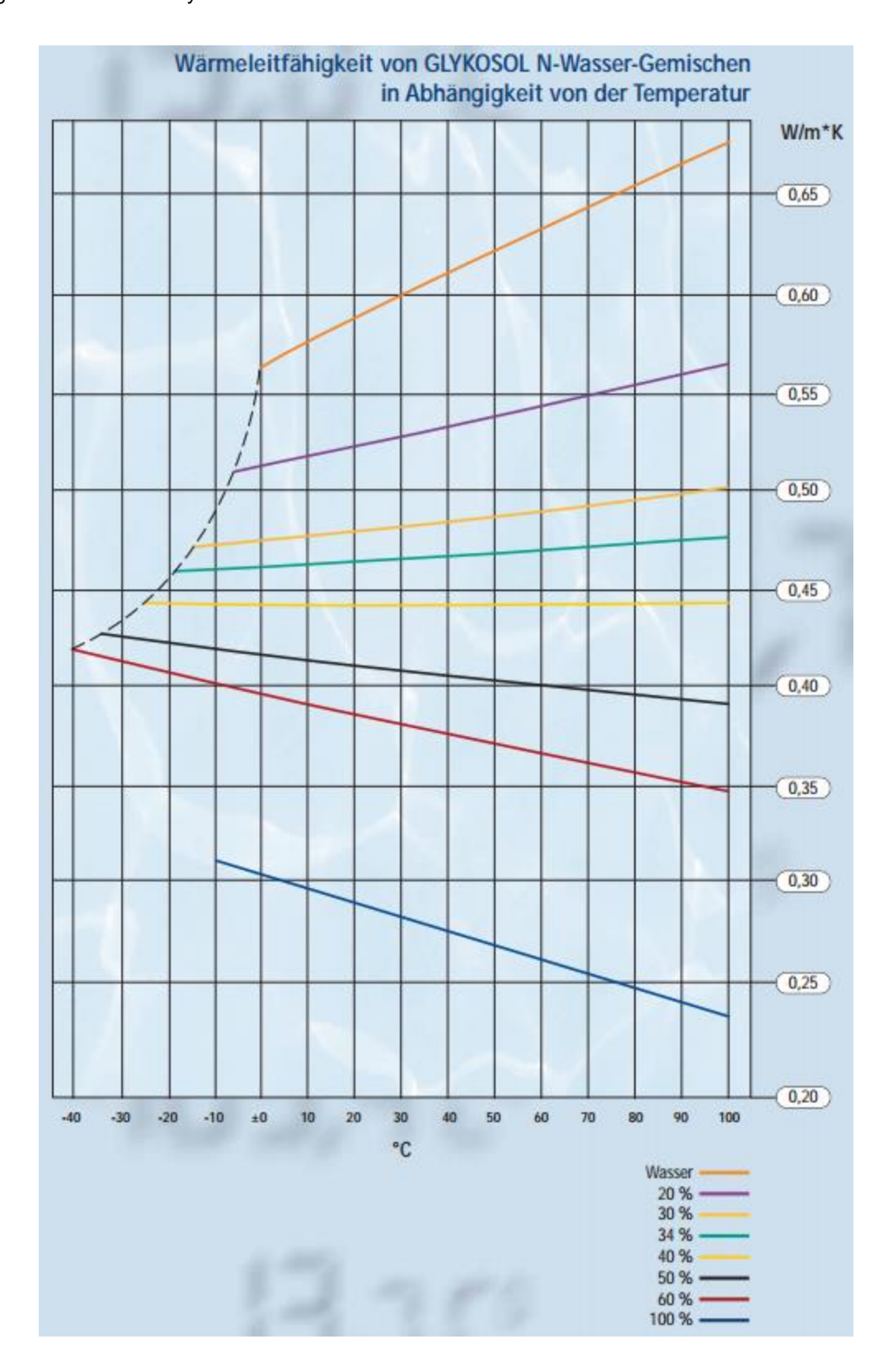


Anhang 1: Datenblätter Glykosol

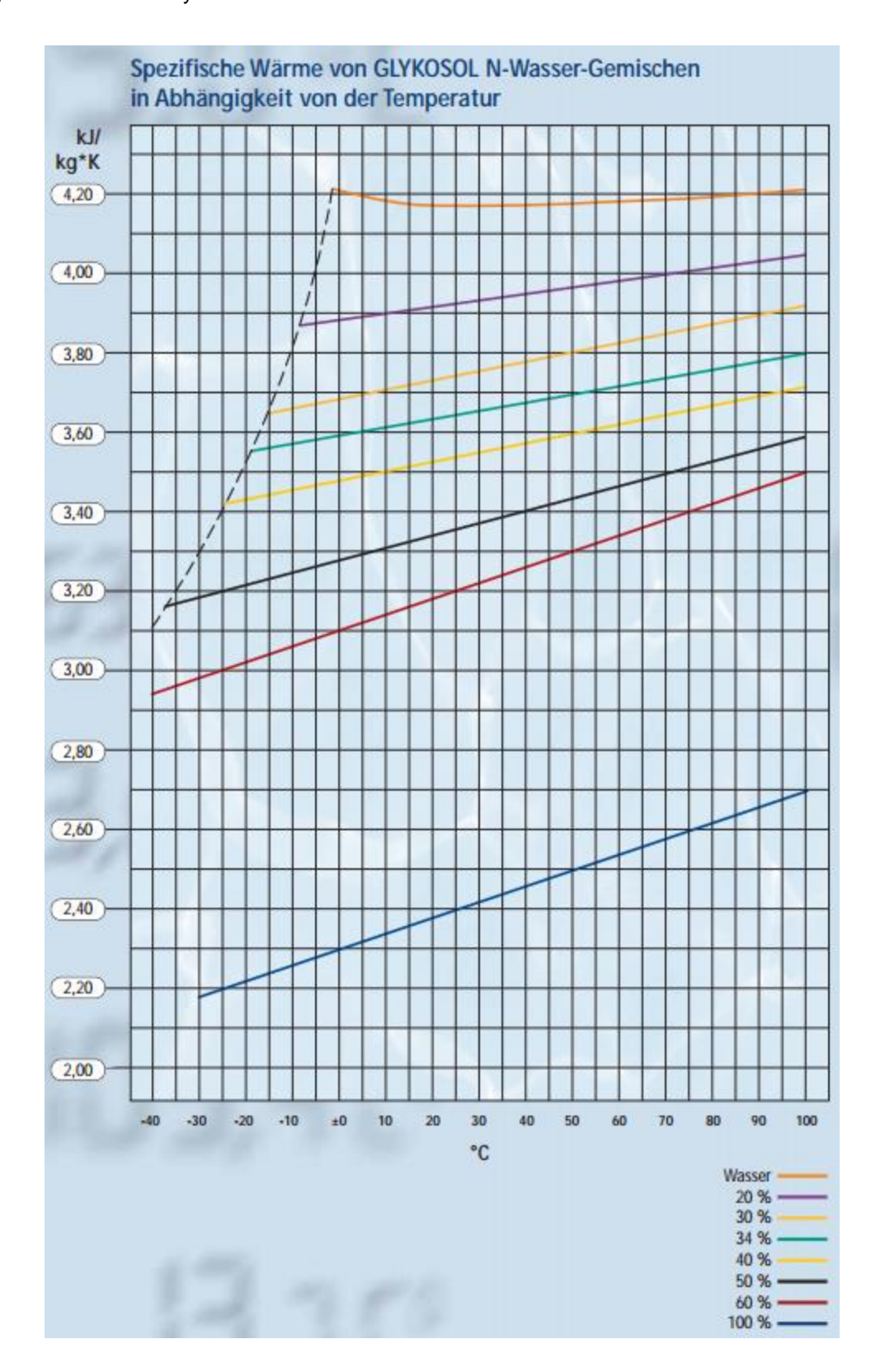


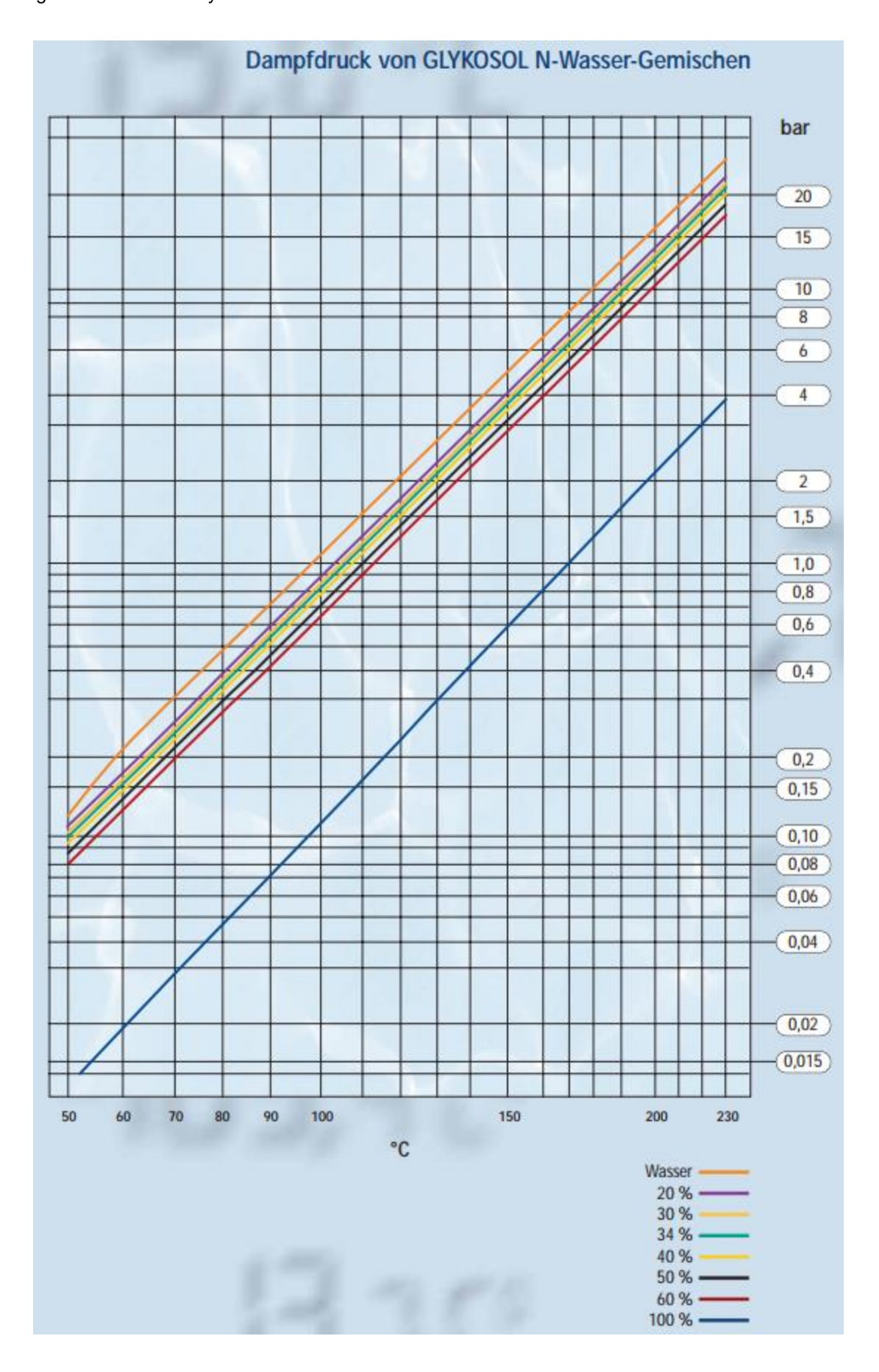
Anhang 1: Datenblätter Glykosol

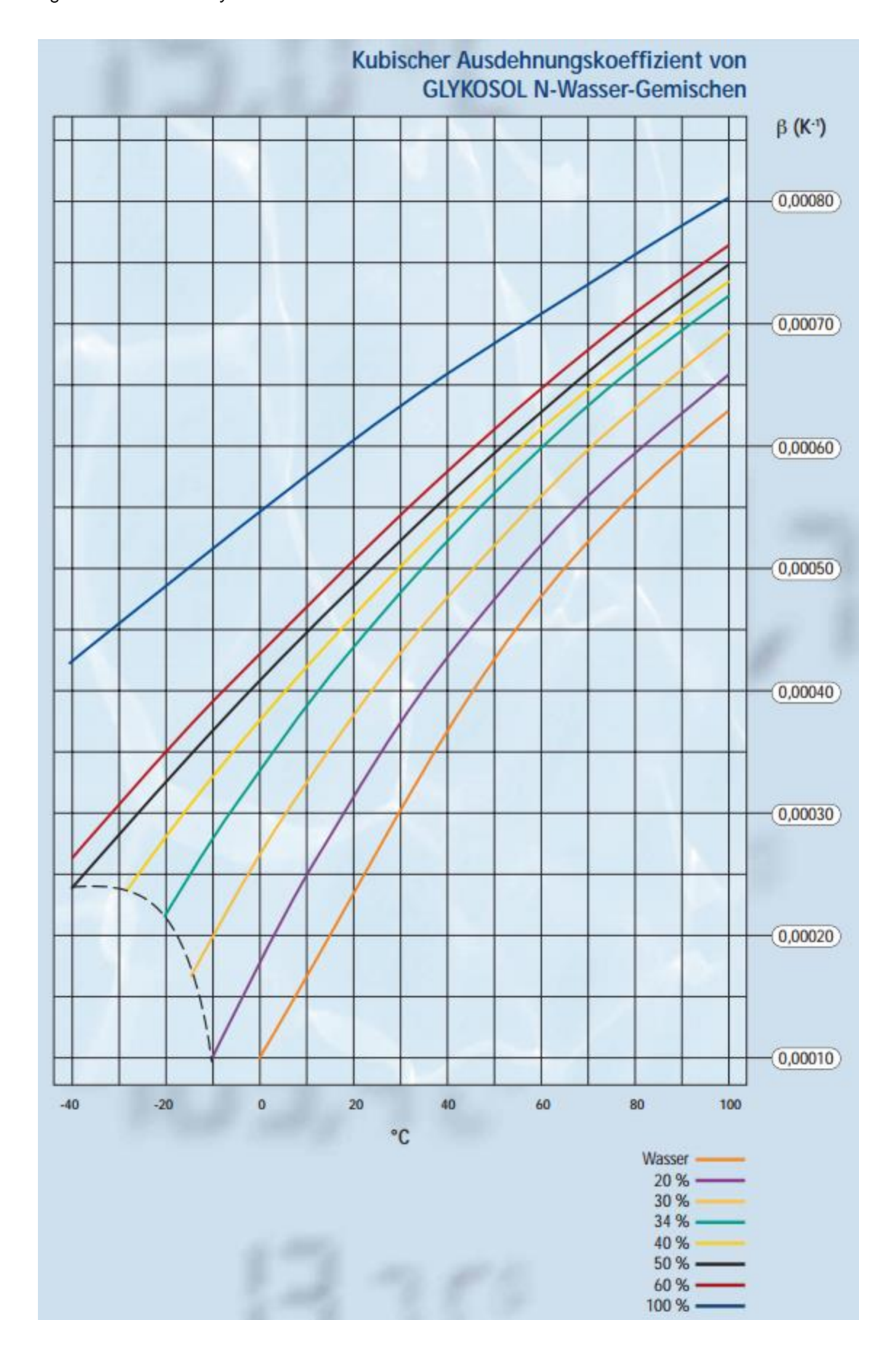




Anhang 1: Datenblätter Glykosol







## **ANHANG 2: SYSTEMKOPONENTEN**

F	Preis -	155,0	168,6	69	237	255,0	265	568	290,2	321,4	328,5	328,5	328,5	354,0	361,4	446,3	464,2	526,0
60	Bemerkung	_																
α	Lieferzeit E	2	2	-		32			25	25	38	35	35	35	38	35	42	35
G	Einstellung				außen	innen	außen						innen					
۵.	max Girin	110	£	£	ŧ	120 ji	₽		110	110		•	₽ i	,	180	•		·
0	Ę	32	32	32	8	10	8		30	30			8		95			
z	ma: C	140	140	140					140	140	150	150	140	150		150	110	150
Σ	Gewinde .	1112	11/2	11/2	11/2	1112	11/2	11/2	11/2	11/2	11/2	11/2	11/2	11/2	2	11/2	2	2
-	Länge mm	100	100	001	0\$	30	0\$	50	50	20	120	100	100	100	50	20	100	20
×	Einbautiefe mm	220	480	099	470	650	009				850	200	200	200	1200	009	280	009
- i	Pa iii	9	9	9	5	9	5				9	9	9	9		9	·	9
					₽	£	₽				110	₽	₽	ŧ		₽	110	#
<b>x</b> 8	Leistung max.  W/cm³ (0 v	10,4			9,6	6,2	1,7		5,6	5,6	5,03	60'9	60'9	60'9	3,3	8'9		S.
9	Leistung kW •	2,5	9	6	9	9	9	9	2'2	2'2	9	9	9	9	12	9	9	9
L	Kappe Mat.	Kunststoff	Kunststoff	Kunststoff	Kunststoff	Edelstahl	Kunststoff	Kunststoff	Kunststoff	Kunststoff	Edelstahl	Edelstahl	Edelstahl	Edelstahl	Kunststoff	Verzinkt	Kunststoff	Verzinkt
Ш	Rohrheizkörper Mat.		Alloy 825	Alloy 825	Edelstahl	Edelstahl	Edelstahl	Edelstahl	Edelstahl	Edelstahl	Edelstahl	Edelstahl	Edelstahl	Edelstahl	Edelstahl	Edelstahl	Edelstahl	Edelstahl
0	Verschraubung Rohrheizkörper Mat. • Mat. •		Edelstahl A	Edelstahl A	Edelstahl	Edelstahl	Edelstahl	Messing	Messing	Edelstahl E	Messing	Messing	Messing	Edelstahl	Messing	Edelstahl	Edelstahl	Edelstahl
o	qųT	1105688 E	1105712 E	1105713 E	HTK600470 E	■ AR 650 E	HTK600600	Sonder	1505699106480 P	1505699106479 E	Sonder	Sonder	Sonder	Sonder	Sonder	ERCB / 60,0	Sonder	ERCB/III/60,0
۵	Pig				/		_	3							3	T.	4	The same of the sa
<	Hersteller	Tiirk - Hillinger	Türk + Hillinger	Türk + Hillinger	Carlo Loysch	Lohmann	Carlo Loysch	Esska	Esska	Esska	Schwarz	Schwarz	Schwarz	Sohwarz	Esska	Lohmann	exar	Lohmann
7	- a e	*2	'n	ω			0	9	=	育	t t	<b>4</b>		9	<b>□</b>	φ.	φ.	80

	-	Þ	68	99	4	99	5	45	#	S	90	9
AD		Preis Euro	1489	1066	1124	1160	1242	2224	3334	1325	2006	3248
AC		Lieferzeit Tage →	14	35	35	35	35	95	99	•		
AB		Ausstattung	2 Grenzwertgeber Option IPC Regler	5,8 nur Stellungsregler	5,8 Mit Prozessregler PI	5,8 nur Stellungsregler	5,8 nur Stellungsregler	20 mit Boosterventilen	20 mit Boosterventilen	10 (Stellungsregler)	10 (Stellungsregler)	10,2 LCD und AutoT. / Industrieausführung
AA		Gewicht Kg	4,7	5,8			5,8	20	20	10	10	10,2
Z		Luftdurchs. I/min ▼		50	150	20	50		-	•		,
٨		Öffnungsz.	1,2	,	1	,		-	-	•	-	
×		Druckverlust bar •	0,08	90'0	90'0	90'0	90'0	60'0	60'0	80'0	80'0	80'0
*		Anschluss	Whitworth- Rohrgew.	180 Flansch	180 Flansch	180 Flansch	180 Flansch	250 Flansch	250 Flansch	220 Flansch	220 Flansch	300 Flansch
>	emperaturbereich	Max. °C ✓	200					250	250			
ם		Min.	-30	-10	-10	-10	-10	•	-	-10	-10	05-
_		Dichtsitz	PTFE	PTFE	PTFE	PTFE	PTFE	metall.	metall.	metall.	metall.	metall.
S		Material	50 Edelstahl	105 Grauguss	105 Grauguss	105 Grauguss	105 Grauguss	105 Grauguss	105 Edelstahl metall.	105 Grauguss	105 Edelstahl metall.	105 Edelstahl metall.
œ		ww h	50 Ed	105 Gr	105 Gr	105 Gr	105 Gr	105 Gr	105 Ed	105 Gr	105 Ed	105 Ed
Ö	Abmaße	H MM	62	112	112	112	112	70	70	80	80	80
۵		B mm	06	150	150	150	150	150	150	150	150	150
0		Rückmeldeopt.	Klemmen	ohne Rückmeld.	lstwertausgang M12	Istwertausgang	Istwertausgang M12	lstwertausgang M12	Istwertausgang M12	nicht möglich	nicht möglich	möglich
z		Kennlinie	inear	inear	inear	inear	inear	inear	inear	inear	inear	inear
Σ		Füllvol.	0,070 linear	0,125 linear	0,125 linear	0,125 linear	0,125 linear	0,420 linear	0,420 linear	0,180 linear	0,180 linear	0,180 linear
_	Antrieb	H MM	346	198	198	198	198	477	477	346	346	188
×	A	mm •	116	96	96	96	96	162	162	168	168	215
-		Hub mm	14		,			15	15	15	15	15
٥	m³/h	Typ →	7082	312	312	312	312	PV6271	PV6271	3323	3323	3244
	1,8	>	1		<b>9</b> -							1
8	Volumenstrom	•										
,		2 Hersteller 3 •	Schubert & Salzer	Gemü 5	Gemü 6	Gemü 7	Gemü 8	Bürkert 9	Bürkert 10	Samson 11	Samson 12	Samson 13

S		Preis	ŧ	1680,0	371,8	2400,34	98'599	326,9	297,3	236,4
8	Lieferant		Þ	5 Tuma Pumpensystem	1 Xylem Water Solutions	Signum	Signum	8 Signum	Signum	8 Signum
Ф	Lieferzeit	max.	Wochen	u)	1	_	_	3	_	
0	Temp.	max.	°C →	140	85	120	120	06	120	90
z	Ten	min.	°C 🔻		-10	-20	-20	-20	-20	-20
Σ		Drehzahl	1/min 🔻	2800	2850	2873	2873	2900	2900	2900
٦		Leistung	kW ←	1	0,55	0,37	0,37	0,46	0,46	0,46
×		Volumenstrom	m³/h ▼	1,8	2,5	1,8	1,8	3,1	1,7	3,1
ſ		Druck	Bar ▼	က	2,8	3,36	3,36	2,74	3,63	77.2
_	Anschluss	Druck	þ þ	3/4"	1 Rp 1	DN25	DN25	Rp 1	Rp 1	Rp 1
Ξ		Saug		3/4"	Rp11/4 Rp1	DN25	DN25	Rp 1	Rp 1	Rp 1
9		Gleitringdichtung	<b>&gt;</b>	Magnet	Kohle / Keramik	Magnet				
ч		O-Ring	Þ	Edelstahl Edelstahl Magnetkupplung	РРМ	Magnetkupplung	ЕРDМ	ЕРОМ	ЕРDМ	ЕРDМ
ш		Laufrad	Þ	Edelstahl	Edelstahl Edelstahl FPM	Edelstahl	Edelstahl	Edelstahl Edelstahl EPDM	Edelstahl Edelstahl EPDM	Edelstahl EPDM
Q		Gehäuse	•	Edelstahl	Edelstahl	Edelstahl	Edelstahl	Edelstahl	Edelstahl	Grauguß
U		Typ	•	CY-4281-MK	CEA 70/5/8-V	CRN 1-7 A-FGJ-G-E-HQQE Edelstahl Edelstahl Magnetkupplung Magnet	CRN 1-7 A-FGJ-G-E-HQQE Edelstahl Edelstahl EPDM	CM3-4A-R-1-E-AQQE	CM1-6 A-R-I-E-AQQE	CM3-4 A-R-A-E-AQQE
8		Bild	Þ							
A	-	2 Hersteller	3	Speck	Lowara 5	Grundfoss 6	Grundfoss 7	Grundfoss 8	Grundfoss 9	Grundfoss 10